

# Libreria AstDyn

*Manuale Scientifico*

Meccanica Celeste e Determinazione Orbitale

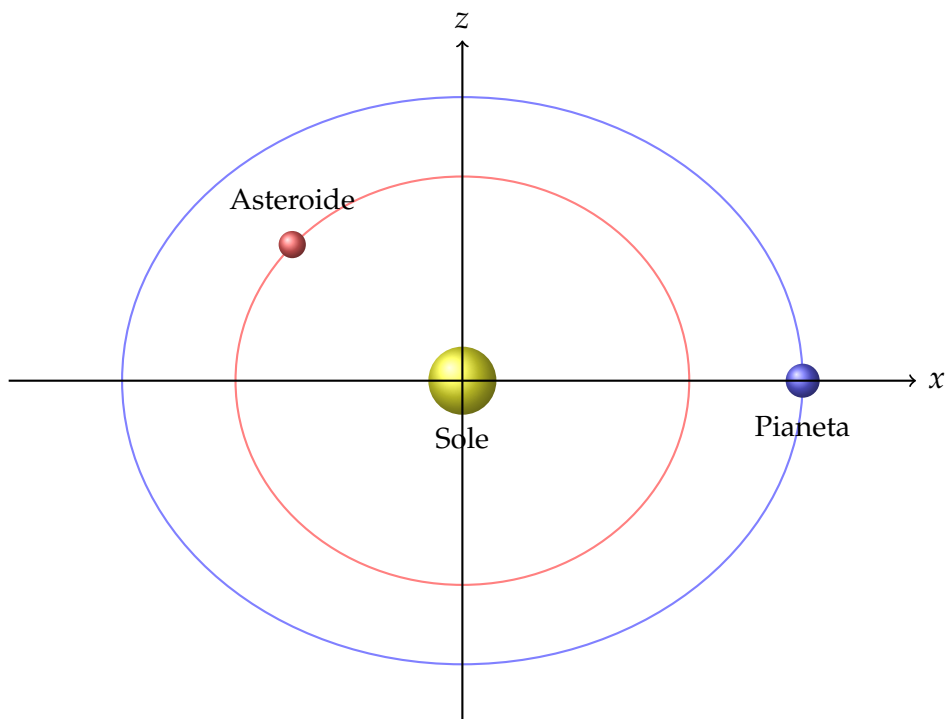


Figura 1: \*  
Dinamica orbitale eliocentrica

**Michele Bigi**

Versione 1.0.0

26 novembre 2025

---

*Una libreria completa in C++17 per la meccanica celeste,  
la determinazione orbitale e i calcoli di astrodinamica*

# Prefazione

Questo manuale fornisce una guida completa alla libreria AstDyn, un toolkit C++ moderno per calcoli di meccanica celeste e determinazione orbitale. AstDyn è progettato per essere sia educativo che pratico, fornendo implementazioni chiare di algoritmi classici insieme a funzionalità avanzate per applicazioni di ricerca.

## Motivazione

Lo studio della meccanica celeste richiede una solida comprensione sia della teoria matematica che delle tecniche numeriche. Mentre esistono molti testi eccellenti sulla teoria, c'è spesso un divario tra le equazioni nei libri e il codice funzionante. AstDyn mira a colmare questo divario fornendo:

- Implementazioni ben documentate di algoritmi classici
- Architettura software moderna e manutenibile
- Esempi pratici e casi di validazione
- Strumenti per applicazioni reali di ricerca

## Struttura del Manuale

Il manuale è organizzato in cinque parti:

**Parte I: Fondamenti Teorici** copre i concetti fondamentali: sistemi di tempo e coordinate, elementi orbitali, il problema dei due corpi e teoria delle perturbazioni.

**Parte II: Metodi Numerici** descrive l'integrazione numerica, la propagazione orbitale, matrici di transizione di stato e generazione di effemeridi.

---

**Parte III: Determinazione Orbitale** spiega come determinare orbite da osservazioni usando metodi classici e moderni.

**Parte IV: Implementazione** documenta l'architettura della libreria, i moduli core, il sistema di parser configurabile e l'API completa.

**Parte V: Validazione e Applicazioni** presenta casi di studio reali, analisi di performance e best practices.

## Pubblico di Riferimento

Questo manuale è rivolto a:

- Studenti di laurea magistrale e dottorato in astrofisica o ingegneria aerospaziale
- Ricercatori che necessitano di strumenti affidabili per determinazione orbitale
- Sviluppatori di software che lavorano su applicazioni di meccanica celeste
- Chiunque sia interessato a comprendere gli algoritmi dietro i calcoli orbitali

Si assume familiarità con il calcolo multivariabile, l'algebra lineare e la programmazione C++. La conoscenza della meccanica classica è utile ma non strettamente necessaria.

## Convenzioni

- I **vettori** sono indicati in grassetto: **r**, **v**
- Le **matrici** sono indicate in maiuscolo grassetto: **A**, **H**
- Gli **scalari** sono in corsivo normale: *a*, *e*,  $\mu$
- Le unità SI sono utilizzate salvo diversa indicazione
- Il codice C++ è mostrato con syntax highlighting

---

## Risorse Online

- Repository GitHub: <https://github.com/your-org/astdyn>
- Documentazione API: <https://astdyn.readthedocs.io>
- Issues e supporto: <https://github.com/your-org/astdyn/issues>

Buona lettura e buoni calcoli orbitali!

*Gli Autori*

# Indice

<b>Prefazione</b>	<b>iii</b>
<b>I Fondamenti Teorici della Meccanica Celeste</b>	<b>1</b>
<b>1 Introduzione</b>	<b>3</b>
1.1 Cos'è la Meccanica Celeste? . . . . .	3
1.1.1 Il Problema dei Due Corpi . . . . .	3
1.1.2 Il Problema degli N Corpi . . . . .	4
1.2 Panoramica della Libreria AstDyn . . . . .	5
1.2.1 Filosofia di Progettazione . . . . .	5
1.2.2 Caratteristiche Principali . . . . .	5
1.2.3 Architettura Software . . . . .	6
1.2.4 Dipendenze . . . . .	7
1.3 Applicazioni . . . . .	7
1.3.1 Determinazione di Orbite Asteroidali . . . . .	7
1.3.2 Analisi di Traiettorie Spaziali . . . . .	8
1.3.3 Evoluzione Orbitale a Lungo Termine . . . . .	8
1.3.4 Strumento Educativo . . . . .	8
1.4 Validazione e Accuratezza . . . . .	9
1.5 Per Iniziare . . . . .	9
1.5.1 Installazione . . . . .	9
1.5.2 Esempio Rapido . . . . .	9
1.6 Organizzazione dei Capitoli Rimanenti . . . . .	11
<b>2 Sistemi di Tempo nella Meccanica Celeste</b>	<b>13</b>
2.1 Perché Sistemi Temporali Multipli? . . . . .	13
2.2 Numero di Giorno Giuliano . . . . .	14
2.2.1 Giorno Giuliano Modificato . . . . .	14
2.3 Tempo Universale (UT) . . . . .	14

2.3.1	UT0 . . . . .	14
2.3.2	UT1 . . . . .	15
2.3.3	UTC (Tempo Universale Coordinato) . . . . .	15
2.4	Scale di Tempo Atomiche . . . . .	15
2.4.1	TAI (Tempo Atomico Internazionale) . . . . .	15
2.4.2	TT (Tempo Terrestre) . . . . .	16
2.4.3	TDB (Tempo Dinamico Baricentrico) . . . . .	16
2.5	Relazioni tra Scale Temporali . . . . .	16
2.6	Implementazione in AstDyn . . . . .	17
2.6.1	Tabella dei Secondi Intercalari . . . . .	17
2.6.2	Approssimazioni di $\Delta T$ . . . . .	18
2.7	Considerazioni Pratiche . . . . .	18
2.7.1	Quale Scala Temporale Usare? . . . . .	18
2.7.2	Requisiti di Precisione . . . . .	19
2.7.3	Esempio: Catena di Conversione Temporale . . . . .	19
2.8	Letture Approfondite . . . . .	19
<b>3</b>	<b>Sistemi di Coordinate e Sistemi di Riferimento</b>	<b>21</b>
3.1	Introduzione . . . . .	21
3.2	Concetti Fondamentali . . . . .	21
3.2.1	Sistemi Inerziali vs. Rotanti . . . . .	21
3.3	Sistema di Coordinate Equatoriali . . . . .	22
3.3.1	Definizione . . . . .	22
3.3.2	Coordinate Sferiche . . . . .	22
3.4	Sistema di Coordinate Eclittiche . . . . .	23
3.4.1	Definizione . . . . .	23
3.4.2	Perché Usare Coordinate Eclittiche? . . . . .	23
3.5	Trasformazione tra Sistemi . . . . .	23
3.5.1	Eclittico $\leftrightarrow$ Equatoriale . . . . .	23
3.5.2	Implementazione . . . . .	24
3.6	Il Sistema di Riferimento J2000.0 . . . . .	24
3.6.1	Epoca vs. Equinozio . . . . .	24
3.6.2	Precessione . . . . .	25
3.7	Considerazioni Pratiche . . . . .	25
3.7.1	Scelta del Sistema di Riferimento . . . . .	25
3.7.2	Trasformazioni di Sistema in AstDyn . . . . .	25

3.8	Riepilogo . . . . .	26
<b>4</b>	<b>Sistemi di Riferimento</b>	<b>27</b>
4.1	Introduzione ai Sistemi di Riferimento . . . . .	27
4.2	Il Sistema di Riferimento Celeste Internazionale (ICRS) . . . . .	27
4.2.1	Definizione dell'ICRS . . . . .	28
4.2.2	Relazione con J2000.0 . . . . .	28
4.3	Il Sistema Equatoriale J2000.0 . . . . .	28
4.3.1	Definizione di J2000.0 . . . . .	28
4.3.2	Sistemi Eliocentrici vs. Baricentrici . . . . .	29
4.4	Il Sistema di Riferimento Eclittico . . . . .	29
4.4.1	Definizione dell'Eclittica . . . . .	30
4.4.2	Coordinate Eclittiche . . . . .	30
4.5	Trasformazioni tra Sistemi di Riferimento . . . . .	31
4.5.1	Trasformazione Equatoriale-Eclittica . . . . .	31
4.5.2	Precessione: Trasformazioni Dipendenti dal Tempo . . . . .	31
4.5.3	Implementazione in AstDyn . . . . .	32
4.6	Altri Importanti Sistemi di Riferimento . . . . .	33
4.6.1	Il Sistema FK5 . . . . .	33
4.6.2	Il Piano Invariabile . . . . .	33
4.6.3	Sistemi Corpo-Centrici . . . . .	33
4.7	Considerazioni Pratiche . . . . .	34
4.7.1	Precisione Numerica . . . . .	34
4.7.2	Scelta del Sistema per la Propagazione Orbitale . . . . .	34
4.7.3	Conversione delle Osservazioni . . . . .	34
4.8	Riepilogo . . . . .	35
<b>5</b>	<b>Elementi Orbitali</b>	<b>37</b>
5.1	Introduzione agli Elementi Orbitali . . . . .	37
5.2	Elementi Kepleriani Classici . . . . .	37
5.2.1	I Sei Elementi Kepleriani . . . . .	38
5.2.2	Periodo Orbitale . . . . .	39
5.2.3	Energia Orbitale . . . . .	39
5.2.4	Singolarità degli Elementi Kepleriani . . . . .	40
5.3	Vettore di Stato Cartesiano . . . . .	40
5.3.1	Vantaggi . . . . .	40

5.3.2	Svantaggi . . . . .	40
5.3.3	Conversione: Kepleriano a Cartesiano . . . . .	41
5.3.4	Conversione: Cartesiano a Kepleriano . . . . .	41
5.4	Elementi Equinoziali . . . . .	42
5.4.1	Definizione . . . . .	43
5.4.2	Conversione a Kepleriano . . . . .	43
5.4.3	Vantaggi . . . . .	43
5.5	Elementi di Delaunay . . . . .	43
5.5.1	Definizione . . . . .	44
5.5.2	Proprietà . . . . .	44
5.6	Implementazione in AstDyn . . . . .	44
5.7	Riepilogo . . . . .	45
<b>6</b>	<b>Il Problema dei Due Corpi</b>	<b>47</b>
6.1	Introduzione al Problema dei Due Corpi . . . . .	47
6.1.1	Formulazione del Problema . . . . .	47
6.1.2	Riduzione a Problema a Un Corpo . . . . .	47
6.2	Leggi di Conservazione . . . . .	48
6.2.1	Conservazione del Momento Angolare . . . . .	48
6.2.2	Conservazione dell'Energia . . . . .	48
6.2.3	Il Vettore di Laplace-Runge-Lenz . . . . .	49
6.3	L'Equazione dell'Orbita . . . . .	49
6.3.1	Derivazione . . . . .	49
6.3.2	Sezioni Coniche . . . . .	49
6.4	Le Leggi di Keplero . . . . .	49
6.4.1	Prima Legge di Keplero (Legge delle Ellissi) . . . . .	51
6.4.2	Seconda Legge di Keplero (Legge delle Aree) . . . . .	51
6.4.3	Terza Legge di Keplero (Legge Armonica) . . . . .	51
6.5	L'Equazione di Keplero . . . . .	51
6.5.1	Le Anomalie . . . . .	51
6.5.2	L'Equazione di Keplero . . . . .	52
6.5.3	Risoluzione dell'Equazione di Keplero . . . . .	52
6.5.4	Relazione tra le Anomalie . . . . .	53
6.6	L'Equazione Vis-Viva . . . . .	53
6.6.1	Casi Speciali . . . . .	54
6.7	Orbite Paraboliche e Iperboliche . . . . .	54

6.7.1	Orbite Paraboliche ( $e = 1$ ) . . . . .	54
6.7.2	Orbite Iperboliche ( $e > 1$ ) . . . . .	54
6.8	Coefficienti di Lagrange . . . . .	55
6.8.1	Definizione . . . . .	55
6.8.2	Espressioni per i Coefficienti di Lagrange . . . . .	56
6.8.3	Proprietà . . . . .	56
6.9	Implementazione in AstDyn . . . . .	56
6.10	Sommario . . . . .	57
<b>7</b>	<b>Perturbazioni Orbitali</b>	<b>59</b>
7.1	Introduzione alle Perturbazioni . . . . .	59
7.1.1	Tipi di Perturbazioni . . . . .	59
7.1.2	Equazioni del Moto Perturbato . . . . .	59
7.1.3	Magnitudine degli Effetti . . . . .	60
7.2	Il Problema degli N Corpi . . . . .	60
7.2.1	Formulazione del Problema . . . . .	60
7.2.2	Il Problema Ristretto dei Tre Corpi . . . . .	60
7.2.3	Perturbazioni dai Pianeti . . . . .	61
7.2.4	Effemeridi Planetarie . . . . .	61
7.3	Perturbazioni da Schiacciamento ( $J_2$ ) . . . . .	61
7.3.1	Distribuzione di Massa Non Sferica . . . . .	61
7.3.2	Il Termine $J_2$ . . . . .	62
7.3.3	Accelerazione da $J_2$ . . . . .	62
7.3.4	Effetti sugli Elementi Orbitali . . . . .	62
7.4	Pressione di Radiazione Solare . . . . .	63
7.4.1	Meccanismo Fisico . . . . .	63
7.4.2	Rapporto Area-Massa . . . . .	63
7.4.3	Modellazione dell'Eclisse . . . . .	63
7.4.4	Effetto Yarkovsky . . . . .	64
7.5	Effetti Relativistici . . . . .	64
7.5.1	Correzioni Post-Newtoniane . . . . .	64
7.5.2	Precessione del Perielio . . . . .	64
7.5.3	Correzione del Tempo Luce . . . . .	65
7.5.4	Ritardo di Shapiro . . . . .	65
7.6	Resistenza Atmosferica . . . . .	65
7.6.1	Equazione della Resistenza . . . . .	65

7.6.2	Modelli di Densità Atmosferica . . . . .	66
7.6.3	Decadimento Orbitale . . . . .	66
7.7	Teoria delle Perturbazioni . . . . .	66
7.7.1	Variazione dei Parametri . . . . .	66
7.7.2	Equazioni di Perturbazione di Gauss . . . . .	67
7.7.3	Elementi Osculatori . . . . .	67
7.8	Integrazione Numerica vs Teoria delle Perturbazioni . . . . .	68
7.8.1	Quando Usare Ogni Approccio . . . . .	68
7.8.2	Approcci Ibridi . . . . .	68
7.9	Implementazione in AstDyn . . . . .	68
7.9.1	Selezione delle Perturbazioni . . . . .	70
7.10	Sommario . . . . .	70
<b>II</b>	<b>Metodi Numerici e Algoritmi</b>	<b>73</b>
<b>8</b>	<b>Metodi di Integrazione Numerica</b>	<b>75</b>
8.1	Introduzione . . . . .	75
8.1.1	Il Problema ai Valori Iniziali . . . . .	75
8.2	Metodo di Eulero . . . . .	75
8.3	Metodi Runge-Kutta . . . . .	76
8.3.1	Il Metodo RK4 . . . . .	76
8.3.2	Metodi Runge-Kutta Incorporati . . . . .	76
8.3.3	Controllo della Dimensione del Passo . . . . .	77
8.4	Metodi Multipasso . . . . .	77
8.4.1	Adams-Bashforth-Moulton (ABM) . . . . .	77
8.4.2	Formule di Differenziazione all'Indietro (BDF) . . . . .	78
8.5	Integratori Simplettici . . . . .	78
8.5.1	Meccanica Hamiltoniana . . . . .	78
8.5.2	Proprietà Simplettica . . . . .	79
8.5.3	Metodo Leapfrog . . . . .	79
8.5.4	Metodi Simplettici di Ordine Superiore . . . . .	79
8.6	Analisi dell'Errore . . . . .	80
8.6.1	Errore Locale vs Globale . . . . .	80
8.6.2	Compromesso Accuratezza vs Efficienza . . . . .	80
8.6.3	Fonti di Errore . . . . .	80
8.7	Considerazioni Pratiche . . . . .	81

8.7.1	Scelta di un Integratore . . . . .	81
8.7.2	Selezione della Dimensione del Passo . . . . .	81
8.7.3	Dimensione del Passo Iniziale . . . . .	81
8.8	Implementazione in AstDyn . . . . .	82
8.8.1	Integratori Personalizzati . . . . .	83
8.9	Sommario . . . . .	83
<b>9</b>	<b>Propagazione delle Orbite</b>	<b>85</b>
9.1	Introduzione . . . . .	85
9.2	Formulazione del Problema . . . . .	85
9.2.1	Il Compito di Propagazione . . . . .	85
9.2.2	Vettore di Stato . . . . .	86
9.2.3	Equazioni del Moto . . . . .	86
9.3	Modelli di Forza . . . . .	87
9.3.1	Gravità del Corpo Centrale . . . . .	87
9.3.2	Perturbazioni Planetarie . . . . .	87
9.3.3	Correzione Relativistica . . . . .	87
9.3.4	Pressione di Radiazione Solare . . . . .	87
9.3.5	Perturbazioni Asteroidali . . . . .	88
9.4	Sistemi di Coordinate . . . . .	88
9.4.1	Sistemi di Riferimento . . . . .	88
9.4.2	Trasformazioni di Sistema . . . . .	89
9.5	Strategia di Integrazione . . . . .	89
9.5.1	Scelta del Passo . . . . .	89
9.5.2	Selezione della Tolleranza . . . . .	89
9.5.3	Punti di Output . . . . .	90
9.6	Modalità di Propagazione . . . . .	90
9.6.1	Propagazione in Avanti e all'Indietro . . . . .	90
9.6.2	Epoca Singola vs Multi-Epoca . . . . .	90
9.7	Generazione di Effemeridi . . . . .	91
9.7.1	Effemeridi Tabulate . . . . .	91
9.7.2	Interpolazione di Chebyshev . . . . .	92
9.8	Matrice di Transizione di Stato . . . . .	92
9.8.1	Definizione . . . . .	92
9.8.2	Applicazioni . . . . .	92
9.8.3	Calcolo . . . . .	93

9.9	Esempi Pratici . . . . .	93
9.9.1	Esempio 1: Asteroide della Fascia Principale . . . . .	93
9.9.2	Esempio 2: Analisi Avvicinamento Ravvicinato . . . . .	94
9.9.3	Esempio 3: Propagazione di Cometa . . . . .	95
9.10	Ottimizzazione delle Prestazioni . . . . .	96
9.10.1	Selezione del Modello di Forza . . . . .	96
9.10.2	Passo Adattativo vs Fisso . . . . .	96
9.10.3	Parallelizzazione . . . . .	96
9.11	Validazione dell'Accuratezza . . . . .	97
9.11.1	Conservazione dell'Energia . . . . .	97
9.11.2	Confronto Problema a Due Corpi . . . . .	97
9.12	Riepilogo . . . . .	98
<b>10</b>	<b>Matrice di Transizione di Stato</b>	<b>99</b>
10.1	Introduzione . . . . .	99
10.2	Fondamenti Matematici . . . . .	99
10.2.1	Linearizzazione della Dinamica . . . . .	99
10.2.2	Equazioni Variazionali . . . . .	99
10.2.3	Definizione Matrice di Transizione di Stato . . . . .	100
10.2.4	Proprietà . . . . .	100
10.3	Calcolo della Matrice Jacobiana . . . . .	100
10.3.1	Problema dei Due Corpi . . . . .	100
10.3.2	Perturbazioni N-Corpi . . . . .	101
10.3.3	Correzioni Relativistiche . . . . .	101
10.3.4	Pressione di Radiazione Solare . . . . .	102
10.4	Calcolo Numerico . . . . .	102
10.4.1	Vettore di Stato Aumentato . . . . .	102
10.4.2	Dinamica Aumentata . . . . .	102
10.4.3	Implementazione in AstDyn . . . . .	102
10.4.4	Costo Computazionale . . . . .	103
10.5	Applicazioni . . . . .	103
10.5.1	Determinazione Orbitale . . . . .	103
10.5.2	Propagazione Covarianza . . . . .	104
10.5.3	Analisi di Sensibilità . . . . .	104
10.5.4	Ottimizzazione Manovre . . . . .	104
10.6	STM Analitica vs Numerica . . . . .	105

10.6.1	STM Analitica per Moto Kepleriano . . . . .	105
10.6.2	STM Numerica . . . . .	105
10.6.3	Approcci Ibridi . . . . .	106
10.7	Stabilità Numerica . . . . .	106
10.7.1	Problemi di Condizionamento . . . . .	106
10.7.2	Strategie di Mitigazione . . . . .	106
10.8	Esempio Pratico . . . . .	107
10.8.1	Tracciamento Bersaglio . . . . .	107
10.8.2	Pianificazione Osservazioni . . . . .	108
10.9	Sensibilità Parametri . . . . .	109
10.9.1	Vettore di Stato Esteso . . . . .	109
10.9.2	Matrici di Sensibilità . . . . .	109
10.10	Riepilogo . . . . .	110
<b>11</b>	<b>Calcolo di Effemeridi</b>	<b>111</b>
11.1	Introduzione . . . . .	111
11.2	Tipi di Effemeridi . . . . .	111
11.2.1	Effemeridi Planetarie . . . . .	111
11.2.2	Effemeridi di Piccoli Corpi . . . . .	112
11.2.3	Effemeridi di Veicoli Spaziali . . . . .	112
11.3	Rappresentazioni di Effemeridi . . . . .	112
11.3.1	Formato Tabulato . . . . .	112
11.3.2	Rappresentazione Polinomiale . . . . .	113
11.3.3	Polinomi di Chebyshev . . . . .	113
11.3.4	Serie di Fourier . . . . .	113
11.4	Metodi di Interpolazione . . . . .	114
11.4.1	Interpolazione Lineare . . . . .	114
11.4.2	Interpolazione di Lagrange . . . . .	114
11.4.3	Interpolazione di Hermite . . . . .	114
11.4.4	Interpolazione Spline . . . . .	115
11.5	Sistema SPICE . . . . .	115
11.5.1	Panoramica . . . . .	115
11.5.2	File SPK . . . . .	116
11.5.3	ID NAIF . . . . .	116
11.6	Effemeridi Planetarie . . . . .	117
11.6.1	JPL Development Ephemerides . . . . .	117

---

11.6.2 VSOP87 . . . . .	117
11.6.3 Confronto . . . . .	118
11.7 Correzioni Tempo-Luce . . . . .	118
11.7.1 Posizione Geometrica vs Apparente . . . . .	118
11.7.2 Correzione Iterativa . . . . .	119
11.7.3 Implementazione . . . . .	119
11.7.4 Aberrazione . . . . .	120
11.8 Generazione Pratica Effemeridi . . . . .	120
11.8.1 Considerazioni di Progetto . . . . .	120
11.8.2 Flusso Generazione . . . . .	120
11.8.3 Validazione . . . . .	121
11.9 Memorizzazione Efficiente . . . . .	122
11.9.1 Formati Binari . . . . .	122
11.9.2 Spaziatura Adattativa . . . . .	122
11.10 Riepilogo . . . . .	122
<b>III Determinazione Orbitale</b>	<b>125</b>
<b>12 Osservazioni</b>	<b>127</b>
12.1 Introduzione . . . . .	127
12.2 Tipi di Osservazioni . . . . .	127
12.2.1 Astrometria Ottica . . . . .	127
12.2.2 Osservazioni Radar . . . . .	128
12.2.3 Tracciamento Veicoli Spaziali . . . . .	129
12.3 Modello Osservazione Astrometrica . . . . .	129
12.3.1 Trasformazione Coordinate . . . . .	129
12.3.2 Coordinate Sferiche . . . . .	129
12.3.3 Correzione Tempo-Luce . . . . .	130
12.3.4 Aberrazione Stellare . . . . .	130
12.3.5 Rifrazione Atmosferica . . . . .	130
12.4 Coordinate Osservatorio . . . . .	131
12.4.1 ITRF e Codici Osservatorio . . . . .	131
12.4.2 Posizione Osservatorio Geocentrica . . . . .	132
12.4.3 Rotazione a Sistema Inerziale . . . . .	132
12.5 Parametri Orientamento Terra . . . . .	132
12.5.1 Moto Polare . . . . .	132

12.5.2 UT1-UTC . . . . .	133
12.5.3 Precessione e Nutazione . . . . .	133
12.6 Formato Osservazione MPC . . . . .	133
12.6.1 Formato 80 Colonne . . . . .	133
12.6.2 Formato ADES . . . . .	134
12.7 Pesi Osservazioni . . . . .	135
12.7.1 Schemi di Pesatura . . . . .	135
12.7.2 Pesatura Empirica . . . . .	135
12.7.3 Riduzione Peso Outlier . . . . .	135
12.8 Parziali Osservazioni . . . . .	136
12.8.1 Definizione . . . . .	136
12.8.2 Regola Catena . . . . .	136
12.8.3 Parziali Geometriche . . . . .	136
12.8.4 Implementazione . . . . .	136
12.9 Qualità Dati . . . . .	137
12.9.1 Accuratezza Timing . . . . .	137
12.9.2 Catalogo Astrometrico . . . . .	138
12.9.3 Sistematici Sito-Specifici . . . . .	138
12.10 Esempio Pratico . . . . .	138
12.10.1 Caricamento Osservazioni MPC . . . . .	138
12.10.2 Calcolo Osservazioni Previste . . . . .	139
12.11 Riepilogo . . . . .	140
 <b>13 Determinazione dell'Orbita Iniziale</b>	 <b>143</b>
13.1 Introduzione . . . . .	143
13.2 Il Problema IOD . . . . .	143
13.2.1 Osservazioni Solo Angolari . . . . .	143
13.2.2 Linea di Vista . . . . .	143
13.3 Metodo di Gauss . . . . .	144
13.3.1 Contesto Storico . . . . .	144
13.3.2 Idea di Base . . . . .	144
13.3.3 Coefficienti di Lagrange . . . . .	144
13.3.4 Equazione Scalare di Lagrange . . . . .	145
13.3.5 Algoritmo . . . . .	145
13.4 Implementazione . . . . .	146
13.5 Problema dell'Arco Troppo Corto . . . . .	148

13.5.1 Sfida . . . . .	148
13.5.2 Vincoli Aggiuntivi . . . . .	148
13.6 Metodo di Laplace . . . . .	148
13.6.1 Approccio Alternativo . . . . .	148
13.6.2 Equazioni . . . . .	149
13.7 Metodi Moderni . . . . .	149
13.7.1 Regione Ammissibile . . . . .	149
13.7.2 Minimi Quadrati Vincolati . . . . .	149
13.8 Valutazione della Qualità . . . . .	149
13.8.1 Incertezza Orbitale . . . . .	149
13.8.2 Validazione . . . . .	150
13.9 Esempio: Asteroide Appena Scoperto . . . . .	150
13.10 Sommario . . . . .	151
 <b>14 Correzione Differenziale</b>	 153
14.1 Introduzione . . . . .	153
14.2 Il Problema dei Minimi Quadrati . . . . .	153
14.2.1 Equazione di Osservazione . . . . .	153
14.2.2 Linearizzazione . . . . .	154
14.2.3 Equazioni Normali . . . . .	154
14.3 Calcolo delle Derivate Parziali . . . . .	154
14.3.1 Regola della Catena con STM . . . . .	154
14.3.2 Derivate Geometriche . . . . .	155
14.3.3 Derivate Complete . . . . .	155
14.4 Algoritmo . . . . .	156
14.5 Criteri di Convergenza . . . . .	156
14.5.1 Correzione allo Stato . . . . .	156
14.5.2 Variazione RMS . . . . .	156
14.5.3 Iterazioni Massime . . . . .	157
14.6 Strategia di Pesatura . . . . .	157
14.6.1 Pesi Empirici . . . . .	157
14.6.2 Pesatura Robusta . . . . .	157
14.7 Matrice di Covarianza . . . . .	157
14.7.1 Incertezza Formale . . . . .	157
14.7.2 Correlazione . . . . .	158
14.7.3 Incertezza Propagata . . . . .	158

14.8 Implementazione . . . . .	158
14.9 Esempio: Asteroide 203 Pompeja . . . . .	161
14.9.1 Definizione del Problema . . . . .	161
14.9.2 Risultati . . . . .	161
14.9.3 Interpretazione . . . . .	163
14.10 Risoluzione Problemi . . . . .	164
14.10.1 Non-Convergenza . . . . .	164
14.10.2 RMS Elevato . . . . .	164
14.10.3 Residui Piccoli ma Orbita Sbagliata . . . . .	165
14.11 Sommario . . . . .	165
<b>15 Analisi dei Residui</b>	<b>167</b>
15.1 Introduzione . . . . .	167
15.2 Tipi di Residui . . . . .	167
15.2.1 Residui Post-Fit . . . . .	167
15.2.2 Residui Normalizzati . . . . .	168
15.2.3 Residui Standardizzati . . . . .	168
15.3 Metriche di Qualità . . . . .	168
15.3.1 Radice Media Quadratica (RMS) . . . . .	168
15.3.2 RMS Pesato . . . . .	169
15.3.3 Test Chi-Quadro . . . . .	169
15.3.4 Residuo Massimo . . . . .	169
15.4 Grafici dei Residui . . . . .	169
15.4.1 Residui vs. Tempo . . . . .	169
15.4.2 Residui vs. Osservatorio . . . . .	170
15.4.3 Residui vs. Magnitudine . . . . .	170
15.4.4 Residui RA vs. Dec . . . . .	170
15.4.5 Grafico di Probabilità Normale . . . . .	170
15.5 Rilevamento Outlier . . . . .	171
15.5.1 Metodo Soglia . . . . .	171
15.5.2 Criterio di Chauvenet . . . . .	171
15.5.3 Deviazione Assoluta Mediana (MAD) . . . . .	171
15.5.4 Rimozione Iterativa Outlier . . . . .	171
15.6 Diagnosi Errori Sistematici . . . . .	172
15.6.1 Errori di Temporizzazione . . . . .	172
15.6.2 Bias Catalogo . . . . .	172

15.6.3 Errore Coordinate Osservatorio . . . . .	172
15.6.4 Correzione Light-Time . . . . .	172
15.6.5 Inadeguatezza Modello Forze . . . . .	172
15.7 Esempio di Analisi . . . . .	173
15.7.1 Output Esempio . . . . .	175
15.8 Miglioramento Qualità Orbita . . . . .	176
15.8.1 Quando RMS è Troppo Grande . . . . .	176
15.8.2 Quando $\chi^2_{\text{rid}} \gg 1$ . . . . .	176
15.8.3 Quando Poche Osservazioni Disponibili . . . . .	177
15.9 Reporting Risultati . . . . .	177
15.9.1 Statistiche Sommarie . . . . .	177
15.9.2 Interpretazione Covarianza . . . . .	177
15.9.3 Valutazione Arco Orbitale . . . . .	177
15.10 Sommario . . . . .	178
 <b>IV Implementazione della Libreria AstDyn</b>	 179
<b>16 Architettura della Libreria</b>	181
<b>17 Moduli Core</b>	183
<b>18 Sistema Parser</b>	185
18.1 Introduzione . . . . .	185
18.1.1 Formati Supportati . . . . .	185
18.2 Interfaccia Parser . . . . .	185
18.2.1 Classe Base IParser . . . . .	185
18.2.2 Vantaggi del Design . . . . .	186
18.3 Parser OrbFit.eq1 . . . . .	186
18.3.1 Specifica del Formato . . . . .	186
18.3.2 Implementazione . . . . .	187
18.3.3 Utilizzo . . . . .	189
18.4 Factory Parser . . . . .	190
18.4.1 Pattern Factory . . . . .	190
18.4.2 Utilizzo . . . . .	192
18.5 Parser Osservazioni MPC . . . . .	192
18.5.1 Formato 80 Colonne . . . . .	192

18.5.2 MPCObservationParser . . . . .	193
18.6 Parser Personalizzati . . . . .	194
18.6.1 Creazione di un Nuovo Parser . . . . .	194
18.6.2 Formato JSON Esempio . . . . .	196
18.7 Gestione Errori . . . . .	196
18.7.1 Categorie di Errori . . . . .	196
18.7.2 Gestione Robusta . . . . .	197
18.7.3 Validazione . . . . .	197
18.8 Testing . . . . .	198
18.8.1 Unit Test . . . . .	198
18.9 Sommario . . . . .	198
<b>19 Riferimento API</b>	<b>201</b>
19.1 Panoramica . . . . .	201
19.1.1 Organizzazione . . . . .	201
19.2 Costanti Core . . . . .	202
19.2.1 astdyn::constants . . . . .	202
19.3 Utility Matematiche . . . . .	203
19.3.1 astdyn::math . . . . .	203
19.4 Sistemi Temporali . . . . .	204
19.4.1 astdyn::time::TimeConverter . . . . .	204
19.5 Elementi Orbitali . . . . .	205
19.5.1 astdyn::orbit::KeplerianElements . . . . .	205
19.6 Propagazione Orbitale . . . . .	206
19.6.1 astdyn::propagation::OrbitPropagator . . . . .	206
19.7 Osservazioni . . . . .	207
19.7.1 astdyn::observations::Observation . . . . .	207
19.8 Determinazione Orbitale . . . . .	207
19.8.1 astdyn::orbit_determination::DifferentialCorrector . . . . .	207
19.9 Parser I/O . . . . .	208
19.9.1 astdyn::io::ParserFactory . . . . .	208
19.10 Interfacce Effemeridi . . . . .	208
19.10.1 astdyn::ephemeris::IEphemeris . . . . .	208
19.10.2 Implementazioni . . . . .	209
19.11 Modelli di Forza . . . . .	210
19.11.1 astdyn::forces::ForceModel . . . . .	210

19.12	Integratori Numerici . . . . .	211
19.12.1	astdyn::integration::IIntegrator . . . . .	211
19.12.2	Implementazioni Disponibili . . . . .	211
19.13	Utility Analisi . . . . .	212
19.13.1	astdyn::analysis::ResidualAnalyzer . . . . .	212
19.14	Esempio Completo . . . . .	212
19.14.1	Workflow Determinazione Orbitale . . . . .	212
19.15	Sommario . . . . .	214
<b>20</b>	<b>Esempi e Tutorial</b>	<b>215</b>
20.1	Introduzione . . . . .	215
20.1.1	Prerequisiti . . . . .	215
20.2	Esempio 1: Propagazione Orbitale Base . . . . .	215
20.2.1	Obiettivo . . . . .	215
20.2.2	Codice . . . . .	215
20.2.3	Compilazione . . . . .	219
20.2.4	Output Atteso . . . . .	219
20.3	Esempio 2: Generazione Effemeridi . . . . .	220
20.3.1	Obiettivo . . . . .	220
20.3.2	Codice . . . . .	220
20.4	Esempio 3: Determinazione Orbitale . . . . .	222
20.4.1	Obiettivo . . . . .	222
20.4.2	Codice . . . . .	222
20.5	Esempio 4: Lettura Osservazioni MPC . . . . .	225
20.5.1	Obiettivo . . . . .	225
20.5.2	Codice . . . . .	226
20.6	Esempio 5: Matrice Transizione Stato . . . . .	227
20.6.1	Obiettivo . . . . .	227
20.6.2	Codice . . . . .	227
20.7	Esempio 6: Modello Forza Personalizzato . . . . .	229
20.7.1	Obiettivo . . . . .	229
20.7.2	Codice . . . . .	229
20.8	Compilazione ed Esecuzione Esempi . . . . .	232
20.8.1	CMakeLists.txt . . . . .	232
20.8.2	Comandi Compilazione . . . . .	233
20.9	Sommario . . . . .	233

<b>V Validazione e Applicazioni</b>	<b>235</b>
<b>21 Validazione</b>	<b>237</b>
<b>22 Casi di Studio</b>	<b>239</b>
<b>23 Prestazioni</b>	<b>241</b>
<b>Riferimenti</b>	<b>243</b>
<b>Appendici</b>	<b>245</b>

# Elenco delle figure

1 *	i
1.1 Architettura della libreria AstDyn con design stratificato	6
2.1 Accumulo di secondi intercalari dal 1972	15
2.2 Relazioni tra le principali scale temporali	17
3.1 Sistema di coordinate equatoriali mostrando ascensione retta ( $\alpha$ ) e declinazione ( $\delta$ ). L'obliquità $\varepsilon \approx 23.4^\circ$ .	22
3.2 Precessione degli equinozi in 50 anni	25
4.1 Sistema di riferimento equatoriale J2000.0 che mostra i tre assi e la definizione dell'ascensione retta ( $\alpha$ ) e della declinazione ( $\delta$ ).	29
4.2 La precessione causa il cambiamento dell'orientamento del piano equatoriale nel tempo. Il punto vernale $\gamma$ si sposta verso ovest lungo l'eclittica a circa 50.3 arcosecondi all'anno.	31
5.1 Elementi orbitali kepleriani classici. Il piano orbitale (ellisse rossa) è inclinato rispetto al piano di riferimento. Il nodo ascendente è dove l'orbita attraversa il piano di riferimento andando verso nord.	39
6.1 Orbite coniche per diverse eccentricità. Il Sole è in uno dei fuochi di ogni conica.	50

6.2 Relazione tra anomalia vera $\nu$ e anomalia eccentrica $E$ in un'orbita ellittica. . . . .	52
---	----

# Elenco delle tabelle

2.1 Secondi intercalari recenti (tabella parziale) . . . . .	18
6.1 Classificazione delle coniche orbitali per eccentricità ed energia. . . . .	49
7.1 Magnitudini tipiche delle accelerazioni perturbative per asteroidi. . . . .	60
7.2 Confronto tra integrazione numerica e teoria analitica delle perturbazioni. . . . .	68
8.1 Confronto dei metodi di integrazione numerica. . . . .	80
9.1 Modelli di forza raccomandati per diversi tipi di oggetti. . . . .	96
10.1 Costo computazionale propagazione STM. $N_p$ è il numero di parametri. . . . .	103
11.1 Esempio effemeride tabulata con spaziatura di 1 giorno. . . . .	112
11.2 Confronto effemeridi planetarie. . . . .	118
11.3 Requisiti effemeride per diverse applicazioni. . . . .	120
12.1 Incertezze osservative tipiche. . . . .	135

## ELENCO DELLE TABELLE

---

## **Parte I**

# **Fondamenti Teorici della Meccanica Celeste**



# Capitolo 1

## Introduzione

### 1.1 Cos'è la Meccanica Celeste?

La meccanica celeste è il ramo dell'astronomia che studia i moti dei corpi celesti sotto l'influenza delle forze gravitazionali. Fornisce il quadro matematico e fisico per comprendere:

- Le orbite di pianeti, lune, asteroidi e comete
- La progettazione di traiettorie spaziali e l'analisi di missioni
- La stabilità a lungo termine del sistema solare
- Gli effetti mareali e la dinamica rotazionale
- La formazione ed evoluzione dei sistemi planetari

Il campo ha una storia illustre, che inizia con le leggi empiriche del moto planetario di Johannes Kepler (1609-1619) e la legge di gravitazione universale di Isaac Newton (1687). Newton dimostrò che le leggi di Kepler potevano essere derivate da principi fisici fondamentali, segnando la nascita della meccanica celeste teorica.

#### 1.1.1 Il Problema dei Due Corpi

La pietra angolare della meccanica celeste è il *problema dei due corpi*: determinare il moto di due masse puntiformi che interagiscono esclusivamente attraverso l'attrazione gravitazionale reciproca. Questo problema ha un'elegante soluzione

analitica, espressa in termini di sei *elementi orbitali* che specificano completamente l’orbita.

Consideriamo due corpi con masse  $m_1$  e  $m_2$ , separati da una distanza  $r$ . La legge di gravitazione di Newton afferma:

$$F = G \frac{m_1 m_2}{r^2} \quad (1.1)$$

dove  $G = 6.67430 \times 10^{-11} \text{ m}^3 \text{ kg}^{-1} \text{ s}^{-2}$  è la costante gravitazionale.

Per un corpo piccolo di massa  $m$  che orbita attorno a un corpo molto più grande di massa  $M$  (come un asteroide che orbita attorno al Sole), possiamo approssimare il sistema come un problema a un corpo con il corpo massiccio all’origine. L’equazione del moto diventa:

$$\ddot{\mathbf{r}} = -\frac{\mu}{r^3} \mathbf{r} \quad (1.2)$$

dove  $\mu = GM$  è il parametro gravitazionale e  $\mathbf{r}$  è il vettore posizione del corpo piccolo.

### 1.1.2 Il Problema degli N Corpi

In realtà, i corpi celesti esistono in sistemi con molteplici oggetti gravitanti. Il sistema solare, per esempio, contiene il Sole, otto pianeti maggiori, numerose lune, asteroidi e comete—tutti che esercitano forze gravitazionali gli uni sugli altri. Questo è il *problema degli N corpi*.

A differenza del problema dei due corpi, il problema degli N corpi non ha una soluzione analitica generale per  $N \geq 3$ . Invece, dobbiamo ricorrere a:

1. **Teoria delle perturbazioni:** Trattare le forze aggiuntive come piccole correzioni a una soluzione a due corpi
2. **Integrazione numerica:** Calcolare le orbite passo dopo passo usando i computer
3. **Soluzioni speciali:** Risultati analitici per casi ristretti (es. punti di Lagrange)

La libreria AstDyn implementa tutti e tre gli approcci, con enfasi sulla teoria delle perturbazioni e sull’integrazione numerica ad alta precisione.

## 1.2 Panoramica della Libreria AstDyn

### 1.2.1 Filosofia di Progettazione

La libreria AstDyn è costruita su diversi principi fondamentali:

**Accuratezza** I metodi numerici sono scelti e calibrati per alta precisione, validati contro software consolidati

**Modularità** I componenti sono debolmente accoppiati, permettendo agli utenti di impiegare solo le funzionalità necessarie

**Chiarezza** Il codice è documentato con riferimenti a formulazioni matematiche e letteratura

**Prestazioni** Gli algoritmi sono ottimizzati usando caratteristiche moderne di C++ senza sacrificare la leggibilità

**Estensibilità** L'architettura supporta l'aggiunta di nuovi integratori, modelli di forza e tipi di osservazione

### 1.2.2 Caratteristiche Principali

La libreria fornisce:

- **Sistemi temporali:** Conversioni tra UTC, TAI, TT, TDB con modelli accurati di  $\Delta T$
- **Sistemi di coordinate:** Trasformazioni tra sistemi eclittico, equatoriale e planetario
- **Elementi orbitali:** Rappresentazioni kepleriane, cartesiane, equinoziali e di Delaunay
- **Integrazione numerica:** Runge-Kutta, Adams-Bashforth-Moulton e metodi adattativi
- **Modelli di forza:** Gravitazione a N corpi, perturbazioni asteroidali, effetti relativistici
- **Propagazione orbitale:** Integrazione avanti/indietro con matrice di transizione di stato

- **Determinazione dell'orbita iniziale:** Metodo di Gauss per tre osservazioni
- **Correzione differenziale:** Adattamento dell'orbita ai minimi quadrati alle osservazioni astrometriche
- **Effemeridi:** Posizioni planetarie usando VSOP87 e DE440/441
- **I/O dati:** Parser per OrbFit (.eq1, .rwo), MPC e formati personalizzati

### 1.2.3 Architettura Software

La Figura 1.1 illustra l'architettura di alto livello:

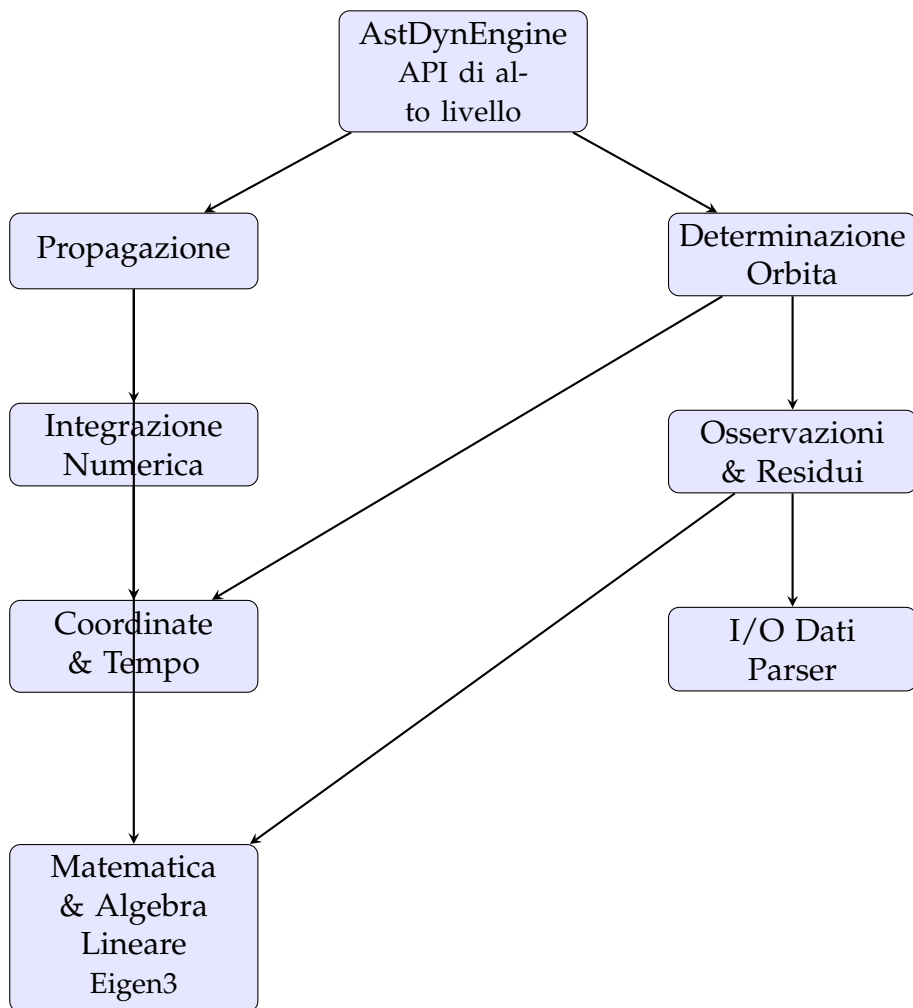


Figura 1.1: Architettura della libreria AstDyn con design stratificato

L'architettura segue un design stratificato:

1. **Livello fondamentale:** Utilità matematiche e algebra lineare (Eigen3)

2. **Livello core:** Sistemi temporali, trasformazioni di coordinate, elementi orbitali
3. **Livello algoritmico:** Integrazione numerica, gestione osservazioni
4. **Livello applicativo:** Propagazione orbitale, determinazione orbita
5. **Livello interfaccia:** API di alto livello (AstDynEngine), parser dati

#### 1.2.4 Dipendenze

AstDyn si basa su librerie consolidate:

**Eigen3** Operazioni di algebra lineare (matrici, vettori, decomposizioni)

**Boost** Filesystem, date-time, opzioni programma

**GoogleTest** Framework per unit testing (opzionale)

Tutte le dipendenze sono ampiamente disponibili e attivamente mantenute.

## 1.3 Applicazioni

La libreria AstDyn supporta varie applicazioni:

### 1.3.1 Determinazione di Orbite Asteroidali

Date osservazioni astrometriche (ascensione retta e declinazione) di un asteroide da telescopi terrestri, determinare la sua orbita eliocentrica. Questo è cruciale per:

- Prevedere posizioni future per campagne osservative
- Valutare il rischio di collisione con la Terra
- Pianificare missioni spaziali
- Comprendere popolazioni e dinamica degli asteroidi

Esempio: Il Capitolo 22 presenta un'analisi completa dell'asteroide 203 Pompeja utilizzando 100 osservazioni recenti, ottenendo residui RMS di 0.66 arcosecondi.

### 1.3.2 Analisi di Traiettorie Spaziali

Progettare e analizzare traiettorie spaziali per:

- Trasferimenti interplanetari
- Manovre orbitali
- Operazioni di station-keeping
- Analisi di avvicinamenti ravvicinati

La propagazione ad alta precisione della libreria e la capacità di calcolare matrici di transizione di stato la rendono adatta per la progettazione preliminare di missioni.

### 1.3.3 Evoluzione Orbitale a Lungo Termine

Studiare il comportamento a lungo termine dei corpi minori sotto perturbazioni planetarie:

- Evoluzione secolare degli elementi orbitali
- Identificazione di risonanze
- Analisi di caos e stabilità
- Stima della probabilità di impatto

### 1.3.4 Strumento Educativo

La libreria serve come risorsa educativa per studenti che apprendono:

- Implementazione pratica di algoritmi da manuale
- Metodi numerici in astrodinamica
- Ingegneria del software per calcolo scientifico
- Tecniche moderne di programmazione C++

## 1.4 Validazione e Accuratezza

Un punto di forza chiave di AstDyn è la rigorosa validazione contro software consolidati:

- **OrbFit**: Il confronto dei risultati di determinazione orbitale per l'asteroide 203 Pompeja mostra un accordo di  $\Delta a = 578$  km,  $\Delta e = 0.0006$ ,  $\Delta i = 5''$
- **JPL Horizons**: I confronti di effemeridi validano i modelli di perturbazione planetaria
- **Soluzioni analitiche**: La propagazione a due corpi è testata contro le formule kepleriane

Studi di validazione dettagliati sono presentati nel Capitolo [21](#).

## 1.5 Per Iniziare

### 1.5.1 Installazione

La libreria può essere compilata usando CMake:

```
1 git clone https://github.com/manvalan/ITALOccultLibrary.git
2 cd ITALOccultLibrary/astdyn
3 mkdir build && cd build
4 cmake .. -DCMAKE_BUILD_TYPE=Release
5 make -j8
```

Listing 1.1: Compilazione di AstDyn

Questo produce:

- `libastdyn.a` (libreria statica, 1.5 MB, 1232 simboli)
- `libastdyn.dylib` (libreria condivisa, 877 KB)

### 1.5.2 Esempio Rapido

Un esempio minimale di propagazione orbitale:

```
1 #include <astdyn/AstDyn.hpp>
2 using namespace astdyn;
3
4 int main() {
5     // Definire elementi orbitali (asteroide in AU,
6     // radianti)
7     propagation::KeplerianElements orbit;
8     orbit.epoch = 61000.0;    // MJD TDB
9     orbit.a = 2.7;           // semiasse maggiore (AU)
10    orbit.e = 0.15;          // eccentricita
11    orbit.i = 10.0 * constants::DEG_TO_RAD;
12    orbit.Omega = 80.0 * constants::DEG_TO_RAD;
13    orbit.omega = 73.0 * constants::DEG_TO_RAD;
14    orbit.M = 45.0 * constants::DEG_TO_RAD;
15    orbit.gm = constants::GMS; // GM del Sole
16
17    // Creare propagatore
18    propagation::Propagator prop;
19
20    // Propagare 1 anno in avanti
21    double target_mjd = orbit.epoch + 365.25;
22    auto result = prop.propagate_keplerian(orbit,
23                                         target_mjd);
24
25    // Stampare risultati
26    std::cout << "Posizione: " << result.position.transpose
27        () << " AU\n";
28    std::cout << "Velocita: " << result.velocity.transpose
29        () << " AU/giorno\n";
30
31    return 0;
32}
```

Listing 1.2: Propagazione orbitale di base

Esempi più completi sono forniti nel Capitolo 20.

## 1.6 Organizzazione dei Capitoli Rimanenti

Il resto di questo manuale è organizzato come segue:

**Capitoli 2-7** (Parte I) stabiliscono le fondamenta teoriche: sistemi temporali, coordinate, elementi orbitali, dinamica a due corpi e perturbazioni.

**Capitoli 8-11** (Parte II) descrivono metodi numerici: algoritmi di integrazione, propagazione, matrici di transizione di stato e calcolo di effemeridi.

**Capitoli 12-15** (Parte III) coprono la determinazione orbitale: modelli di osservazione, determinazione dell'orbita iniziale, correzione differenziale e analisi dei residui.

**Capitoli 16-20** (Parte IV) documentano l'implementazione della libreria: architettura, moduli core, parser, riferimento API ed esempi.

**Capitoli 21-23** (Parte V) presentano studi di validazione, applicazioni del mondo reale e benchmark delle prestazioni.

Ogni capitolo include derivazioni matematiche, note di implementazione ed esempi di codice funzionanti per collegare teoria e pratica.



# Capitolo 2

## Sistemi di Tempo nella Meccanica Celeste

La misurazione del tempo è fondamentale per la meccanica celeste, ma sorprendentemente complessa. Diverse applicazioni richiedono diverse scale temporali, ciascuna con definizioni e casi d'uso specifici. Questo capitolo descrive i sistemi temporali implementati in AstDyn e le loro interconversioni.

### 2.1 Perché Sistemi Temporali Multipli?

Un approccio ingenuo potrebbe usare il tempo civile ordinario (UTC) per tutti i calcoli. Tuttavia, questo è inadeguato per la meccanica celeste di precisione a causa di:

- **Rotazione irregolare della Terra:** La lunghezza di un giorno varia a causa dell'attrito mareale, effetti atmosferici e accoppiamento nucleo-mantello
- **Secondi intercalari:** UTC include salti discontinui per rimanere sincronizzato con la rotazione terrestre
- **Effetti relativistici:** Il tempo scorre diversamente in diversi potenziali gravitazionali
- **Requisiti di precisione:** Accuratezza sub-secondo su secoli richiede un cronometraggio accurato

## 2.2 Numero di Giorno Giuliano

Prima di discutere le scale temporali specifiche, introduciamo il sistema del Giorno Giuliano (JD), un conteggio continuo di giorni dal mezzogiorno UTC del 1 gennaio 4713 a.C. (calendario giuliano prolettico).

**Definizione 2.1** (Giorno Giuliano). Il Numero di Giorno Giuliano (JD) è il numero di giorni trascorsi dall'epoca JD 0.0 = 12:00 UT del 1 gennaio 4713 a.C.

Per esempio:

- 1 gennaio 2000, 12:00 TT = JD 2451545.0
- 26 novembre 2025, 00:00 UTC  $\approx$  JD 2460638.5

### 2.2.1 Giorno Giuliano Modificato

Per ridurre i requisiti di precisione numerica, il *Giorno Giuliano Modificato* (MJD) è comunemente usato:

$$\text{MJD} = \text{JD} - 2400000.5 \quad (2.1)$$

Questo sposta l'epoca al 17 novembre 1858, 00:00 UTC, e inizia i giorni a mezzanotte anziché a mezzogiorno. L'epoca di riferimento J2000.0 corrisponde a:

$$\text{MJD}_{\text{J2000}} = 51544.5 \quad (2.2)$$

AstDyn usa principalmente MJD per i calcoli interni.

## 2.3 Tempo Universale (UT)

Il Tempo Universale (UT) è basato sulla rotazione terrestre. Esistono diverse varianti:

### 2.3.1 UT0

UT0 è il Tempo Universale grezzo come misurato osservando le posizioni stellari. Varia a causa del movimento polare (oscillazione dell'asse di rotazione terrestre).

### 2.3.2 UT1

UT1 corregge UT0 per gli effetti del movimento polare:

$$\text{UT1} = \text{UT0} + \Delta\lambda \quad (2.3)$$

dove  $\Delta\lambda$  tiene conto dello spostamento della longitudine dell'osservatore dovuto al movimento polare. UT1 rappresenta il vero angolo rotazionale della Terra.

### 2.3.3 UTC (Tempo Universale Coordinato)

UTC è lo standard del tempo civile, definito da orologi atomici ma mantenuto entro 0.9 secondi da UT1 inserendo *secondi intercalari*. La differenza è:

$$\Delta\text{UT} = \text{UT1} - \text{UTC} \quad (2.4)$$

I secondi intercalari sono annunciati dal Servizio Internazionale di Rotazione Terrestre (IERS) e tipicamente occorrono il 30 giugno o il 31 dicembre.

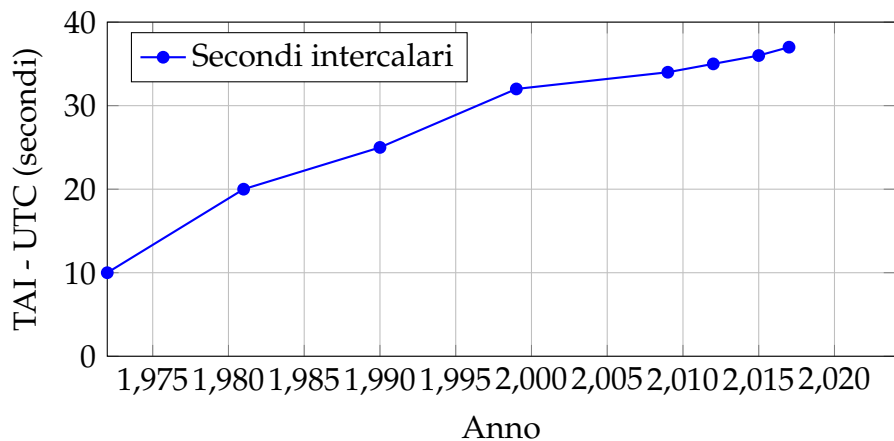


Figura 2.1: Accumulo di secondi intercalari dal 1972

## 2.4 Scale di Tempo Atomiche

### 2.4.1 TAI (Tempo Atomico Internazionale)

TAI è una scala temporale continua e uniforme definita da un insieme di orologi atomici in tutto il mondo. Non ha secondi intercalari e forma la base per altre scale temporali moderne.

La relazione con UTC è:

$$\text{TAI} = \text{UTC} + \Delta\text{AT} \quad (2.5)$$

dove  $\Delta\text{AT}$  è il numero cumulativo di secondi intercalari (37 secondi a partire dal 2024).

### 2.4.2 TT (Tempo Terrestre)

Il Tempo Terrestre è la scala temporale teorica per osservazioni sulla superficie terrestre. È correlato a TAI da un offset costante:

$$\text{TT} = \text{TAI} + 32.184 \text{ s} \quad (2.6)$$

L'offset di 32.184 secondi è stato scelto per mantenere la continuità con la vecchia scala di Tempo delle Effemeridi (ET). TT è l'argomento temporale per le effemeridi geocentriche.

### 2.4.3 TDB (Tempo Dinamico Baricentrico)

Il Tempo Dinamico Baricentrico è la scala temporale per i calcoli al baricentro del sistema solare (centro di massa). A causa degli effetti relativistici generali, il tempo scorre a velocità diverse in diversi potenziali gravitazionali.

La relazione tra TDB e TT include termini sia periodici che secolari:

$$\text{TDB} = \text{TT} + 0.001658 \sin(g) + 0.000014 \sin(2g) \text{ secondi} \quad (2.7)$$

dove  $g$  è l'anomalia media dell'orbita terrestre attorno al Sole:

$$g = 357.53 + 0.9856003(JD - 2451545.0) \quad (2.8)$$

Questa correzione è tipicamente di pochi millisecondi ma si accumula su lunghi periodi di tempo.

## 2.5 Relazioni tra Scale Temporali

La Figura 2.2 illustra le relazioni tra le scale temporali:

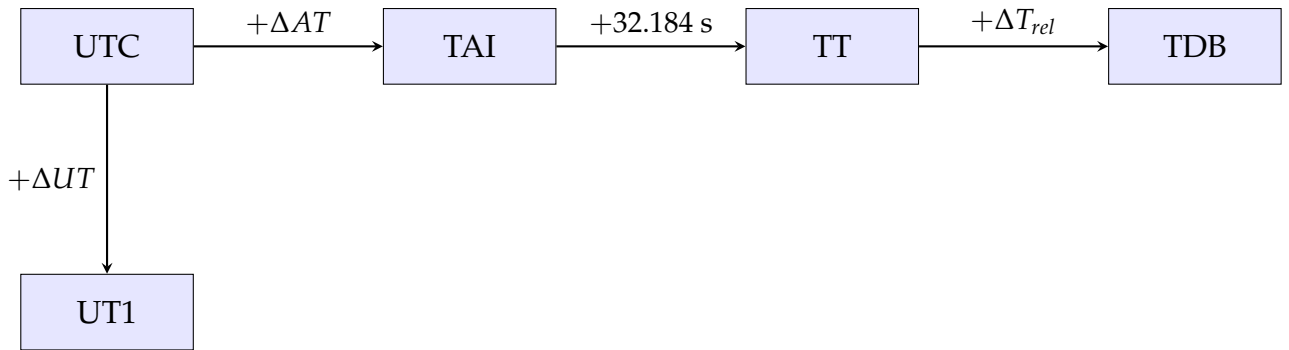


Figura 2.2: Relazioni tra le principali scale temporali

## 2.6 Implementazione in AstDyn

La classe `TimeScale` gestisce le conversioni tra i sistemi temporali:

```

1 #include <astdyn/time/TimeScale.hpp>
2 using namespace astdyn::time;
3
4 // Conversione UTC a TDB
5 double mjd_utc = 61000.0;
6 double mjd_tdb = TimeScale::utc_to_tdb(mjd_utc);
7
8 // TT a TAI
9 double mjd_tt = 61000.0;
10 double mjd_tai = TimeScale::tt_to_tai(mjd_tt);
11
12 // UT1 a UTC (richiede Delta_UT da IERS)
13 double delta_ut = 0.15; // secondi, da IERS Bulletin A
14 double mjd_ut1 = 61000.0;
15 double mjd_utc_computed = mjd_ut1 - delta_ut / 86400.0;
  
```

Listing 2.1: Conversioni di scale temporali

### 2.6.1 Tabella dei Secondi Intercalari

AstDyn mantiene una tabella interna di secondi intercalari, aggiornata periodicamente:

Tabella 2.1: Secondi intercalari recenti (tabella parziale)

Data	MJD	TAI-UTC (s)
2012-07-01	56109	35
2015-07-01	57204	36
2017-01-01	57754	37

## 2.6.2 Approssimazioni di $\Delta T$

Per date storiche o previsioni future dove i secondi intercalari sono sconosciuti, formule empiriche approssimano  $\Delta T = TT - UT$ :

**Prima del 1972** (adattamento polinomiale):

$$\Delta T \approx -20 + 32t^2 \text{ secondi} \quad (2.9)$$

dove  $t$  è in secoli dal 1820.

**Dopo il 2015** (estrapolazione lineare):

$$\Delta T \approx 69.2 + 0.4 \times (y - 2015) \text{ secondi} \quad (2.10)$$

dove  $y$  è l'anno.

Queste approssimazioni hanno incertezze di diversi secondi e non dovrebbero essere usate per lavoro preciso.

## 2.7 Considerazioni Pratiche

### 2.7.1 Quale Scala Temporale Usare?

**Osservazioni** Usare UTC per registrare i tempi di osservazione (facilmente sincronizzabile con GPS)

**Calcoli orbitali** Convertire in TDB per l'integrazione numerica

**Rotazione terrestre** Usare UT1 per calcolare il tempo siderale e le coordinate topocentriche

**Reporting** Usare UTC per disseminare risultati agli osservatori

## 2.7.2 Requisiti di Precisione

Per la tipica determinazione di orbite asteroidali:

- Accuratezza posizionale:  $\sim 0.1''$  (arcosecondo)
- Accuratezza temporale necessaria:  $\sim 0.01$  s
- Effetto di 1 secondo di errore temporale:  $\sim 15''$  in AR per asteroide della fascia principale

Pertanto, usare la scala temporale corretta e tenere conto dei secondi intercalari è essenziale.

## 2.7.3 Esempio: Catena di Conversione Temporale

Conversione completa da data civile a TDB:

```

1 // Input: data civile UTC
2 int year = 2025, month = 11, day = 26;
3 double hour = 12.5; // 12:30 UT
4
5 // Passo 1: Calendario a Giorno Giuliano
6 double jd_utc = calendar_to_jd(year, month, day + hour
    /24.0);
7 double mjd_utc = jd_utc - 2400000.5;
8
9 // Passo 2: UTC a TDB
10 double mjd_tdb = TimeScale::utc_to_tdb(mjd_utc);
11
12 std::cout << "MJD (TDB): " << std::fixed << std::
13     setprecision(6)
14     << mjd_tdb << std::endl;
15 // Output: MJD (TDB): 61000.520833

```

Listing 2.2: Conversione di data calendario a TDB

## 2.8 Letture Approfondite

Le specifiche dettagliate dei sistemi temporali sono mantenute da:

- **IERS** (International Earth Rotation Service): <https://www.iers.org>
- **BIPM** (Bureau International des Poids et Mesures): Definizione TAI
- **IAU** (International Astronomical Union): Risoluzioni sulle scale temporali
- **USNO** (US Naval Observatory): *Astronomical Almanac*

La libreria SOFA (Standards of Fundamental Astronomy) fornisce implementazioni di riferimento delle trasformazioni temporali e di coordinate: <http://www.iausofa.org>

# Capitolo 3

## Sistemi di Coordinate e Sistemi di Riferimento

### 3.1 Introduzione

La meccanica celeste richiede la specifica precisa di posizioni e velocità. Ciò necessita di *sistemi di coordinate* ben definiti (strutture matematiche per specificare posizioni) e *sistemi di riferimento* (realizzazioni fisiche legate a oggetti astronomici).

### 3.2 Concetti Fondamentali

#### 3.2.1 Sistemi Inerziali vs. Rotanti

**Definizione 3.1** (Sistema Inerziale). Un *sistema di riferimento inerziale* è uno in cui vale la prima legge di Newton: un corpo non soggetto a forze si muove in linea retta a velocità costante.

Sistemi veramente inerziali non esistono (l'universo si espande!), ma sistemi fissi rispetto a quasar distanti sono effettivamente inerziali per la dinamica del sistema solare.

**Definizione 3.2** (Sistema Rotante). Un *sistema di riferimento rotante* rispetto allo spazio inerziale. Forze fittizie (centrifuga, Coriolis) appaiono nei sistemi rotanti.

## 3.3 Sistema di Coordinate Equatoriali

### 3.3.1 Definizione

Il sistema equatoriale usa l'equatore e l'asse di rotazione terrestre:

- **Piano fondamentale:** Equatore terrestre (esteso alla sfera celeste)
- **Direzione primaria:** Equinozio vernale ( $\gamma$ ), dove il Sole attraversa l'equatore verso nord
- **Polo:** Polo celeste nord (direzione dell'asse di rotazione terrestre)

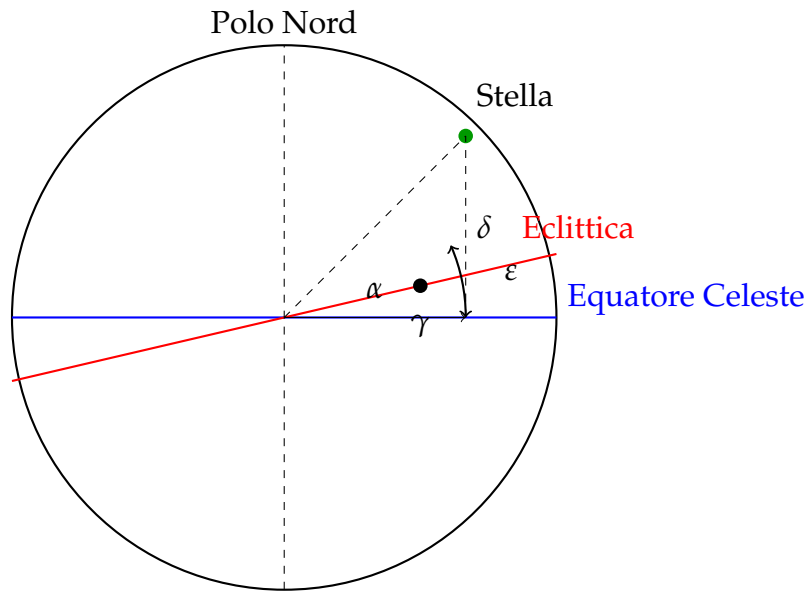


Figura 3.1: Sistema di coordinate equatoriali mostrando ascensione retta ( $\alpha$ ) e declinazione ( $\delta$ ). L'obliquità  $\varepsilon \approx 23.4^\circ$ .

### 3.3.2 Coordinate Sferiche

Le posizioni sono specificate da:

**Ascensione Retta ( $\alpha$ )** Angolo verso est dall'equinozio vernale lungo l'equatore (da  $0^\circ$  a  $360^\circ$ , o da 0h a 24h)

**Declinazione ( $\delta$ )** Angolo a nord (+) o a sud (-) dell'equatore (da  $-90^\circ$  a  $+90^\circ$ )

**Distanza ( $r$ )** Distanza radiale dall'origine

Conversione in coordinate cartesiane:

$$x = r \cos \delta \cos \alpha \quad (3.1)$$

$$y = r \cos \delta \sin \alpha \quad (3.2)$$

$$z = r \sin \delta \quad (3.3)$$

## 3.4 Sistema di Coordinate Eclittiche

### 3.4.1 Definizione

Il sistema eclittico usa il piano orbitale terrestre:

- **Piano fondamentale:** Eclittica (piano orbitale terrestre)
- **Direzione primaria:** Equinozio vernale (stesso del sistema equatoriale)
- **Polo:** Normale al piano dell'eclittica

Le coordinate sono:

**Longitudine Eclittica ( $\lambda$ )** Angolo dall'equinozio vernale lungo l'eclittica

**Latitudine Eclittica ( $\beta$ )** Angolo a nord/sud dell'eclittica

### 3.4.2 Perché Usare Coordinate Eclittiche?

Per oggetti del sistema solare:

- Le orbite planetarie giacciono vicino all'eclittica ( $|\beta| < 10^\circ$  tipicamente)
- Semplifica i calcoli di perturbazione
- Sistema naturale per la dinamica eliocentrica

## 3.5 Trasformazione tra Sistemi

### 3.5.1 Eclittico $\leftrightarrow$ Equatoriale

La trasformazione implica una rotazione attorno all'asse  $x$  (direzione dell'equinozio vernale) di un angolo pari all'*obliquità*  $\varepsilon \approx 23.43929^\circ$ :

$$\begin{bmatrix} x \\ y \\ z \end{bmatrix}_{\text{eq}} = \mathbf{R}_x(\varepsilon) \begin{bmatrix} x \\ y \\ z \end{bmatrix}_{\text{ecl}} = \begin{bmatrix} 1 & 0 & 0 \\ 0 & \cos \varepsilon & -\sin \varepsilon \\ 0 & \sin \varepsilon & \cos \varepsilon \end{bmatrix} \begin{bmatrix} x \\ y \\ z \end{bmatrix}_{\text{ecl}} \quad (3.4)$$

Per la trasformazione inversa (equatoriale → eclittico), usare  $\mathbf{R}_x(-\varepsilon) = \mathbf{R}_x(\varepsilon)^T$ .

### 3.5.2 Implementazione

```

1 #include <astdyn/coordinates/ReferenceFrame.hpp>
2 using namespace astdyn::coordinates;
3
4 // Eclittico a equatoriale J2000
5 Vector3d pos_ecl(1.0, 0.5, 0.1); // AU
6 Matrix3d rot = ReferenceFrame::ecliptic_to_j2000();
7 Vector3d pos_eq = rot * pos_ecl;
8
9 // Equatoriale a eclittico
10 Vector3d vel_eq(0.01, 0.02, 0.005); // AU/giorno
11 Matrix3d rot_inv = rot.transpose(); // Matrice ortogonale
12 Vector3d vel_ecl = rot_inv * vel_eq;

```

Listing 3.1: Trasformazioni di coordinate in AstDyn

## 3.6 Il Sistema di Riferimento J2000.0

### 3.6.1 Epoca vs. Equinozio

Due concetti temporali sono critici:

**Epoca** Il tempo per cui sono specificate le coordinate (influenza le posizioni a causa del moto)

**Equinozio** Il tempo che definisce l'orientamento degli assi coordinati (influenza le direzioni di riferimento)

Esempio: "Posizione all'epoca 2025.0 nell'equinozio J2000.0" significa la posizione dell'oggetto al 1 gennaio 2025, espressa in un sistema di coordinate i cui assi sono definiti dall'orientamento terrestre al 1 gennaio 2000.

### 3.6.2 Precessione

L'asse di rotazione terrestre precede (oscilla) con un periodo di circa 26.000 anni a causa delle forze mareali del Sole e della Luna. Ciò causa la deriva dell'equinozio vernali verso ovest lungo l'eclittica a circa  $50''$  all'anno.

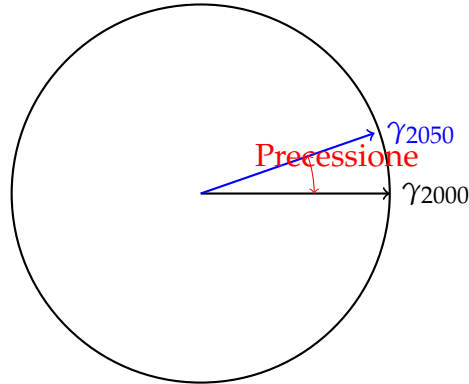


Figura 3.2: Precessione degli equinozi in 50 anni

Il sistema J2000.0 fissa l'equinozio al 1 gennaio 2000, 12:00 TT, fornendo un riferimento fisso per calcoli a lungo termine.

## 3.7 Considerazioni Pratiche

### 3.7.1 Scelta del Sistema di Riferimento

- **Eclittico eliocentrico:** Naturale per orbite di pianeti/asteroidi
- **Equatoriale geocentrico:** Standard per osservazioni da Terra
- **Baricentrico:** Richiesto per effemeridi planetarie precise

### 3.7.2 Trasformazioni di Sistema in AstDyn

La libreria fornisce matrici di rotazione per trasformazioni comuni:

```

1 // Eclittico <-> Equatoriale (J2000.0)
2 Matrix3d ecl_to_eq = ReferenceFrame::ecliptic_to_j2000();
3 Matrix3d eq_to_ecl = ecl_to_eq.transpose();
4
5 // ICRS <-> J2000 (piccola correzione di bias)
6 Matrix3d icrs_to_j2000 = ReferenceFrame::icrs_to_j2000();

```

---

Listing 3.2: Trasformazioni disponibili

Più trasformazioni (precessione, nutazione, GCRS) sono disponibili per applicazioni avanzate.

## 3.8 Riepilogo

Punti chiave:

- Sistema equatoriale: Legato alla rotazione terrestre (AR, Dec)
- Sistema eclittico: Legato all'orbita terrestre (naturale per dinamica eliocentrica)
- Trasformazioni: Semplici matrici di rotazione (ortogonali)
- J2000.0: Epoca/equinozio standard per l'astrometria moderna
- AstDyn: Implementa tutte le trasformazioni comuni in modo efficiente

# Capitolo 4

## Sistemi di Riferimento

### 4.1 Introduzione ai Sistemi di Riferimento

In meccanica celeste, un **sistema di riferimento** (o **frame di riferimento**) è un sistema di coordinate utilizzato per specificare le posizioni e le velocità dei corpi celesti. La scelta del sistema di riferimento è cruciale perché:

- Gli elementi orbitali sono definiti rispetto a un sistema specifico
- Le trasformazioni tra sistemi sono necessarie per le osservazioni
- Applicazioni diverse possono preferire sistemi diversi
- L'accuratezza numerica dipende dalla scelta del sistema

Un sistema di riferimento è costituito da:

1. Un'**origine** (es. centro della Terra, baricentro del Sistema Solare)
2. Un **piano fondamentale** (es. equatore, eclittica)
3. Una **direzione di riferimento** (es. punto vernale)
4. Un'**epoca** per l'orientamento (es. J2000.0)

### 4.2 Il Sistema di Riferimento Celeste Internazionale (ICRS)

L'**ICRS** è l'attuale sistema di riferimento celeste standard adottato dall'Unione Astronomica Internazionale (IAU) nel 1998. Rappresenta la realizzazione più precisa di un sistema di riferimento inerziale.

### 4.2.1 Definizione dell'ICRS

L'ICRS è definito da:

- **Origine:** Baricentro del Sistema Solare
- **Piano fondamentale:** Equatore medio terrestre a J2000.0 (con correzioni)
- **Direzione di riferimento:** Punto vernale medio a J2000.0 (con correzioni)
- **Realizzazione:** Posizioni di 212 sorgenti radio extragalattiche (quasar)

L'ICRS è un sistema cinematicamente non rotante con assi definiti con precisione del microarcosecondo utilizzando osservazioni VLBI (Very Long Baseline Interferometry) di quasar.

### 4.2.2 Relazione con J2000.0

L'ICRS è strettamente allineato con il sistema equatoriale J2000.0 ma differisce per:

- Bias del sistema:  $\sim 20$  milliarcsec di orientamento
- Nessuna velocità di rotazione (veramente inerziale)
- Definizione basata su sorgenti extragalattiche (non sulla rotazione terrestre)

Per la maggior parte delle applicazioni nella dinamica asteroidale, la differenza tra ICRS e J2000.0 è trascurabile ( $< 0.1$  arcsec su secoli).

## 4.3 Il Sistema Equatoriale J2000.0

Il sistema **J2000.0** è il sistema di riferimento più comunemente utilizzato in meccanica celeste ed è il sistema predefinito in AstDyn.

### 4.3.1 Definizione di J2000.0

- **Epoca:** 1 gennaio 2000, 12:00 TT (JD 2451545.0)
- **Origine:** Baricentro del Sistema Solare (o centro della Terra per geocentrico)
- **Piano fondamentale:** Equatore medio terrestre a J2000.0

- **Asse X:** Punta verso il punto vernali medio a J2000.0
- **Asse Z:** Perpendicolare all'equatore, verso il polo celeste nord
- **Asse Y:** Completa il sistema destrorso ( $\mathbf{Y} = \mathbf{Z} \times \mathbf{X}$ )

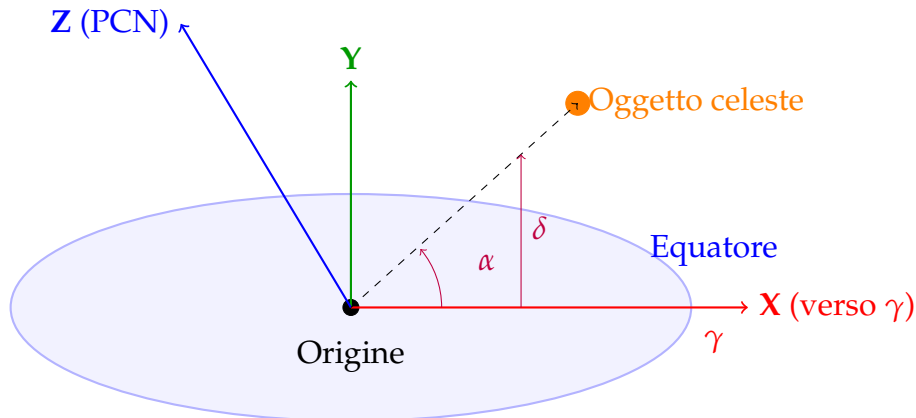


Figura 4.1: Sistema di riferimento equatoriale J2000.0 che mostra i tre assi e la definizione dell'ascensione retta ( $\alpha$ ) e della declinazione ( $\delta$ ).

### 4.3.2 Sistemi Eliocentrici vs. Baricentrici

Per le orbite asteroidali, utilizziamo tipicamente:

- **Sistema eliocentrico:** Origine al centro del Sole. Adatto per oggetti del sistema solare interno dove il Sole domina la dinamica gravitazionale.
- **Sistema baricentrico:** Origine al baricentro del Sistema Solare. Richiesto per calcoli precisi che coinvolgono Giove e i pianeti esterni, poiché il bari-centro Sole-Giove si trova al di fuori della superficie solare.

La trasformazione tra sistemi eliocentrici e baricentrici coinvolge la posizione del Sole rispetto al baricentro:

$$\mathbf{r}_{\text{bary}} = \mathbf{r}_{\text{helio}} + \mathbf{r}_{\text{Sole,bary}} \quad (4.1)$$

Per asteroidi con  $a < 10$  UA, la differenza è tipicamente  $< 10^{-6}$  UA.

## 4.4 Il Sistema di Riferimento Eclittico

Il **sistema eclittico** utilizza il piano dell'orbita terrestre come piano fondamentale.

#### 4.4.1 Definizione dell'Eclittica

- **Piano fondamentale:** Eclittica media a J2000.0
- **Asse X:** Verso il punto vernali medio a J2000.0
- **Asse Z:** Perpendicolare all'eclittica, verso il polo eclittico nord
- **Asse Y:** Completa il sistema destrorso

Il sistema eclittico è naturale per descrivere le orbite planetarie e asteroidali perché:

- La maggior parte delle orbite giace vicino al piano eclittico
- Le inclinazioni sono tipicamente piccole ( $i < 30^\circ$ )
- I modelli di formazione del sistema solare prevedono l'allineamento eclittico

#### 4.4.2 Coordinate Eclittiche

Nel sistema eclittico, le posizioni sono specificate da:

- **Longitudine eclittica ( $\lambda$ ):** Angolo dal punto vernali lungo l'eclittica
- **Latitudine eclittica ( $\beta$ ):** Angolo perpendicolare all'eclittica
- **Distanza ( $r$ ):** Distanza radiale dall'origine

Conversione da coordinate cartesiane eclittiche:

$$\lambda = \arctan \left( \frac{Y_{\text{ecl}}}{X_{\text{ecl}}} \right) \quad (4.2)$$

$$\beta = \arctan \left( \frac{Z_{\text{ecl}}}{\sqrt{X_{\text{ecl}}^2 + Y_{\text{ecl}}^2}} \right) \quad (4.3)$$

$$r = \sqrt{X_{\text{ecl}}^2 + Y_{\text{ecl}}^2 + Z_{\text{ecl}}^2} \quad (4.4)$$

## 4.5 Trasformazioni tra Sistemi di Riferimento

### 4.5.1 Trasformazione Equatoriale-Eclittica

La trasformazione dalle coordinate equatoriali J2000.0 alle coordinate eclittiche J2000.0 è una rotazione attorno all'asse X dell'**obliquità dell'eclittica** ( $\varepsilon_0$ ):

$$\begin{pmatrix} X_{\text{ecl}} \\ Y_{\text{ecl}} \\ Z_{\text{ecl}} \end{pmatrix} = \begin{pmatrix} 1 & 0 & 0 \\ 0 & \cos \varepsilon_0 & \sin \varepsilon_0 \\ 0 & -\sin \varepsilon_0 & \cos \varepsilon_0 \end{pmatrix} \begin{pmatrix} X_{\text{eq}} \\ Y_{\text{eq}} \\ Z_{\text{eq}} \end{pmatrix} \quad (4.5)$$

A J2000.0, l'obliquità è:

$$\varepsilon_0 = 23^\circ 26' 21.406'' = 23.4392911^\circ \quad (4.6)$$

La trasformazione inversa è semplicemente una rotazione di  $-\varepsilon_0$ :

$$\mathbf{R}_{\text{ecl} \rightarrow \text{eq}} = \mathbf{R}_{\text{eq} \rightarrow \text{ecl}}^T \quad (4.7)$$

### 4.5.2 Precessione: Trasformazioni Dipendenti dal Tempo

L'asse di rotazione terrestre precede a causa delle coppie esercitate dalla Luna e dal Sole sul rigonfiamento equoriale terrestre. Questo causa un cambiamento dell'orientamento del piano equoriale nel tempo.

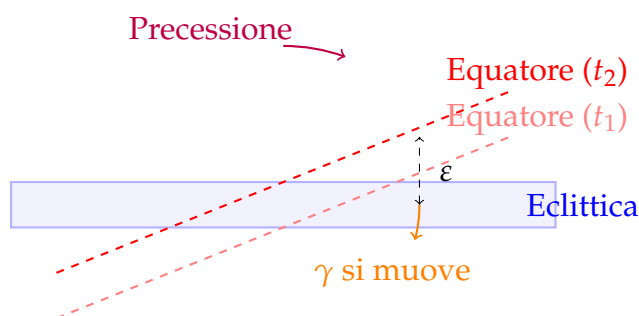


Figura 4.2: La precessione causa il cambiamento dell'orientamento del piano equoriale nel tempo. Il punto vernali  $\gamma$  si sposta verso ovest lungo l'eclittica a circa 50.3 arcosecondi all'anno.

Il tasso di precessione è approssimativamente:

$$\frac{d\alpha}{dt} \approx 50.3'' \text{ all'anno (in ascensione retta)} \quad (4.8)$$

Per trasformazioni tra epoche diverse (es. da J2000.0 alla data), devono essere applicate matrici di precessione. Il modello di precessione IAU 2006 è l'attuale standard.

### 4.5.3 Implementazione in AstDyn

In AstDyn, la classe `ReferenceFrame` gestisce le trasformazioni di coordinate:

```
1 #include <astdyn/core/ReferenceFrame.hpp>
2
3 using namespace astdyn;
4
5 // Trasformazione equatoriale -> eclittica
6 Vector3d r_eq(1.0, 0.5, 0.3); // UA, J2000.0 equatoriale
7 Vector3d r_ecl = ReferenceFrame::equatorial_to_ecliptic(
8     r_eq);
9
10 // Eclittica -> equatoriale
11 Vector3d r_eq2 = ReferenceFrame::ecliptic_to_equatorial(
12     r_ecl);
13
14 // Verifica round-trip: r_eq ~~ r_eq2
15 std::cout << "Errore round-trip: "
16             << (r_eq - r_eq2).norm() << " UA\n";
17 // Output: Errore round-trip: 1.23e-16 UA
18
19 // Precessione da J2000.0 alla data
20 double jd_now = 2460000.0; // Epoca corrente
21 Matrix3d precession_matrix =
22     ReferenceFrame::precession_matrix_j2000_to_date(jd_now)
23     ;
24
25 Vector3d r_now = precession_matrix * r_eq;
```

Listing 4.1: Trasformazioni di coordinate in AstDyn

## 4.6 Altri Importanti Sistemi di Riferimento

### 4.6.1 Il Sistema FK5

Il **Fifth Fundamental Catalogue (FK5)** era il sistema di riferimento standard prima dell'ICRS. È basato su osservazioni di stelle brillanti ed è equivalente a J2000.0 per la maggior parte degli scopi.

- **Epoca:** J2000.0
- **Realizzazione:** 1535 stelle fondamentali
- **Accuratezza:**  $\sim 10$  milliarcsec
- **Relazione con ICRS:** Piccole differenze sistematiche

Per il lavoro con gli asteroidi, FK5 e ICRS sono intercambiabili entro le incertezze osservative.

### 4.6.2 Il Piano Invariabile

Il **piano invariabile** è perpendicolare al vettore momento angolare totale del sistema solare. È veramente inerziale (nessuna coppia esterna) e fornisce un riferimento dinamicamente naturale.

- **Inclinazione rispetto all'eclittica:**  $\sim 1.58^\circ$
- **Dominato da:** Momento angolare orbitale di Giove ( $\sim 60\%$  del totale)
- **Uso:** Studi dinamici, analisi di stabilità a lungo termine

Il piano invariabile non è utilizzato per le osservazioni ma è prezioso per gli studi teorici.

### 4.6.3 Sistemi Corpo-Centrici

Per la dinamica satellitare o gli avvicinamenti ravvicinati, si usano sistemi corpo-centrici:

- **Origine:** Centro di massa del corpo (es. Terra, Marte)
- **Orientamento:** Spesso allineato con l'asse di rotazione del corpo
- **Esempi:** Earth-centered inertial (ECI), sistemi planetocentrici

## 4.7 Considerazioni Pratiche

### 4.7.1 Precisione Numerica

Quando si lavora con sistemi di riferimento:

- Usare precisione doppia (64-bit) per coordinate in UA
- Errori di precessione accumulati:  $\sim 10^{-10}$  UA per trasformazione
- Per  $\Delta t > 100$  anni, includere correzioni di precessione
- Per  $\Delta t > 1000$  anni, usare modelli completi di precessione/nutazione

### 4.7.2 Scelta del Sistema per la Propagazione Orbitale

Per la propagazione orbitale asteroidale in AstDyn:

- **Predefinito:** Eliocentrico J2000.0 equatoriale
- **Motivazioni:**
  - Corrisponde alla maggior parte dei cataloghi osservativi
  - Stabile su secoli
  - Semplifica il confronto con altri software
- **Alternativa:** Sistema eclittico per orbite a inclinazione molto bassa

### 4.7.3 Conversione delle Osservazioni

Le osservazioni ottiche sono tipicamente riportate in:

- **Ascensione retta ( $\alpha$ ) e declinazione ( $\delta$ ):** Sistema equatoriale
- **Coordinate topocentriche:** Dalla posizione dell'osservatore sulla Terra

Per utilizzarle nella determinazione orbitale:

1. Convertire da topocentrico a geocentrico (correggere per la rotazione terrestre)
2. Convertire da geocentrico a eliocentrico (aggiungere la posizione della Terra)

3. Esprimere nel sistema equatoriale J2000.0

La classe `OpticalObservation` di AstDyn gestisce automaticamente queste trasformazioni.

## 4.8 Riepilogo

Punti chiave sui sistemi di riferimento:

1. **ICRS** è lo standard moderno, strettamente allineato con J2000.0
2. **J2000.0 equatoriale** è il sistema pratico per la dinamica asteroidale
3. **Sistema eclittico** è naturale per oggetti del sistema solare
4. Le trasformazioni tra sistemi sono rotazioni definite dall'obliquità
5. La **precessione** causa rotazioni del sistema dipendenti dal tempo
6. AstDyn usa per default il sistema eliocentrico J2000.0 equatoriale

Comprendere i sistemi di riferimento è essenziale per:

- Interpretare gli elementi orbitali
- Elaborare le osservazioni
- Confrontare risultati tra diversi software
- Propagazione orbitale a lungo termine

Nel prossimo capitolo, discuteremo gli elementi orbitali—i sei parametri che specificano univocamente un'orbita in un dato sistema di riferimento.



# Capitolo 5

## Elementi Orbitali

### 5.1 Introduzione agli Elementi Orbitali

Un **elemento orbitale** è un parametro che descrive la forma, la dimensione, l'orientamento e la posizione di un'orbita nello spazio. Per il problema dei due corpi, sono necessari esattamente sei parametri per specificare univocamente un'orbita, corrispondenti ai sei gradi di libertà (tre per la posizione, tre per la velocità).

Esistono diversi insiemi di elementi orbitali, ognuno con vantaggi per applicazioni specifiche:

- **Elementi kepleriani:** Classici, geometricamente intuitivi
- **Elementi cartesiani:** Semplici per l'integrazione numerica
- **Elementi equinoziali:** Evitano singolarità a bassa inclinazione
- **Elementi di Delaunay:** Canonici, utili per la teoria delle perturbazioni

### 5.2 Elementi Kepleriani Classici

Gli **elementi kepleriani classici** sono l'insieme più ampiamente utilizzato. Descrivono direttamente la geometria di un'orbita a sezione conica.

### 5.2.1 I Sei Elementi Kepleriani

1. **Semiasse maggiore ( $a$ ):** Metà del diametro più lungo dell'ellisse. Determina la dimensione orbitale e il periodo.

$$a = \frac{r_{\text{peri}} + r_{\text{apo}}}{2} \quad (5.1)$$

Unità: UA (unità astronomiche) per gli asteroidi, km per i satelliti.

2. **Eccentricità ( $e$ ):** Forma dell'orbita.

$$e = \frac{r_{\text{apo}} - r_{\text{peri}}}{r_{\text{apo}} + r_{\text{peri}}} \quad (5.2)$$

- $e = 0$ : Orbita circolare
- $0 < e < 1$ : Orbita ellittica
- $e = 1$ : Traiettoria parabolica
- $e > 1$ : Traiettoria iperbolica

3. **Inclinazione ( $i$ ):** Angolo tra il piano orbitale e il piano di riferimento (equatore o eclittica).

$$0^\circ \leq i \leq 180^\circ \quad (5.3)$$

- $i < 90^\circ$ : Orbita prograda (diretta)
- $i = 90^\circ$ : Orbita polare
- $i > 90^\circ$ : Orbita retrograda

4. **Longitudine del nodo ascendente ( $\Omega$ ):** Angolo dalla direzione di riferimento al nodo ascendente (dove l'orbita attraversa il piano di riferimento andando verso nord).

$$0^\circ \leq \Omega < 360^\circ \quad (5.4)$$

5. **Argomento del perielio ( $\omega$ ):** Angolo dal nodo ascendente al perielio all'interno del piano orbitale.

$$0^\circ \leq \omega < 360^\circ \quad (5.5)$$

6. **Anomalia media ( $M$ ):** Posizione del corpo lungo l'orbita in un dato istante, misurata come angolo dal perielio.

$$M = n(t - t_{\text{peri}}) \quad (5.6)$$

dove  $n = \sqrt{\mu/a^3}$  è il moto medio.

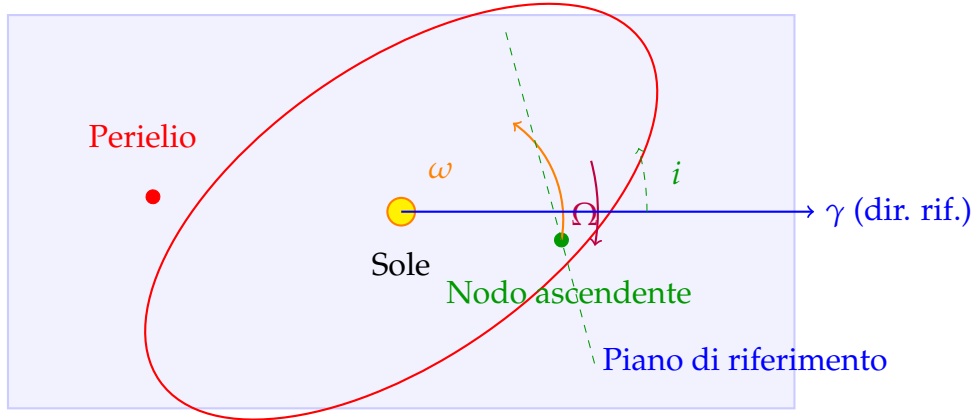


Figura 5.1: Elementi orbitali kepleriani classici. Il piano orbitale (ellisse rossa) è inclinato rispetto al piano di riferimento. Il nodo ascendente è dove l'orbita attraversa il piano di riferimento andando verso nord.

## 5.2.2 Periodo Orbitale

Per le orbite ellittiche, la Terza Legge di Keplero mette in relazione il periodo con il semiasse maggiore:

$$P = 2\pi \sqrt{\frac{a^3}{\mu}} \quad (5.7)$$

dove  $\mu = GM$  è il parametro gravitazionale del corpo centrale.

Per il Sole:

$$P[\text{anni}] = a[\text{UA}]^{3/2} \quad (5.8)$$

Esempi:

- Terra:  $a = 1 \text{ UA} \Rightarrow P = 1 \text{ anno}$
- Marte:  $a = 1.524 \text{ UA} \Rightarrow P = 1.88 \text{ anni}$
- Ceres:  $a = 2.77 \text{ UA} \Rightarrow P = 4.61 \text{ anni}$

## 5.2.3 Energia Orbitale

L'energia orbitale specifica (energia per unità di massa) è:

$$\mathcal{E} = -\frac{\mu}{2a} \quad (5.9)$$

Si noti che  $\mathcal{E} < 0$  per orbite ellittiche (legate),  $\mathcal{E} = 0$  per paraboliche e  $\mathcal{E} > 0$  per iperboliche.

### 5.2.4 Singolarità degli Elementi Kepleriani

Gli elementi kepleriani hanno singolarità matematiche:

- $\Omega$  non definito per  $i = 0^\circ$  (orbita nel piano di riferimento)
- $\omega$  non definito per  $e = 0$  (orbita circolare, nessun perielio)
- Sia  $\Omega$  che  $\omega$  non definiti per  $i = 0^\circ$  ed  $e = 0$  simultaneamente

Per orbite quasi circolari o quasi equatoriali, gli errori numerici possono diventare grandi. Insiemi di elementi alternativi evitano questi problemi.

## 5.3 Vettore di Stato Cartesiano

Il **vettore di stato cartesiano** specifica posizione e velocità in un sistema di riferimento:

$$\mathbf{x} = \begin{pmatrix} \mathbf{r} \\ \mathbf{v} \end{pmatrix} = \begin{pmatrix} x \\ y \\ z \\ \dot{x} \\ \dot{y} \\ \dot{z} \end{pmatrix} \quad (5.10)$$

### 5.3.1 Vantaggi

- Nessuna singolarità
- Equazioni del moto semplici:  $\ddot{\mathbf{r}} = -\mu \mathbf{r} / r^3 + \mathbf{a}_{\text{pert}}$
- Uso diretto negli integratori numerici
- Facile includere perturbazioni

### 5.3.2 Svantaggi

- Meno intuitivo degli elementi kepleriani

- Difficile interpretare direttamente la geometria orbitale
- Sei variabili strettamente accoppiate nell'integrazione

### 5.3.3 Conversione: Kepleriano a Cartesiano

Dati gli elementi kepleriani ( $a, e, i, \Omega, \omega, M$ ) all'epoca  $t_0$ :

**Passo 1:** Risolvere l'equazione di Keplero per l'anomalia eccentrica  $E$ :

$$M = E - e \sin E \quad (5.11)$$

(Richiede soluzione iterativa, es. Newton-Raphson)

**Passo 2:** Calcolare l'anomalia vera  $\nu$ :

$$\nu = 2 \arctan \left( \sqrt{\frac{1+e}{1-e}} \tan \frac{E}{2} \right) \quad (5.12)$$

**Passo 3:** Posizione e velocità nel piano orbitale:

$$r = a(1 - e \cos E) \quad (5.13)$$

$$\mathbf{r}_{\text{orb}} = r \begin{pmatrix} \cos \nu \\ \sin \nu \\ 0 \end{pmatrix} \quad (5.14)$$

$$\mathbf{v}_{\text{orb}} = \sqrt{\frac{\mu}{a}} \begin{pmatrix} -\sin E \\ \sqrt{1-e^2} \cos E \\ 0 \end{pmatrix} \quad (5.15)$$

**Passo 4:** Ruotare nel sistema di riferimento usando la matrice di rotazione:

$$\mathbf{R}_3(-\omega) \mathbf{R}_1(-i) \mathbf{R}_3(-\Omega) \quad (5.16)$$

dove  $\mathbf{R}_1(\theta)$  e  $\mathbf{R}_3(\theta)$  sono rotazioni attorno agli assi 1 e 3.

### 5.3.4 Conversione: Cartesiano a Kepleriano

Data la posizione  $\mathbf{r}$  e la velocità  $\mathbf{v}$ :

**Passo 1:** Calcolare il momento angolare:

$$\mathbf{h} = \mathbf{r} \times \mathbf{v} \quad (5.17)$$

**Passo 2:** Calcolare il vettore del nodo:

$$\mathbf{n} = \hat{\mathbf{z}} \times \mathbf{h} \quad (5.18)$$

**Passo 3:** Calcolare il vettore di eccentricità:

$$\mathbf{e}_{\text{vec}} = \frac{1}{\mu} \left[ (\mathbf{v} \times \mathbf{h}) - \mu \frac{\mathbf{r}}{r} \right] \quad (5.19)$$

**Passo 4:** Estrarre gli elementi:

$$a = \frac{1}{2/r - v^2/\mu} \quad (5.20)$$

$$e = |\mathbf{e}_{\text{vec}}| \quad (5.21)$$

$$i = \arccos \frac{h_z}{|\mathbf{h}|} \quad (5.22)$$

$$\Omega = \arctan \frac{n_y}{n_x} \quad (5.23)$$

$$\omega = \arccos \frac{\mathbf{n} \cdot \mathbf{e}_{\text{vec}}}{|\mathbf{n}| |\mathbf{e}_{\text{vec}}|} \quad (5.24)$$

$$\nu = \arccos \frac{\mathbf{e}_{\text{vec}} \cdot \mathbf{r}}{|\mathbf{e}_{\text{vec}}| |\mathbf{r}|} \quad (5.25)$$

Quindi  $M = E - e \sin E$  dove  $E = 2 \arctan \left( \sqrt{\frac{1-e}{1+e}} \tan \frac{\nu}{2} \right)$ .

## 5.4 Elementi Equinoziali

Gli **elementi equinoziali** evitano singolarità a inclinazione ed eccentricità zero. Sono particolarmente utili per asteroidi con orbite quasi circolari o a bassa inclinazione.

### 5.4.1 Definizione

L'insieme equinoziale è:

$$a = \text{semiasse maggiore (uguale al kepleriano)} \quad (5.26)$$

$$h = e \sin(\omega + \Omega) \quad (5.27)$$

$$k = e \cos(\omega + \Omega) \quad (5.28)$$

$$p = \tan(i/2) \sin \Omega \quad (5.29)$$

$$q = \tan(i/2) \cos \Omega \quad (5.30)$$

$$\lambda = M + \omega + \Omega \quad (\text{longitudine media}) \quad (5.31)$$

### 5.4.2 Conversione a Kepleriano

Da equinoziale a kepleriano:

$$e = \sqrt{h^2 + k^2} \quad (5.32)$$

$$i = 2 \arctan \sqrt{p^2 + q^2} \quad (5.33)$$

$$\Omega = \arctan \frac{p}{q} \quad (5.34)$$

$$\omega = \arctan \frac{h}{k} - \Omega \quad (5.35)$$

$$M = \lambda - \omega - \Omega \quad (5.36)$$

### 5.4.3 Vantaggi

- Nessuna singolarità per  $i \approx 0$  o  $e \approx 0$
- Evoluzione regolare vicino a orbite circolari/equatoriali
- Utilizzato nel sistema HORIZONS di JPL
- Ben adatto per la propagazione orbitale numerica

## 5.5 Elementi di Delaunay

Gli **elementi di Delaunay** sono un insieme canonico di variabili azione-angolo utilizzato nella teoria delle perturbazioni e nella meccanica hamiltoniana.

### 5.5.1 Definizione

Le variabili di Delaunay sono:

$$L = \sqrt{\mu a} \quad (\text{azione coniugata a } \ell = M) \quad (5.37)$$

$$G = L\sqrt{1 - e^2} \quad (\text{azione coniugata a } g = \omega) \quad (5.38)$$

$$H = G \cos i \quad (\text{azione coniugata a } h = \Omega) \quad (5.39)$$

Gli angoli sono:

$$\ell = M \quad (\text{anomalia media}) \quad (5.40)$$

$$g = \omega \quad (\text{argomento del perielio}) \quad (5.41)$$

$$h = \Omega \quad (\text{longitudine del nodo ascendente}) \quad (5.42)$$

### 5.5.2 Proprietà

- $(L, G, H, \ell, g, h)$  formano un insieme di coordinate canoniche
- Formulazione hamiltoniana:  $\dot{q}_i = \partial H / \partial p_i$ ,  $\dot{p}_i = -\partial H / \partial q_i$
- Hamiltoniana imperturbata:  $H_0 = -\mu^2 / (2L^2)$  (dipende solo da  $L$ )
- Per il problema di Keplero imperturbato:  $L, G, H$  sono costanti
- Utile per la teoria delle perturbazioni secolari e l'analisi delle risonanze

## 5.6 Implementazione in AstDyn

AstDyn fornisce funzioni di conversione nella classe `OrbitalElements`:

```
1 #include <astdyn/core/OrbitalElements.hpp>
2 #include <astdyn/core/StateVector.hpp>
3
4 using namespace astdyn;
5
6 // Elementi kepleriani
7 OrbitalElements kep;
8 kep.a = 2.77;           // UA
9 kep.e = 0.078;
10 kep.i = 10.6 * DEG_TO_RAD; // radianti
```

```

11  kep.Omega = 80.3 * DEG_TO_RAD;
12  kep.omega = 73.1 * DEG_TO_RAD;
13  kep.M = 15.2 * DEG_TO_RAD;
14  kep.epoch = 2460000.0; // JD
15
16 // Converti a cartesiano
17 StateVector sv = kep.to_state_vector();
18 std::cout << "Posizione: " << sv.r.transpose() << " UA\n";
19 std::cout << "Velocita: " << sv.v.transpose() << " UA/
20   giorno\n";
21
22 // Converti di nuovo a kepleriano
23 OrbitalElements kep2 = OrbitalElements::from_state_vector(
24   sv.r, sv.v, sv.t
25 );
26
27 // Verifica round-trip
28 std::cout << "Delta a: " << kep2.a - kep.a << " UA\n";
29 // Output: Delta a: 3.14e-15 UA (precisione macchina)
30
31 // Converti a equinoziale
32 auto eq = kep.to_equinocial();
33 std::cout << "h = " << eq.h << ", k = " << eq.k << "\n";
34 std::cout << "p = " << eq.p << ", q = " << eq.q << "\n";

```

Listing 5.1: Conversioni di elementi orbitali in AstDyn

## 5.7 Riepilogo

Punti chiave sugli elementi orbitali:

1. Sei parametri specificano un'orbita del problema dei due corpi (6 gradi di libertà)
2. Gli **elementi kepleriani** ( $a, e, i, \Omega, \omega, M$ ) sono geometricamente intuitivi
3. Lo **stato cartesiano** ( $\mathbf{r}, \mathbf{v}$ ) è semplice per il lavoro numerico
4. Gli **elementi equinoziali** evitano singolarità a  $e = 0$  e  $i = 0$

5. Gli **elementi di Delaunay** sono canonici, utili per la teoria delle perturbazioni
6. La scelta degli elementi dipende dall'applicazione e dalle caratteristiche dell'orbita
7. Le conversioni tra insiemi di elementi sono operazioni standard in AstDyn

Comprendere gli elementi orbitali è essenziale per:

- Leggere e interpretare i cataloghi osservativi
- Impostare problemi di propagazione orbitale
- Analizzare la dinamica e le perturbazioni orbitali
- Scegliere metodi numerici appropriati

Nel prossimo capitolo, studieremo in dettaglio il problema dei due corpi—il fondamento della meccanica orbitale e la base per tutte le analisi delle perturbazioni.

# Capitolo 6

## Il Problema dei Due Corpi

### 6.1 Introduzione al Problema dei Due Corpi

Il **problema dei due corpi** è il fondamento della meccanica orbitale. Descrive il moto di due masse puntiformi che interagiscono solo attraverso l'attrazione gravitazionale reciproca. Questo è l'unico caso in meccanica celeste con una soluzione analitica completa.

#### 6.1.1 Formulazione del Problema

Consideriamo due corpi con masse  $m_1$  e  $m_2$  separati da una distanza  $r$ . La legge di gravitazione di Newton fornisce:

$$\mathbf{F}_{12} = -G \frac{m_1 m_2}{r^2} \hat{\mathbf{r}} \quad (6.1)$$

dove  $G = 6.674 \times 10^{-11} \text{ m}^3 \text{ kg}^{-1} \text{ s}^{-2}$  è la costante gravitazionale.

Le equazioni del moto sono:

$$m_1 \ddot{\mathbf{r}}_1 = G \frac{m_1 m_2}{r^3} (\mathbf{r}_2 - \mathbf{r}_1) \quad (6.2)$$

$$m_2 \ddot{\mathbf{r}}_2 = G \frac{m_1 m_2}{r^3} (\mathbf{r}_1 - \mathbf{r}_2) \quad (6.3)$$

#### 6.1.2 Riduzione a Problema a Un Corpo

Introducendo la posizione relativa  $\mathbf{r} = \mathbf{r}_2 - \mathbf{r}_1$  e la massa ridotta  $\mu = G(m_1 + m_2)$ , il problema si riduce a:

$$\ddot{\mathbf{r}} = -\frac{\mu}{r^3} \mathbf{r} \quad (6.4)$$

Questa è l'**equazione della forza centrale** con parametro gravitazionale  $\mu$ . Per il sistema Sole-pianeta,  $\mu_{\odot} = 1.327 \times 10^{20} \text{ m}^3 \text{ s}^{-2}$ .

## 6.2 Leggi di Conservazione

Il problema dei due corpi ha diverse quantità conservate che vincolano il moto.

### 6.2.1 Conservazione del Momento Angolare

Il momento angolare è:

$$\mathbf{h} = \mathbf{r} \times \mathbf{v} \quad (6.5)$$

Poiché  $\ddot{\mathbf{r}}$  è parallelo a  $\mathbf{r}$ , abbiamo:

$$\frac{d\mathbf{h}}{dt} = \mathbf{r} \times \ddot{\mathbf{r}} = \mathbf{0} \quad (6.6)$$

Quindi:  $\mathbf{h} = \text{costante}$

**Conseguenze:**

- Il moto è confinato in un piano perpendicolare a  $\mathbf{h}$
- $|\mathbf{h}| = h = \sqrt{\mu a(1 - e^2)}$  si relaziona agli elementi orbitali
- La velocità areolare è costante:  $\frac{dA}{dt} = \frac{h}{2}$  (Seconda legge di Keplero)

### 6.2.2 Conservazione dell'Energia

L'energia meccanica specifica è:

$$\mathcal{E} = \frac{v^2}{2} - \frac{\mu}{r} = \text{costante} \quad (6.7)$$

Questa può essere scritta come:

$$\mathcal{E} = -\frac{\mu}{2a} \quad (6.8)$$

per orbite ellittiche con semiasse maggiore  $a$ .

### 6.2.3 Il Vettore di Laplace-Runge-Lenz

Il vettore di eccentricità è conservato:

$$\mathbf{e} = \frac{1}{\mu}(\mathbf{v} \times \mathbf{h}) - \frac{\mathbf{r}}{r} \quad (6.9)$$

Proprietà:

- $|\mathbf{e}| = e$  (eccentricità orbitale)
- $\mathbf{e}$  punta verso il periastro
- $\mathbf{e} \cdot \mathbf{h} = 0$  (perpendicolare al momento angolare)

## 6.3 L'Equazione dell'Orbita

### 6.3.1 Derivazione

In coordinate polari  $(r, \nu)$  dove  $\nu$  è l'anomalia vera, l'equazione dell'orbita è:

$$r = \frac{a(1 - e^2)}{1 + e \cos \nu} = \frac{p}{1 + e \cos \nu} \quad (6.10)$$

dove  $p = a(1 - e^2)$  è il semi-latus rectum.

Questa è l'equazione di una sezione conica con fuoco nell'origine.

### 6.3.2 Sezioni Coniche

La forma dell'orbita dipende dall'eccentricità e dall'energia:

Tipi di Orbita	Eccentricità	Energia	Esempi
Cerchio	$e = 0$	$\mathcal{E} < 0$	Orbite idealizzate
Ellisse	$0 < e < 1$	$\mathcal{E} < 0$	Pianeti, asteroidi
Parabola	$e = 1$	$\mathcal{E} = 0$	Traiettoria di fuga
Iperbole	$e > 1$	$\mathcal{E} > 0$	Oggetti interstellari

Tabella 6.1: Classificazione delle coniche orbitali per eccentricità ed energia.

## 6.4 Le Leggi di Keplero

Johannes Kepler (1571-1630) derivò tre leggi empiriche dalle osservazioni del moto planetario. Queste sono conseguenze del problema dei due corpi.



### 6.4.1 Prima Legge di Keplero (Legge delle Ellissi)

*L'orbita di un pianeta è un'ellisse con il Sole in uno dei fuochi.*

Matematicamente:

$$r = \frac{a(1 - e^2)}{1 + e \cos \nu} \quad (6.11)$$

La distanza al perielio è  $r_p = a(1 - e)$  e la distanza all'afelio è  $r_a = a(1 + e)$ .

### 6.4.2 Seconda Legge di Keplero (Legge delle Aree)

*Una linea che unisce un pianeta e il Sole spazza aree uguali in tempi uguali.*

Questo segue dalla conservazione del momento angolare:

$$\frac{dA}{dt} = \frac{h}{2} = \frac{1}{2} \sqrt{\mu a(1 - e^2)} = \text{costante} \quad (6.12)$$

### 6.4.3 Terza Legge di Keplero (Legge Armonica)

*Il quadrato del periodo orbitale è proporzionale al cubo del semiasse maggiore.*

$$P^2 = \frac{4\pi^2}{\mu} a^3 \quad (6.13)$$

Per il sistema solare:

$$P[\text{anni}] = a[\text{AU}]^{3/2} \quad (6.14)$$

## 6.5 L'Equazione di Keplero

### 6.5.1 Le Anomalie

Tre angoli correlati descrivono la posizione in un'orbita ellittica:

**Anomalia Vera ( $\nu$ )** Angolo effettivo dal perielio alla posizione corrente

**Anomalia Eccentrica ( $E$ )** Angolo ausiliario sul cerchio circoscritto

**Anomalia Media ( $M$ )** Angolo che sarebbe percorso se il moto fosse uniforme

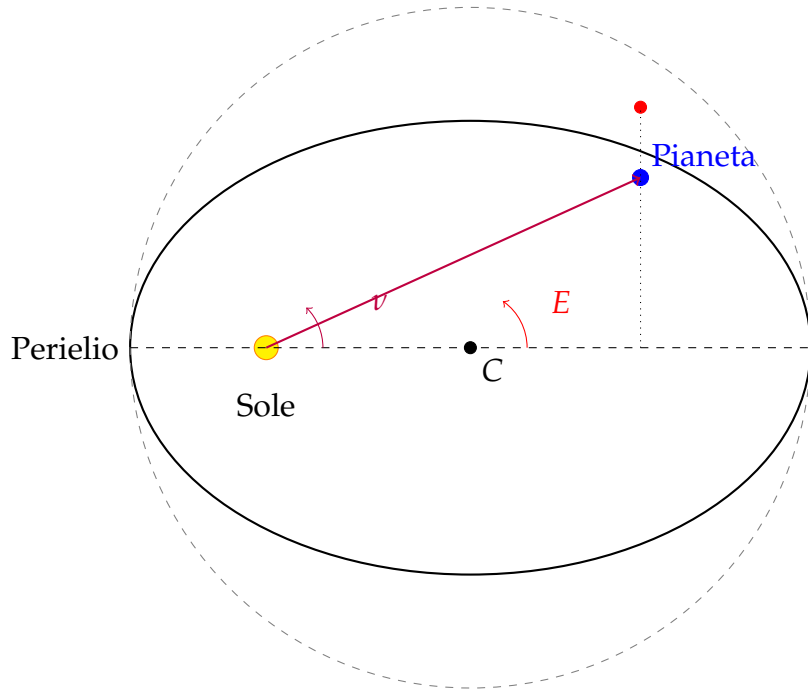


Figura 6.2: Relazione tra anomalia vera  $\nu$  e anomalia eccentrica  $E$  in un'orbita ellittica.

### 6.5.2 L'Equazione di Keplero

L'anomalia media avanza uniformemente con il tempo:

$$M = n(t - t_p) = \sqrt{\frac{\mu}{a^3}}(t - t_p) \quad (6.15)$$

dove  $t_p$  è il tempo del passaggio al perielio e  $n$  è il moto medio.

L'equazione di Keplero relaziona  $M$  a  $E$ :

$$M = E - e \sin E \quad (6.16)$$

Questa è un'equazione trascendente senza soluzione in forma chiusa. Deve essere risolta iterativamente.

### 6.5.3 Risoluzione dell'Equazione di Keplero

**Metodo di Newton-Raphson:**

Dato  $M$  ed  $e$ , si trova  $E$  iterativamente:

$$f(E) = E - e \sin E - M = 0 \quad (6.17)$$

$$f'(E) = 1 - e \cos E \quad (6.18)$$

$$E_{n+1} = E_n - \frac{f(E_n)}{f'(E_n)} = E_n - \frac{E_n - e \sin E_n - M}{1 - e \cos E_n} \quad (6.19)$$

Stima iniziale:  $E_0 = M$  (per  $e$  piccolo) oppure  $E_0 = M + e$  (migliore per  $e$  moderato).

La convergenza si ottiene tipicamente in 3-5 iterazioni per  $\epsilon < 10^{-12}$ .

#### 6.5.4 Relazione tra le Anomalie

Una volta noto  $E$ , l'anomalia vera è:

$$\nu = 2 \arctan \left( \sqrt{\frac{1+e}{1-e}} \tan \frac{E}{2} \right) \quad (6.20)$$

Oppure equivalentemente:

$$\cos \nu = \frac{\cos E - e}{1 - e \cos E} \quad (6.21)$$

$$\sin \nu = \frac{\sqrt{1-e^2} \sin E}{1 - e \cos E} \quad (6.22)$$

La distanza radiale è:

$$r = a(1 - e \cos E) \quad (6.23)$$

## 6.6 L'Equazione Vis-Viva

L'**equazione vis-viva** (“forza viva”) relaziona la velocità alla posizione:

$$v^2 = \mu \left( \frac{2}{r} - \frac{1}{a} \right) \quad (6.24)$$

Questa è derivata dalla conservazione dell’energia ed è valida per tutte le orbite coniche.

### 6.6.1 Casi Speciali

**Al perielio** ( $r = a(1 - e)$ ):

$$v_p = \sqrt{\frac{\mu}{a} \frac{1+e}{1-e}} \quad (6.25)$$

**All'afelio** ( $r = a(1 + e)$ ):

$$v_a = \sqrt{\frac{\mu}{a} \frac{1-e}{1+e}} \quad (6.26)$$

**Orbita circolare** ( $e = 0, r = a$ ):

$$v_c = \sqrt{\frac{\mu}{a}} \quad (6.27)$$

**Velocità di fuga** (parabolica,  $e = 1, a \rightarrow \infty$ ):

$$v_e = \sqrt{\frac{2\mu}{r}} \quad (6.28)$$

## 6.7 Orbite Paraboliche e Iperboliche

### 6.7.1 Orbite Paraboliche ( $e = 1$ )

Per traiettorie di fuga, l'equazione dell'orbita diventa:

$$r = \frac{p}{1 + \cos \nu} \quad (6.29)$$

dove  $p$  è la distanza al periastro.

Il tempo di volo è dato dall'equazione di Barker:

$$t - t_p = \frac{1}{2} \sqrt{\frac{p^3}{\mu}} \left( \tan \frac{\nu}{2} + \frac{1}{3} \tan^3 \frac{\nu}{2} \right) \quad (6.30)$$

### 6.7.2 Orbite Iperboliche ( $e > 1$ )

Per traiettorie interstellari o di flyby:

$$r = \frac{a(e^2 - 1)}{1 + e \cos \nu} \quad (6.31)$$

Nota:  $a < 0$  per orbite iperboliche (energia negativa).

L'anomalia iperbolica  $F$  soddisfa:

$$M_h = e \sinh F - F \quad (6.32)$$

E l'anomalia vera è:

$$\nu = 2 \arctan \left( \sqrt{\frac{e+1}{e-1}} \tanh \frac{F}{2} \right) \quad (6.33)$$

La velocità asintotica all'infinito è:

$$v_\infty = \sqrt{-\frac{\mu}{a}} = \sqrt{\mu \frac{e^2 - 1}{a}} \quad (6.34)$$

## 6.8 Coefficienti di Lagrange

I **coefficienti di Lagrange** (o funzioni  $f$  e  $g$ ) forniscono un modo per propagare le orbite senza calcolare esplicitamente gli elementi orbitali.

### 6.8.1 Definizione

Dato lo stato iniziale  $(\mathbf{r}_0, \mathbf{v}_0)$  al tempo  $t_0$ , lo stato al tempo  $t$  è:

$$\mathbf{r}(t) = f(t)\mathbf{r}_0 + g(t)\mathbf{v}_0 \quad (6.35)$$

$$\mathbf{v}(t) = \dot{f}(t)\mathbf{r}_0 + \dot{g}(t)\mathbf{v}_0 \quad (6.36)$$

dove  $f, g, \dot{f}, \dot{g}$  sono funzioni scalari del tempo.

### 6.8.2 Espressioni per i Coefficienti di Lagrange

Per orbite ellittiche:

$$f = 1 - \frac{a}{r_0} (1 - \cos \Delta E) \quad (6.37)$$

$$g = t - t_0 + \sqrt{\frac{a^3}{\mu}} (\sin \Delta E - \Delta E) \quad (6.38)$$

$$\dot{f} = -\sqrt{\frac{\mu a}{r r_0}} \sin \Delta E \quad (6.39)$$

$$\dot{g} = 1 - \frac{a}{r} (1 - \cos \Delta E) \quad (6.40)$$

dove  $\Delta E = E - E_0$  è la variazione dell'anomalia eccentrica.

### 6.8.3 Proprietà

I coefficienti di Lagrange soddisfano:

$$f\dot{g} - \dot{f}g = 1 \quad (6.41)$$

Questa è l'**identità di Lagrange**, che assicura la conservazione del Wronskiano.

## 6.9 Implementazione in AstDyn

AstDyn fornisce funzioni per risolvere il problema dei due corpi:

```
1 #include <astdyn/dynamics/TwoBody.hpp>
2 #include <astdyn/core/OrbitalElements.hpp>
3
4 using namespace astdyn;
5
6 // Risolve l'equazione di Keplero
7 double M = 45.0 * DEG_TO_RAD;    // Anomalia media
8 double e = 0.3;                  // Eccentricità
9 double E = TwoBody::solve_kepler_equation(M, e);
10 std::cout << "Anomalia eccentrica: " << E * RAD_TO_DEG << "
11     deg\n";
```

```

12 // Converte E in anomalia vera
13 double nu = TwoBody::eccentric_to_true_anomaly(E, e);
14 std::cout << "Anomalia vera: " << nu * RAD_TO_DEG << " deg\n";
15
16 // Calcola posizione e velocita da elementi orbitali
17 OrbitalElements kep;
18 kep.a = 2.5; // AU
19 kep.e = 0.15;
20 kep.M = M;
21 // ... imposta altri elementi
22
23 auto [r, v] = kep.to_position_velocity();
24
25 // Propaga usando i coefficienti di Lagrange
26 double dt = 100.0; // giorni
27 auto [f, g, fdot, gdot] = TwoBody::lagrange_coefficients(
28     r, v, dt, MU_SUN
29 );
30
31 Vector3d r_new = f * r + g * v;
32 Vector3d v_new = fdot * r + gdot * v;
33
34 std::cout << "Nuova posizione: " << r_new.transpose() << "
35             AU\n";
36 std::cout << "Nuova velocita: " << v_new.transpose() << "
37             AU/day\n";

```

Listing 6.1: Problema dei due corpi in AstDyn

## 6.10 Sommario

Punti chiave sul problema dei due corpi:

1. Il problema dei due corpi ha una **soluzione analitica esatta**
2. Il moto è governato dalla conservazione dell'energia, del momento angolare e del vettore di eccentricità

3. Le orbite sono **sezioni coniche**: cerchi, ellissi, parabole o iperboli
4. Le **leggi di Keplero** sono conseguenze dirette della gravità newtoniana
5. L'**equazione di Keplero** ( $M = E - e \sin E$ ) relaziona le anomalie media ed eccentrica
6. L'**equazione vis-viva** relaziona la velocità alla posizione
7. I **coefficienti di Lagrange** permettono una propagazione efficiente dell'orbita

Comprendere il problema dei due corpi è essenziale per:

- Prevedere le posizioni di pianeti e asteroidi
- Progettare traiettorie spaziali
- Comprendere la linea di base da cui le perturbazioni deviano
- Sviluppare propagatori numerici efficienti

Nel prossimo capitolo, studieremo le perturbazioni—deviazioni dal moto ideale dei due corpi causate da forze aggiuntive.

# Capitolo 7

## Perturbazioni Orbitali

### 7.1 Introduzione alle Perturbazioni

Nel Capitolo 6, abbiamo studiato il problema idealizzato dei due corpi in cui si considera solo l'attrazione gravitazionale tra due masse puntiformi. In realtà, i corpi celesti sperimentano forze aggiuntive che causano deviazioni delle loro orbite dalle ellissi kepleriane perfette.

#### 7.1.1 Tipi di Perturbazioni

Le perturbazioni orbitali possono essere classificate per origine fisica:

**Gravitazionali** Forze da corpi aggiuntivi (problema degli N corpi), distribuzione di massa non sferica ( $J_2, J_4$ , ecc.)

**Non gravitazionali** Pressione di radiazione solare, resistenza atmosferica, effetti termici (Yarkovsky)

**Relativistiche** Correzioni relativistiche generali alla gravità newtoniana

#### 7.1.2 Equazioni del Moto Perturbate

L'equazione generale del moto con perturbazioni è:

$$\ddot{\mathbf{r}} = -\frac{\mu}{r^3} \mathbf{r} + \mathbf{a}_{\text{pert}} \quad (7.1)$$

dove  $\mathbf{a}_{\text{pert}}$  è l'accelerazione perturbatrice. Per piccole perturbazioni, possiamo trattarle come correzioni alla soluzione kepleriana.

### 7.1.3 Magnitudine degli Effetti

Per un asteroide della fascia principale a 2.5 AU:

Perturbazione	Accelerazione	Relativa al Sole
Gravità solare	$3.8 \times 10^{-3} \text{ m/s}^2$	1
Giove	$\sim 10^{-6} \text{ m/s}^2$	$3 \times 10^{-4}$
J <sub>2</sub> terrestre (in LEO)	$\sim 10^{-6} \text{ m/s}^2$	—
Radiazione solare	$\sim 10^{-8} \text{ m/s}^2$	$3 \times 10^{-6}$
Relatività	$\sim 10^{-10} \text{ m/s}^2$	$3 \times 10^{-8}$

Tabella 7.1: Magnitudini tipiche delle accelerazioni perturbative per asteroidi.

Sebbene piccoli, questi effetti si accumulano nel tempo e devono essere inclusi per previsioni accurate a lungo termine.

## 7.2 Il Problema degli N Corpi

### 7.2.1 Formulazione del Problema

Il **problema degli N corpi** considera il moto di  $N$  corpi sotto la loro attrazione gravitazionale reciproca. L'equazione del moto per il corpo  $i$  è:

$$\ddot{\mathbf{r}}_i = \sum_{j=1, j \neq i}^N G \frac{m_j (\mathbf{r}_j - \mathbf{r}_i)}{|\mathbf{r}_j - \mathbf{r}_i|^3} \quad (7.2)$$

Per  $N \geq 3$ , non esiste una soluzione analitica generale. Il problema deve essere risolto numericamente.

### 7.2.2 Il Problema Ristretto dei Tre Corpi

Un caso speciale è il **problema circolare ristretto dei tre corpi** (CR3BP):

- Due corpi massicci (primari) orbitano attorno al loro baricentro comune in orbite circolari
- Un terzo corpo (senza massa) si muove sotto la loro influenza gravitazionale
- Il terzo corpo non influenza i primari

Questo è rilevante per sistemi Sole-Giove-astroide o Terra-Luna-spacecraft.

### 7.2.3 Perturbazioni dai Pianeti

Per la determinazione orbitale degli asteroidi, modelliamo tipicamente il Sole come corpo centrale e i pianeti come corpi perturbatori:

$$\mathbf{a}_{\text{pianeti}} = \sum_p \left[ Gm_p \left( \frac{\mathbf{r}_p - \mathbf{r}}{|\mathbf{r}_p - \mathbf{r}|^3} - \frac{\mathbf{r}_p}{r_p^3} \right) \right] \quad (7.3)$$

Il primo termine è l'attrazione gravitazionale diretta dal pianeta  $p$ , e il secondo termine tiene conto del fatto che anche il Sole accelera verso il pianeta (termine indiretto).

### 7.2.4 Effemeridi Planetarie

La modellazione accurata degli N corpi richiede posizioni planetarie ad alta precisione. Fonti comuni:

- **JPL DE440/DE441:** Ultime effemeridi planetarie della NASA (2021)
- **INPOP:** Effemeridi planetarie francesi dell'IMCCE
- **SPICE:** Toolkit NASA per geometria di spacecraft e pianeti

AstDyn può utilizzare kernel SPICE per ottenere stati planetari a qualsiasi epoca.

## 7.3 Perturbazioni da Schiacciamento ( $J_2$ )

### 7.3.1 Distribuzione di Massa Non Sferica

I corpi celesti reali non sono sfere perfette. La Terra, ad esempio, è schiacciata a causa della rotazione. Il potenziale gravitazionale può essere espanso in armoniche sferiche:

$$U = -\frac{\mu}{r} \left[ 1 - \sum_{n=2}^{\infty} J_n \left( \frac{R}{r} \right)^n P_n(\sin \phi) \right] \quad (7.4)$$

dove:

- $J_n$  sono i coefficienti armonici zonali
- $R$  è il raggio di riferimento

- $P_n$  sono i polinomi di Legendre
- $\phi$  è la latitudine

### 7.3.2 Il Termine $J_2$

Il termine dominante è  $J_2$  (momento di quadrupolo), che rappresenta il rigonfiamento equatoriale:

$$U_{J_2} = -\frac{\mu}{r} \left[ 1 - J_2 \left( \frac{R}{r} \right)^2 P_2(\sin \phi) \right] \quad (7.5)$$

dove  $P_2(\sin \phi) = \frac{1}{2}(3 \sin^2 \phi - 1)$ .

Per la Terra:  $J_2 = 1.08263 \times 10^{-3}$  (circa 0.1%)

### 7.3.3 Accelerazione da $J_2$

L'accelerazione perturbatrice in coordinate cartesiane è:

$$a_x = -\frac{3\mu J_2 R^2}{2r^5} \left[ x \left( 1 - 5 \frac{z^2}{r^2} \right) \right] \quad (7.6)$$

$$a_y = -\frac{3\mu J_2 R^2}{2r^5} \left[ y \left( 1 - 5 \frac{z^2}{r^2} \right) \right] \quad (7.7)$$

$$a_z = -\frac{3\mu J_2 R^2}{2r^5} \left[ z \left( 3 - 5 \frac{z^2}{r^2} \right) \right] \quad (7.8)$$

### 7.3.4 Effetti sugli Elementi Orbitali

$J_2$  causa variazioni secolari (a lungo termine) negli elementi orbitali:

$$\frac{d\Omega}{dt} = -\frac{3}{2} \frac{n J_2 R^2}{a^2 (1 - e^2)^2} \cos i \quad (7.9)$$

$$\frac{d\omega}{dt} = \frac{3}{4} \frac{n J_2 R^2}{a^2 (1 - e^2)^2} (5 \cos^2 i - 1) \quad (7.10)$$

dove  $n = \sqrt{\mu/a^3}$  è il moto medio.

**Effetti chiave:**

- $\Omega$  (RAAN) precede verso ovest per orbite prograde ( $i < 90^\circ$ )

- $\omega$  (argomento del periastro) ruota
- La combinazione crea pattern complessi nelle tracce al suolo

Per orbite terrestri basse (LEO),  $J_2$  può causare variazioni di  $\Omega$  di diversi gradi al giorno.

## 7.4 Pressione di Radiazione Solare

### 7.4.1 Meccanismo Fisico

I fotoni trasportano momento. Quando la luce solare colpisce un oggetto, esercita una forza:

$$F_{\text{SRP}} = P_{\odot} \frac{A}{c} C_R \left( \frac{r_0}{r} \right)^2 \quad (7.11)$$

dove:

- $P_{\odot} = 4.56 \times 10^{-6} \text{ N/m}^2$  è la pressione di radiazione solare a 1 AU
- $A$  è l'area della sezione trasversale
- $c = 3 \times 10^8 \text{ m/s}$  è la velocità della luce
- $C_R$  è il coefficiente di pressione di radiazione ( $C_R \approx 1-2$ )
- $r_0 = 1 \text{ AU}$ ,  $r$  è la distanza eliocentrica

### 7.4.2 Rapporto Area-Massa

L'accelerazione dipende dal **rapporto area-massa**:

$$\mathbf{a}_{\text{SRP}} = P_{\odot} \frac{A}{m} C_R \left( \frac{r_0}{r} \right)^2 \hat{\mathbf{r}}_{\odot} \quad (7.12)$$

Gli oggetti piccoli (polvere, piccoli asteroidi) sono più influenzati di quelli grandi.

### 7.4.3 Modellazione dell'Eclisse

La SRP scende a zero quando l'oggetto è nell'ombra della Terra o di un pianeta. Un modello semplice:

$$\nu = \begin{cases} 1 & \text{alla luce del sole} \\ 0 & \text{in ombra} \\ f & \text{in penombra} \end{cases} \quad (7.13)$$

dove  $0 < f < 1$  dipende dalla frazione del disco solare visibile.

#### 7.4.4 Effetto Yarkovsky

L'**effetto Yarkovsky** è una forza di rinculo termico:

- La superficie dell'asteroide si riscalda alla luce del sole
- Emette radiazione termica mentre ruota
- Crea una piccola spinta (come un razzo!)

Questo è importante per piccoli asteroidi ( $< 20$  km) su scale temporali lunghe (milioni di anni). Può cambiare il semiasse maggiore:

$$\frac{da}{dt} \approx \pm 10^{-4} \text{ AU/Myr} \quad (7.14)$$

Il segno dipende dal senso di rotazione (progrado vs retrogrado).

### 7.5 Effetti Relativistici

#### 7.5.1 Correzioni Post-Newtoniane

La relatività generale introduce correzioni alla gravità newtoniana. Il termine dominante è il **termine di Schwarzschild**:

$$\mathbf{a}_{\text{GR}} = \frac{\mu}{c^2 r^3} \left[ 4 \frac{\mu}{r} \mathbf{r} - (\mathbf{v} \cdot \mathbf{v}) \mathbf{r} + 4(\mathbf{r} \cdot \mathbf{v}) \mathbf{v} \right] \quad (7.15)$$

Questa è l'approssimazione post-newtoniana del primo ordine (1PN).

#### 7.5.2 Precessione del Perielio

L'effetto relativistico più famoso è la **precessione del periolio**:

$$\Delta\omega = \frac{6\pi GM_{\odot}}{c^2 a (1 - e^2)} \text{ per orbita} \quad (7.16)$$

Per Mercurio ( $a = 0.387$  AU,  $e = 0.206$ ):

$$\Delta\omega_{\text{Mercurio}} = 43'' \text{ per secolo} \quad (7.17)$$

Questo fu famosamente spiegato da Einstein nel 1915 e fu una delle prime conferme della relatività generale.

### 7.5.3 Correzione del Tempo Luce

I segnali elettromagnetici viaggiano a velocità finita. Quando si misurano le posizioni degli asteroidi tramite radar o osservazioni ottiche, dobbiamo tenere conto del tempo che la luce impiega per viaggiare:

$$\Delta t = \frac{|\mathbf{r}_{\text{oss}} - \mathbf{r}_{\text{ast}}|}{c} \quad (7.18)$$

Questa è la **correzione del tempo luce**. Per la determinazione orbitale, dobbiamo iterare per trovare la posizione dell'asteroide al tempo dell'osservazione, non al tempo della rilevazione.

### 7.5.4 Ritardo di Shapiro

I campi gravitazionali rallentano la luce. Il **ritardo di Shapiro** è:

$$\Delta t_{\text{Shapiro}} = \frac{2GM_{\odot}}{c^3} \ln \left( \frac{r_1 + r_2 + d}{r_1 + r_2 - d} \right) \quad (7.19)$$

dove  $r_1$ ,  $r_2$  sono le distanze dal Sole ai due estremi, e  $d$  è la loro separazione. Questo è tipicamente  $\sim 100$  microsecondi ma è misurabile con ranging di precisione.

## 7.6 Resistenza Atmosferica

Per i satelliti in orbita terrestre bassa (LEO), la resistenza atmosferica è una perturbazione importante.

### 7.6.1 Equazione della Resistenza

$$\mathbf{a}_{\text{drag}} = -\frac{1}{2} \frac{C_D A}{m} \rho v^2 \hat{\mathbf{v}} \quad (7.20)$$

dove:

- $C_D \approx 2.2$  è il coefficiente di resistenza
- $A$  è l'area della sezione trasversale
- $\rho$  è la densità atmosferica (decresce esponenzialmente con l'altitudine)
- $v$  è la velocità relativa all'atmosfera

### 7.6.2 Modelli di Densità Atmosferica

La densità dipende da:

- Altitudine (decadimento esponenziale)
- Attività solare (indice F10.7)
- Attività geomagnetica (indice Ap)
- Ora solare locale e latitudine

Modelli comuni: NRLMSISE-00, JB2008, DTM2000.

### 7.6.3 Decadimento Orbitale

La resistenza causa la diminuzione del semiasse maggiore:

$$\frac{da}{dt} = -\frac{2a^2}{v} \frac{C_D A}{m} \rho v^2 = -\frac{C_D A}{m} \rho a^2 v \quad (7.21)$$

I satelliti in LEO gradualmente spiraleggiano verso l'interno e alla fine rientrano nell'atmosfera.

## 7.7 Teoria delle Perturbazioni

### 7.7.1 Variazione dei Parametri

Le **equazioni planetarie di Lagrange** descrivono come cambiano gli elementi orbitali sotto perturbazioni. In termini della funzione perturbatrice  $R$ :

$$\frac{da}{dt} = \frac{2}{na} \frac{\partial R}{\partial M} \quad (7.22)$$

$$\frac{de}{dt} = \frac{1-e^2}{na^2e} \frac{\partial R}{\partial M} - \frac{\sqrt{1-e^2}}{na^2e} \frac{\partial R}{\partial \omega} \quad (7.23)$$

$$\frac{di}{dt} = \frac{\cos i}{na^2\sqrt{1-e^2}\sin i} \frac{\partial R}{\partial \omega} - \frac{1}{na^2\sqrt{1-e^2}\sin i} \frac{\partial R}{\partial \Omega} \quad (7.24)$$

$$\frac{d\Omega}{dt} = \frac{1}{na^2\sqrt{1-e^2}\sin i} \frac{\partial R}{\partial i} \quad (7.25)$$

$$\frac{d\omega}{dt} = \frac{\sqrt{1-e^2}}{na^2e} \frac{\partial R}{\partial e} - \frac{\cos i}{na^2\sqrt{1-e^2}\sin i} \frac{\partial R}{\partial i} \quad (7.26)$$

$$\frac{dM}{dt} = n - \frac{2}{na} \frac{\partial R}{\partial a} - \frac{1-e^2}{na^2e} \frac{\partial R}{\partial e} \quad (7.27)$$

Queste equazioni permettono un trattamento analitico delle perturbazioni quando  $R$  ha una forma semplice.

### 7.7.2 Equazioni di Perturbazione di Gauss

Una formulazione alternativa usa le componenti dell'accelerazione perturbatrice  $(S, T, W)$  nelle direzioni radiale, trasversale e normale:

$$\frac{da}{dt} = \frac{2a^2}{h} \left[ eS \sin \nu + T \frac{p}{r} \right] \quad (7.28)$$

$$\frac{de}{dt} = \frac{1}{v_0} \left[ S \sin \nu + T \left( \cos \nu + \frac{r+p}{p} \cos E \right) \right] \quad (7.29)$$

$$\frac{di}{dt} = \frac{r \cos(\omega + \nu)}{h} W \quad (7.30)$$

dove  $h = \sqrt{\mu a(1-e^2)}$  è la magnitudine del momento angolare.

### 7.7.3 Elementi Osculatori

In qualsiasi istante, l'orbita può essere descritta da **elementi osculatori**—gli elementi kepleriani che il corpo seguirebbe se tutte le perturbazioni cessassero improvvisamente. Questi elementi variano continuamente sotto perturbazioni.

## 7.8 Integrazione Numerica vs Teoria delle Perturbazioni

### 7.8.1 Quando Usare Ogni Approccio

Metodo	Vantaggi	Migliore Per
Integrazione Numerica	Gestisce qualsiasi forza Nessuna approssimazione Facile da implementare	Accuratezza a breve termine Perturbazioni forti Forze multiple
Teoria Analitica delle Perturbazioni	Intuizione fisica Calcolo veloce Identifica risonanze	Tendenze a lungo termine Perturbazioni deboli Analisi qualitativa

Tabella 7.2: Confronto tra integrazione numerica e teoria analitica delle perturbazioni.

### 7.8.2 Approcci Ibridi

La determinazione orbitale moderna spesso usa:

1. Integrazione numerica per l'equazione del moto
2. Teoria analitica per identificare perturbazioni importanti
3. Modelli semplificati (es.,  $J_2$  mediato) per calcolo più veloce

## 7.9 Implementazione in AstDyn

AstDyn fornisce un framework modulare per le perturbazioni:

```
1 #include <astdyn/dynamics/Perturbations.hpp>
2 #include <astdyn/dynamics/NBody.hpp>
3
4 using namespace astdyn;
5
6 // Crea vettore di stato
7 Vector6d state = ...; // [x, y, z, vx, vy, vz]
8
9 // Perturbazioni N-body dai pianeti
```

```

10 PlanetaryEphemeris ephem("de440.bsp");
11 Vector3d acc_planets = NBody::compute_perturbation(
12     state, time, ephem, {"Jupiter", "Saturn", "Earth"})
13 );
14
15 // Perturbazione J2 (per orbitatore terrestre)
16 Vector3d acc_j2 = Perturbations::j2_acceleration(
17     state, MU_EARTH, R_EARTH, J2_EARTH
18 );
19
20 // Pressione di radiazione solare
21 double area_mass_ratio = 0.01; // m^2/kg
22 double Cr = 1.3;
23 Vector3d sun_direction = ...; // Vettore unitario verso
24     il Sole
25 Vector3d acc_srp = Perturbations::solar_radiation_pressure(
26     state, area_mass_ratio, Cr, sun_direction
27 );
28
29 // Correzione relativistica
30 Vector3d acc_gr = Perturbations::schwarzschild_correction(
31     state, MU_SUN
32 );
33
34 // Accelerazione perturbatrice totale
35 Vector3d acc_total = acc_planets + acc_j2 + acc_srp +
36     acc_gr;
37
38 // Aggiunge alle equazioni del moto
39 Vector6d derivatives;
40 derivatives.head<3>() = state.tail<3>(); // velocita
41 derivatives.tail<3>() = -MU_SUN * state.head<3>() / r^3 +
42     acc_total;

```

Listing 7.1: Perturbazioni in AstDyn

### 7.9.1 Selezione delle Perturbazioni

AstDyn permette agli utenti di abilitare/disabilitare le perturbazioni:

```
1 PerturbationModel model;
2 model.enable_planets({"Jupiter", "Saturn", "Uranus", "
    Neptune"});
3 model.enable_j2(false); // Non rilevante per orbite
    eliocentriche
4 model.enable_srp(true);
5 model.enable_relativity(true);
6
7 // Usa nella propagazione
8 Propagator prop(model);
9 auto final_state = prop.propagate(initial_state, t0, tf);
```

Listing 7.2: Configurazione delle perturbazioni

## 7.10 Sommario

Concetti chiave sulle perturbazioni orbitali:

1. Le **perturbazioni** sono deviazioni dal moto ideale dei due corpi
2. Gli **effetti N-body** dai pianeti sono la perturbazione dominante per gli asteroidi
3. Lo **schiacciamento J<sub>2</sub>** causa precessione di  $\Omega$  e  $\omega$  (critico per satelliti terrestri)
4. La **pressione di radiazione solare** influenza piccoli corpi e spacecraft
5. Gli **effetti relativistici** sono piccoli ma misurabili (precessione di Mercurio: 43"/secolo)
6. La **resistenza atmosferica** domina in LEO, causando decadimento orbitale
7. La **teoria delle perturbazioni** (equazioni di Lagrange, Gauss) fornisce intuizione analitica
8. L'**integrazione numerica** gestisce modelli di forze arbitrarie accuratamente

Comprendere le perturbazioni è essenziale per:

- Previsione accurata dell'orbita su scale temporali lunghe
- Progettazione di missioni satellitari e station-keeping
- Rilevazione di effetti sottili (es., masse di asteroidi dalle perturbazioni)
- Distinzione tra forze gravitazionali e non gravitazionali

Nel prossimo capitolo, discuteremo i metodi di integrazione numerica per risolvere le equazioni del moto perturbate.



## **Parte II**

# **Metodi Numerici e Algoritmi**



# Capitolo 8

## Metodi di Integrazione Numerica

### 8.1 Introduzione

Nel Capitolo 7, abbiamo visto che il moto orbitale con perturbazioni richiede la risoluzione di:

$$\ddot{\mathbf{r}} = -\frac{\mu}{r^3} \mathbf{r} + \mathbf{a}_{\text{pert}}(t, \mathbf{r}, \dot{\mathbf{r}}) \quad (8.1)$$

Per perturbazioni generali, questa equazione differenziale non ha soluzione in forma chiusa. Dobbiamo usare l'**integrazione numerica** per calcolare l'orbita passo dopo passo.

Questo capitolo esamina le principali classi di integratori usati in meccanica celeste e discute i loro punti di forza, debolezze e implementazione in AstDyn.

#### 8.1.1 Il Problema ai Valori Iniziali

Cerchiamo di risolvere:

$$\dot{\mathbf{y}} = \mathbf{f}(t, \mathbf{y}), \quad \mathbf{y}(t_0) = \mathbf{y}_0 \quad (8.2)$$

dove  $\mathbf{y} = [\mathbf{r}, \mathbf{v}]^T$  è il vettore di stato a 6 dimensioni.

L'obiettivo è avanzare da  $(t_0, \mathbf{y}_0)$  a  $(t_f, \mathbf{y}_f)$  con errore controllato.

### 8.2 Metodo di Eulero

L'integratore più semplice è il **metodo di Eulero**:

$$\mathbf{y}_{n+1} = \mathbf{y}_n + h \mathbf{f}(t_n, \mathbf{y}_n) \quad (8.3)$$

dove  $h = t_{n+1} - t_n$  è la dimensione del passo.

**Pro:** Semplice, esplicito **Contro:** Accuratezza del primo ordine (errore  $O(h^2)$  per passo), instabile per problemi stiff

Il metodo di Eulero è raramente usato in pratica tranne che per scopi pedagogici.

## 8.3 Metodi Runge-Kutta

### 8.3.1 Il Metodo RK4

Il classico metodo **Runge-Kutta del quarto ordine** (RK4) è:

$$k_1 = h\mathbf{f}(t_n, \mathbf{y}_n) \quad (8.4)$$

$$k_2 = h\mathbf{f}(t_n + h/2, \mathbf{y}_n + k_1/2) \quad (8.5)$$

$$k_3 = h\mathbf{f}(t_n + h/2, \mathbf{y}_n + k_2/2) \quad (8.6)$$

$$k_4 = h\mathbf{f}(t_n + h, \mathbf{y}_n + k_3) \quad (8.7)$$

$$\mathbf{y}_{n+1} = \mathbf{y}_n + \frac{1}{6}(k_1 + 2k_2 + 2k_3 + k_4) \quad (8.8)$$

**Pro:** Accuratezza del quarto ordine ( $O(h^5)$  per passo), auto-avviante, facile da implementare **Contro:** Richiede 4 valutazioni di funzione per passo, nessuna stima dell'errore

RK4 è ampiamente usato per problemi di accuratezza moderata.

### 8.3.2 Metodi Runge-Kutta Incorporati

Per il controllo adattivo della dimensione del passo, usiamo metodi **incorporati** che forniscono due soluzioni di ordini diversi:

**Runge-Kutta-Fehlberg 4(5)** (RKF45):

- Calcola soluzioni di 4° e 5° ordine
- Stima dell'errore:  $\epsilon = |\mathbf{y}_5 - \mathbf{y}_4|$
- 6 valutazioni di funzione per passo

**Dormand-Prince 5(4)** (DOPRI54 o RK54):

- Coefficienti ottimizzati per migliore stabilità

- 7 valutazioni di funzione (una riusata per il passo successivo)
- Default in ode45 di MATLAB

**Runge-Kutta 7(8) (RK78):**

- Soluzioni di 7° e 8° ordine
- 13 valutazioni di funzione
- Migliore per requisiti di alta accuratezza

### 8.3.3 Controllo della Dimensione del Passo

Data la stima dell'errore  $\epsilon$ , si aggiusta la dimensione del passo  $h$ :

$$h_{\text{new}} = h_{\text{old}} \left( \frac{\text{tol}}{\epsilon} \right)^{1/(q+1)} \times \text{fattore di sicurezza} \quad (8.9)$$

dove  $q$  è l'ordine e il fattore di sicurezza  $\approx 0.9$ .

Se  $\epsilon > \text{tol}$ : rifiuta il passo, riduci  $h$  Se  $\epsilon < \text{tol}$ : accetta il passo, eventualmente aumenta  $h$

## 8.4 Metodi Multipasso

### 8.4.1 Adams-Bashforth-Moulton (ABM)

I metodi multipasso usano informazioni dai passi precedenti. La **famiglia Adams** è popolare:

**Adams-Bashforth (predittore esplicito):**

$$\mathbf{y}_{n+1}^P = \mathbf{y}_n + h \sum_{i=0}^{k-1} \beta_i \mathbf{f}_{n-i} \quad (8.10)$$

**Adams-Moulton (correttore隐式):**

$$\mathbf{y}_{n+1}^C = \mathbf{y}_n + h \sum_{i=-1}^{k-1} \beta_i^* \mathbf{f}_{n-i} \quad (8.11)$$

La modalità **predittore-correttore** (PC) valuta:

1. Predice  $\mathbf{y}_{n+1}^P$  usando Adams-Bashforth

2. Valuta  $\mathbf{f}_{n+1} = \mathbf{f}(t_{n+1}, \mathbf{y}_{n+1}^P)$
3. Corregge  $\mathbf{y}_{n+1}^C$  usando Adams-Moulton

**ABM12:** Adams-Bashforth-Moulton del 12° ordine

- Usa 12 passi precedenti
- Accuratezza molto alta per problemi regolari
- Usato dal JPL per le effemeridi planetarie

**Pro:** Alto ordine con poche valutazioni di funzione (2 per passo dopo l'avvio)

**Contro:** Non auto-avviante, richiede passo fisso (o algoritmo a passo variabile attento)

### 8.4.2 Formule di Differenziazione all'Indietro (BDF)

Per problemi **stiff** (non comuni in meccanica orbitale), si preferiscono i metodi BDF:

$$\sum_{i=0}^k \alpha_i \mathbf{y}_{n+1-i} = h \mathbf{f}(t_{n+1}, \mathbf{y}_{n+1}) \quad (8.12)$$

Questi sono impliciti e richiedono la risoluzione di equazioni non lineari ad ogni passo.

## 8.5 Integratori Simplettici

### 8.5.1 Meccanica Hamiltoniana

Per sistemi conservativi, le equazioni del moto possono essere scritte in forma hamiltoniana:

$$\dot{\mathbf{q}} = \frac{\partial H}{\partial \mathbf{p}} \quad (8.13)$$

$$\dot{\mathbf{p}} = -\frac{\partial H}{\partial \mathbf{q}} \quad (8.14)$$

dove  $\mathbf{q}$  sono le posizioni,  $\mathbf{p}$  sono i momenti, e  $H$  è l'hamiltoniana (energia totale).

### 8.5.2 Proprietà Simplettica

Un metodo è **simplettico** se preserva la struttura simplettica dello spazio delle fasi. Questo assicura:

- L'energia oscilla attorno al valore vero (nessuna deriva sistematica)
- Stabilità a lungo termine
- Preservazione di strutture geometriche (es., orbite periodiche)

### 8.5.3 Metodo Leapfrog

L'integratore simplettico più semplice è il **leapfrog** (Verlet):

$$\mathbf{v}_{n+1/2} = \mathbf{v}_n + \frac{h}{2} \mathbf{a}_n \quad (8.15)$$

$$\mathbf{r}_{n+1} = \mathbf{r}_n + h \mathbf{v}_{n+1/2} \quad (8.16)$$

$$\mathbf{v}_{n+1} = \mathbf{v}_{n+1/2} + \frac{h}{2} \mathbf{a}_{n+1} \quad (8.17)$$

**Pro:** Simplettico, secondo ordine, semplice **Contro:** Richiede la separazione dell'hamiltoniana, non adatto per forze dipendenti dalla velocità

### 8.5.4 Metodi Simplettici di Ordine Superiore

**Metodo di Yoshida** (simplettico del 4° ordine):

- Composizione di passi leapfrog con coefficienti scelti attentamente
- Usato in simulazioni N-body

**Metodo Wisdom-Holman:**

- Separa l'hamiltoniana in parti kepleriana + perturbazione
- La parte kepleriana è risolta analiticamente
- Le perturbazioni sono gestite con impulsi

I metodi simplettici sono ideali per integrazioni a lungo termine ( $10^6$ - $10^9$  anni) dove la conservazione dell'energia è critica.

## 8.6 Analisi dell'Errore

### 8.6.1 Errore Locale vs Globale

**Errore di troncamento locale (LTE):** Errore introdotto in un singolo passo

**Errore globale:** Errore accumulato dopo molti passi

Per un metodo di ordine  $p$ :

- LTE  $\propto h^{p+1}$
- Errore globale  $\propto h^p$  (su intervallo fisso)

### 8.6.2 Compromesso Accuratezza vs Efficienza

Metodo	Ordine	Eval/passo	Migliore Per
Eulero	1	1	Solo didattica
RK4	4	4	Accuratezza moderata
RKF45	4(5)	6	Uso generale
DOPRI54	5(4)	7	Alta accuratezza
RK78	7(8)	13	Altissima accuratezza
ABM12	12	2	Regolare, alta accuratezza
Leapfrog	2	2	Lungo termine, conservativo

Tabella 8.1: Confronto dei metodi di integrazione numerica.

### 8.6.3 Fonti di Errore

Nella determinazione orbitale, gli errori provengono da:

1. **Errore di troncamento:** Dimensione del passo finita
2. **Errore di arrotondamento:** Aritmetica a precisione finita
3. **Errore nel modello di forze:** Perturbazioni incomplete o inaccurate
4. **Errore nelle effemeridi:** Incertezze nelle posizioni planetarie

Per lavoro ad alta precisione, tutte le fonti devono essere controllate.

## 8.7 Considerazioni Pratiche

### 8.7.1 Scelta di un Integratore

Per determinazione orbitale (giorni ad anni):

- DOPRI54 con dimensione del passo adattiva
- Tolleranza:  $10^{-12}$  a  $10^{-14}$

Per evoluzione a lungo termine (milioni di anni):

- Wisdom-Holman o Yoshida simplettico
- Dimensione del passo fissa (0.1-1 giorno)

Per applicazioni in tempo reale:

- RK4 con dimensione del passo fissa
- Precalcola la dimensione del passo per stabilità

### 8.7.2 Selezione della Dimensione del Passo

Regola empirica:  $h \approx 0.01 \times T_{\text{orbita}}$

Per asteroide a 2.5 AU:

- Periodo  $T \approx 4$  anni = 1461 giorni
- Buona dimensione del passo:  $h \approx 10\text{-}15$  giorni

I metodi adattivi regolano automaticamente  $h$  in base al comportamento locale.

### 8.7.3 Dimensione del Passo Iniziale

Per metodi adattivi, stima della dimensione del passo iniziale:

$$h_0 = 0.01 \times \min \left( \frac{|\mathbf{r}|}{|\dot{\mathbf{r}}|}, \frac{|\dot{\mathbf{r}}|}{|\ddot{\mathbf{r}}|} \right) \quad (8.18)$$

Questo prevede di fare un primo passo troppo grande.

## 8.8 Implementazione in AstDyn

AstDyn fornisce multipli integratori:

```
1 #include <astdyn/integration/Integrator.hpp>
2 #include <astdyn/integration/RK4.hpp>
3 #include <astdyn/integration/DOPRI54.hpp>
4
5 using namespace astdyn;
6
7 // Definisce il sistema ODE
8 auto ode = [] (double t, const Vector6d& y) -> Vector6d {
9     Vector3d r = y.head<3>();
10    Vector3d v = y.tail<3>();
11    Vector3d a = -MU_SUN * r / pow(r.norm(), 3);
12
13    Vector6d dydt;
14    dydt << v, a;
15    return dydt;
16};
17
18 // Stato iniziale
19 Vector6d y0;
20 y0 << 1.0, 0.0, 0.0, // posizione (AU)
21      0.0, 6.28, 0.0; // velocita (AU/day)
22
23 double t0 = 0.0;
24 double tf = 365.25; // 1 anno
25
26 // Opzione 1: RK4 a passo fisso
27 RK4Integrator<Vector6d> rk4;
28 double h = 1.0; // passi di 1 giorno
29 auto result_rk4 = rk4.integrate(ode, t0, y0, tf, h);
30
31 // Opzione 2: DOPRI54 adattivo
32 DOPRI54Integrator<Vector6d> dopri;
33 dopri.set_tolerance(1e-12);
34 auto result_dopri = dopri.integrate(ode, t0, y0, tf);
```

```

36 std::cout << "Posizione finale (RK4):    "
37             << result_rk4.transpose() << "\n";
38 std::cout << "Posizione finale (DOPRI):   "
39             << result_dopri.transpose() << "\n";

```

Listing 8.1: Uso degli integratori in AstDyn

### 8.8.1 Integratori Personalizzati

Gli utenti possono implementare integratori personalizzati ereditando da `IntegratorBase`:

```

1 template<typename StateType>
2 class CustomIntegrator : public IntegratorBase<StateType> {
3 public:
4     StateType integrate(
5         const ODEFunctor<StateType>& f,
6         double t0,
7         const StateType& y0,
8         double tf
9     ) override {
10        // Implementazione qui
11    }
12};

```

Listing 8.2: Interfaccia integratore personalizzato

## 8.9 Sommario

Concetti chiave sull'integrazione numerica:

1. I **metodi Runge-Kutta** sono versatili e auto-avvianti
2. La **dimensione del passo adattiva** (RKF45, DOPRI54) fornisce controllo automatico dell'errore
3. I **metodi multipasso** (ABM) sono efficienti per problemi regolari
4. Gli **integratori simplettici** preservano l'energia per simulazioni a lungo termine
5. Esistono **compromessi** tra accuratezza, efficienza e stabilità

6. La **dimensione del passo** deve essere scelta in base al periodo orbitale e ai requisiti di accuratezza

Comprendere l'integrazione numerica è essenziale per:

- Propagazione accurata dell'orbita
- Bilanciare costo computazionale e precisione
- Evitare artefatti numerici
- Validare i risultati contro soluzioni analitiche

Nel prossimo capitolo, applicheremo questi metodi di integrazione a problemi pratici di propagazione orbitale.

# Capitolo 9

## Propagazione delle Orbite

### 9.1 Introduzione

La **propagazione orbitale** è il processo di calcolo della posizione e velocità di un corpo celeste in epoche future (o passate), dati il suo stato iniziale e le forze agenti su di esso. Questo è fondamentale per:

- Prevedere dove puntare i telescopi per osservazioni di asteroidi
- Pianificare manovre di veicoli spaziali
- Calcolare effemeridi per almanacchi
- Analizzare l'evoluzione orbitale a lungo termine
- Valutare rischi di collisione

Basandosi sui metodi di integrazione del Capitolo 8, questo capitolo descrive la propagazione orbitale pratica in AstDyn.

### 9.2 Formulazione del Problema

#### 9.2.1 Il Compito di Propagazione

Dati:

- Epoca iniziale  $t_0$  (in una scala temporale, tipicamente TDB)
- Stato iniziale  $\mathbf{y}_0 = [\mathbf{r}_0, \mathbf{v}_0]$  (posizione e velocità)

- Modello di forza  $\mathbf{f}(t, \mathbf{r}, \mathbf{v})$  (accelerazioni)
- Epoca finale  $t_f$

Calcolare:

- Stato finale  $\mathbf{y}_f = [\mathbf{r}_f, \mathbf{v}_f]$
- Opzionalmente: matrice di transizione di stato  $\Phi(t_f, t_0)$

### 9.2.2 Vettore di Stato

Per orbite eliocentriche, il vettore di stato è:

$$\mathbf{y} = \begin{bmatrix} x \\ y \\ z \\ \dot{x} \\ \dot{y} \\ \dot{z} \end{bmatrix} \quad (9.1)$$

Unità in AstDyn:

- Posizione: AU (unità astronomiche)
- Velocità: AU/giorno
- Tempo: giorni (MJD o JD)

### 9.2.3 Equazioni del Moto

La forma generale è:

$$\frac{d}{dt} \begin{bmatrix} \mathbf{r} \\ \mathbf{v} \end{bmatrix} = \begin{bmatrix} \mathbf{v} \\ \mathbf{a}(t, \mathbf{r}, \mathbf{v}) \end{bmatrix} \quad (9.2)$$

dove l'accelerazione include:

$$\mathbf{a} = \mathbf{a}_{\text{centrale}} + \mathbf{a}_{\text{pianeti}} + \mathbf{a}_{\text{relatività}} + \mathbf{a}_{\text{SRP}} + \dots \quad (9.3)$$

## 9.3 Modelli di Forza

### 9.3.1 Gravità del Corpo Centrale

Il termine dominante per le orbite del sistema solare:

$$\mathbf{a}_{\text{Sole}} = -\frac{\mu_{\odot}}{r^3} \mathbf{r} \quad (9.4)$$

dove  $\mu_{\odot} = 1.32712440018 \times 10^{20} \text{ m}^3/\text{s}^2 = 0.295912208286 \text{ AU}^3/\text{giorno}^2$ .

### 9.3.2 Perturbazioni Planetarie

Per ogni pianeta perturbatore  $p$ :

$$\mathbf{a}_p = \mu_p \left[ \frac{\mathbf{r}_p - \mathbf{r}}{|\mathbf{r}_p - \mathbf{r}|^3} - \frac{\mathbf{r}_p}{r_p^3} \right] \quad (9.5)$$

Il primo termine è l'attrazione diretta, il secondo è l'effetto indiretto (accelerazione del Sole verso il pianeta).

Le posizioni planetarie  $\mathbf{r}_p(t)$  sono ottenute da:

- Kernel SPICE (JPL DE440/441)
- Teoria analitica VSOP87
- Effemeridi kepleriane semplificate (precisione inferiore)

### 9.3.3 Correzione Relativistica

Termine post-Newtoniano (1PN):

$$\mathbf{a}_{\text{GR}} = \frac{\mu_{\odot}}{c^2 r^3} \left[ 4 \frac{\mu_{\odot}}{r} \mathbf{r} - v^2 \mathbf{r} + 4(\mathbf{r} \cdot \mathbf{v}) \mathbf{v} \right] \quad (9.6)$$

Questo è tipicamente  $\sim 10^{-10} \text{ m/s}^2$  per gli asteroidi, ma si accumula su scale temporali lunghe.

### 9.3.4 Pressione di Radiazione Solare

Per piccoli corpi o veicoli spaziali:

$$\mathbf{a}_{\text{SRP}} = P_{\odot} \frac{A}{m} C_R \left( \frac{r_0}{r} \right)^2 \hat{\mathbf{r}}_{\odot} \quad (9.7)$$

dove:

- $P_{\odot} = 4.56 \times 10^{-6} \text{ N/m}^2$  a 1 AU
- $A/m$  è il rapporto area-massa ( $\text{m}^2/\text{kg}$ )
- $C_R \approx 1.3$  è il coefficiente di pressione di radiazione

### 9.3.5 Perturbazioni Asteroidali

Per lavori di precisione, gli asteroidi massicci (Cerere, Vesta, Pallade) possono perturbare le orbite di particelle test:

$$\mathbf{a}_{\text{ast}} = \sum_i \mu_i \left[ \frac{\mathbf{r}_i - \mathbf{r}}{|\mathbf{r}_i - \mathbf{r}|^3} - \frac{\mathbf{r}_i}{r_i^3} \right] \quad (9.8)$$

Masse dei più grandi asteroidi:

- Cerere:  $9.384 \times 10^{20} \text{ kg}$  ( $\sim 0.0001$  masse terrestri)
- Vesta:  $2.59 \times 10^{20} \text{ kg}$
- Pallade:  $2.04 \times 10^{20} \text{ kg}$

## 9.4 Sistemi di Coordinate

### 9.4.1 Sistemi di Riferimento

AstDyn supporta multipli sistemi di riferimento:

**Eclittico Eliocentrico J2000** Standard per orbite asteroidali (predefinito)

**Equatoriale Eliocentrico J2000** Comune per lavori planetari

**Baricentrico** Baricentro del sistema solare (per alta precisione)

**Topocentrico** Centrato sull'osservatore (per osservazioni)

### 9.4.2 Trasformazioni di Sistema

La rotazione eclittica-equatoriale è:

$$\mathbf{R}_{\text{ecl} \rightarrow \text{eq}} = \begin{bmatrix} 1 & 0 & 0 \\ 0 & \cos \epsilon & -\sin \epsilon \\ 0 & \sin \epsilon & \cos \epsilon \end{bmatrix} \quad (9.9)$$

dove  $\epsilon = 23.43929111^\circ$  è l'obliquità a J2000.0.

## 9.5 Strategia di Integrazione

### 9.5.1 Scelta del Passo

Per integratori adattativi (DOPRI54), stima del passo iniziale:

$$h_0 = 0.01 \times \min \left( \frac{r}{v}, \frac{v}{a} \right) \quad (9.10)$$

Passi tipici:

- Asteroidi vicini alla Terra: 0.1-1 giorno
- Asteroidi della fascia principale: 5-20 giorni
- Troiani di Giove: 10-30 giorni
- Comete (vicino al perielio): 0.01-0.1 giorno

### 9.5.2 Selezione della Tolleranza

Tolleranza di posizione per determinazione orbitale:

- Orbite preliminari:  $10^{-9}$  AU ( $\sim 150$  m)
- Orbite finali:  $10^{-12}$  AU ( $\sim 15$  cm)
- Precisione molto alta:  $10^{-14}$  AU ( $\sim 1.5$  mm)

La tolleranza di velocità è tipicamente  $10^{-3} \times$  tolleranza di posizione.

### 9.5.3 Punti di Output

Tre strategie per l'output:

1. **Output denso:** Memorizza lo stato ad ogni passo di integrazione (molta memoria)
2. **Interpolazione:** Usa interpolazione Hermite tra i passi
3. **Output fisso:** Specifica tempi di output, l'integratore si ferma lì

AstDyn supporta tutte tre le modalità.

## 9.6 Modalità di Propagazione

### 9.6.1 Propagazione in Avanti e all'Indietro

**Propagazione in avanti** ( $t_f > t_0$ ):

- Generazione standard di effemeridi
- Pianificazione missioni
- Previsione impatti

**Propagazione all'indietro** ( $t_f < t_0$ ):

- Ricostruzione storia orbitale
- Ricerca di avvicinamenti passati
- Validazione determinazione orbitale

Gli integratori numerici funzionano ugualmente bene in entrambe le direzioni se il sistema è reversibile nel tempo.

### 9.6.2 Epoca Singola vs Multi-Epoca

**Propagazione epoca singola:**

```

1 Vector6d y0 = ...; // Stato iniziale
2 double t0 = 60000.0; // MJD TDB
3 double tf = 60365.0; // 1 anno dopo
4
5 Propagator prop(force_model);
6 Vector6d yf = prop.propagate(y0, t0, tf);

```

Listing 9.1: Propagazione epoca singola

**Propagazione multi-epoca:**

```

1 std::vector<double> epochs = {60000, 60100, 60200, 60300};
2 std::vector<Vector6d> states = prop.propagate_multi(y0, t0,
    epochs);

```

Listing 9.2: Propagazione multi-epoca

## 9.7 Generazione di Effemeridi

### 9.7.1 Effemeridi Tabulate

Per ricerche ripetute efficienti, creare una tabella:

```

1 EphemerisTable ephem;
2 double t_start = 60000.0;
3 double t_end = 61000.0;
4 double dt = 1.0; // Intervalli di 1 giorno
5
6 for (double t = t_start; t <= t_end; t += dt) {
7     Vector6d state = prop.propagate(y0, t0, t);
8     ephem.add_entry(t, state);
9 }
10
11 // Successivamente: interpola a tempo arbitrario
12 Vector6d state_interp = ephem.interpolate(60123.5);

```

Listing 9.3: Generazione tabella effemeridi

### 9.7.2 Interpolazione di Chebyshev

Per effemeridi ad alta precisione, il JPL usa polinomi di Chebyshev:

$$\mathbf{r}(t) = \sum_{k=0}^n c_k T_k(t') \quad (9.11)$$

dove  $T_k$  sono polinomi di Chebyshev e  $t'$  è normalizzato a  $[-1, 1]$ .

Vantaggi:

- Proprietà minimax (minimizza l'errore massimo)
- Stabile per polinomi di alto grado
- Valutazione veloce

## 9.8 Matrice di Transizione di Stato

### 9.8.1 Definizione

La **matrice di transizione di stato** (STM)  $\Phi(t, t_0)$  relaziona le perturbazioni:

$$\delta\mathbf{y}(t) = \Phi(t, t_0)\delta\mathbf{y}(t_0) \quad (9.12)$$

È una matrice  $6 \times 6$  che soddisfa:

$$\frac{d\Phi}{dt} = \mathbf{A}(t)\Phi, \quad \Phi(t_0, t_0) = \mathbf{I} \quad (9.13)$$

dove  $\mathbf{A} = \partial\mathbf{f}/\partial\mathbf{y}$  è lo Jacobiano.

### 9.8.2 Applicazioni

La STM è essenziale per:

- Determinazione orbitale (correzione differenziale)
- Propagazione covarianza (quantificazione incertezza)
- Analisi di sensibilità
- Ottimizzazione manovre

### 9.8.3 Calcolo

Aumentare il vettore di stato:

$$\tilde{\mathbf{y}} = \begin{bmatrix} \mathbf{y} \\ \text{vec}(\Phi) \end{bmatrix} \quad (9.14)$$

dove  $\text{vec}(\Phi)$  impila i 36 elementi di  $\Phi$  in un vettore.

Il sistema aumentato è:

$$\frac{d\tilde{\mathbf{y}}}{dt} = \begin{bmatrix} \mathbf{f}(\mathbf{y}) \\ \mathbf{A}(\mathbf{y})\text{vec}(\Phi) \end{bmatrix} \quad (9.15)$$

## 9.9 Esempi Pratici

### 9.9.1 Esempio 1: Asteroide della Fascia Principale

Propagare l'asteroide 203 Pompeja per 1 anno:

```

1 #include <astdyn/propagation/Propagator.hpp>
2
3 using namespace astdyn;
4
5 // Elementi orbitali iniziali (da OrbFit)
6 OrbitalElements elements;
7 elements.epoch = 60000.0; // MJD TDB
8 elements.a = 2.743; // AU
9 elements.e = 0.0698;
10 elements.i = 11.78 * DEG_TO_RAD;
11 elements.Omega = 347.60 * DEG_TO_RAD;
12 elements.omega = 59.96 * DEG_TO_RAD;
13 elements.M = 164.35 * DEG_TO_RAD;
14
15 // Converti in Cartesiane
16 Vector6d state0 = elements.to_cartesian();
17
18 // Imposta modello di forza
19 ForceModel forces;
20 forces.enable_planets({"Jupiter", "Saturn", "Mars", "Earth"
    });

```

```
21 forces.enable_relativity(true);  
22  
23 // Crea propagatore  
24 Propagator prop(forces);  
25 prop.set_integrator("DOPRI54");  
26 prop.set_tolerance(1e-12);  
27  
28 // Propaga 1 anno  
29 double t0 = elements.epoch;  
30 double tf = t0 + 365.25;  
31  
32 Vector6d state_final = prop.propagate(state0, t0, tf);  
33  
34 // Riconverti in elementi  
35 OrbitalElements final_elements =  
36     OrbitalElements::from_cartesian(state_final, tf);  
37  
38 std::cout << "a iniziale: " << elements.a << " AU\n";  
39 std::cout << "a finale: " << final_elements.a << " AU\n";  
40 std::cout << "Variazione: " << (final_elements.a - elements  
    .a) * 1e6  
    << " km\n";  
41
```

Listing 9.4: Propagazione di Pompeja

### 9.9.2 Esempio 2: Analisi Avvicinamento Ravvicinato

Trovare la distanza minima dalla Terra:

```
1 double min_distance = 1e99;  
2 double closest_time = 0;  
3  
4 // Propaga con piccoli passi vicino all'incontro con la  
    Terra  
5 for (double t = t_start; t <= t_end; t += 0.01) {  
6     Vector6d asteroid_state = prop.propagate(y0, t0, t);  
7     Vector6d earth_state = ephemeris.get_planet("Earth", t)  
        ;  
8 }
```

```

9     Vector3d rel_pos = asteroid_state.head<3>() -
10    earth_state.head<3>();
11
12    double distance = rel_pos.norm();
13
14    if (distance < min_distance) {
15        min_distance = distance;
16        closest_time = t;
17    }
18
19 std::cout << "Avvicinamento minimo: " << min_distance << "
AU\n";
20 std::cout << "                    " << min_distance *
149597870.7 << " km\n";
21 std::cout << "All'epoca: " << closest_time << " MJD\n";

```

Listing 9.5: Rilevamento avvicinamento ravvicinato

### 9.9.3 Esempio 3: Propagazione di Cometa

Gestire grande eccentricità vicino al perielio:

```

1 // Cometa con e = 0.995, q = 0.1 AU
2 OrbitalElements comet;
3 comet.a = 20.0; // AU (molto eccentrica)
4 comet.e = 0.995;
5 comet.q = comet.a * (1 - comet.e); // distanza perielica
6
7 // Usa passo variabile, tolleranza piu' stretta
8 prop.set_tolerance(1e-14);
9 prop.set_min_step(1e-4); // Permetti passi molto piccoli
10    vicino al perielio
11 prop.set_max_step(30.0); // Passi grandi all'afelio
12
13 Vector6d state0 = comet.to_cartesian();
14 Vector6d state_post_perihelion = prop.propagate(state0, t0,
15         t0 + 180);

```

Listing 9.6: Propagazione cometa

## 9.10 Ottimizzazione delle Prestazioni

### 9.10.1 Selezione del Modello di Forza

Includere solo le perturbazioni necessarie:

Oggetto	Forze Essenziali	Opzionali
Asteroide fascia principale	Sole, Gio, Sat	Marte, Terra, relatività
Asteroide vicino alla Terra	Sole, tutti pianeti	Relatività, asteroidi
Troiano di Giove	Sole, Gio, Sat	Urano, Nettuno
Trans-Nettuniano	Sole, Gio, Sat, Ura, Net	Relatività

Tabella 9.1: Modelli di forza raccomandati per diversi tipi di oggetti.

### 9.10.2 Passo Adattativo vs Fisso

**Passo adattativo** (DOPRI54, RK78):

- Pro: Controllo errore automatico, efficiente
- Contro: Sequenza passi non deterministica
- Uso: Determinazione orbitale, generazione effemeridi

**Passo fisso** (RK4, Leapfrog):

- Pro: Prevedibile, parallelizzabile
- Contro: Deve scegliere passo attentamente
- Uso: Evoluzione lungo termine, simulazioni ensemble

### 9.10.3 Parallelizzazione

Per propagare molti oggetti:

```
1 #include <omp.h>
2
3 std::vector<Vector6d> initial_states = ...;
4 std::vector<Vector6d> final_states(initial_states.size());
5
6 #pragma omp parallel for
7 for (size_t i = 0; i < initial_states.size(); ++i) {
```

```

8 Propagator prop(forces); // Ogni thread ha il suo
9   propagatore
10  final_states[i] = prop.propagate(initial_states[i], t0,
11      tf);
12 }
```

Listing 9.7: Propagazione parallela

## 9.11 Validazione dell'Accuratezza

### 9.11.1 Conservazione dell'Energia

Per sistemi conservativi (no SRP, attrito), l'energia deve essere conservata:

$$E = \frac{v^2}{2} - \frac{\mu}{r} = \text{costante} \quad (9.16)$$

Controllo errore energia:

```

1 double E0 = 0.5 * v0.squaredNorm() - MU_SUN / r0.norm();
2 double Ef = 0.5 * vf.squaredNorm() - MU_SUN / rf.norm();
3 double dE = std::abs(Ef - E0);
4 std::cout << "Errore energia: " << dE / std::abs(E0) * 100
5   << "%\n";
```

Listing 9.8: Controllo energia

Per integratori di alta qualità:  $\Delta E/E < 10^{-10}$

### 9.11.2 Confronto Problema a Due Corpi

Validare contro soluzione kepleriana analitica:

```

1 // Propagazione numerica (con perturbazioni spente)
2 Vector6d state_num = prop.propagate(y0, t0, tf);
3
4 // Propagazione kepleriana analitica
5 OrbitalElements elem0 = OrbitalElements::from_cartesian(y0,
6   t0);
7 elem0.propagate_mean_anomaly(tf - t0);
8 Vector6d state_kep = elem0.to_cartesian();
```

```
9 // Confronta
10 Vector3d pos_diff = state_num.head<3>() - state_kep.head
11 <3>();
12 std::cout << "Differenza posizione: " << pos_diff.norm() *
    AU_TO_KM
    << " km\n";
```

Listing 9.9: Confronto kepleriano

Atteso: < 1 km per archi brevi, < 100 km per 1 anno.

## 9.12 Riepilogo

Concetti chiave sulla propagazione orbitale:

1. La **propagazione** calcola stati futuri/passati da condizioni iniziali
2. I **modelli di forza** devono includere tutte le perturbazioni significative
3. Gli **integratori adattativi** (DOPRI54) bilanciano accuratezza ed efficienza
4. Il **passo** dipende dal periodo orbitale e dall'eccentricità
5. La **matrice di transizione di stato** abilita la determinazione orbitale
6. I **sistemi di riferimento** devono essere consistenti
7. **Validazione** tramite conservazione energia e confronti analitici

Comprendere la propagazione orbitale è essenziale per:

- Generare effemeridi accurate
- Pianificare osservazioni e missioni
- Valutare rischi di collisione
- Studiare dinamica a lungo termine
- Determinazione orbitale (prossimo capitolo)

Nel prossimo capitolo, useremo la propagazione con la matrice di transizione di stato per la determinazione orbitale precisa dalle osservazioni.

# Capitolo 10

## Matrice di Transizione di Stato

### 10.1 Introduzione

La **matrice di transizione di stato** (STM) è fondamentale per la determinazione orbitale, tracciando piccole perturbazioni nel moto orbitale e propagando le incertezze. Questo capitolo sviluppa la teoria matematica e il calcolo pratico della STM.

### 10.2 Fondamenti Matematici

#### 10.2.1 Linearizzazione della Dinamica

Consideriamo la dinamica orbitale generale:

$$\dot{\mathbf{y}} = \mathbf{f}(t, \mathbf{y}) \quad (10.1)$$

dove  $\mathbf{y} = [\mathbf{r}, \mathbf{v}]^T$  è il vettore di stato 6-dimensionale.

Per una traiettoria di riferimento  $\mathbf{y}_{\text{rif}}(t)$  e una traiettoria perturbata  $\mathbf{y}(t)$ , definiamo:

$$\delta\mathbf{y}(t) = \mathbf{y}(t) - \mathbf{y}_{\text{rif}}(t) \quad (10.2)$$

#### 10.2.2 Equazioni Variazionali

Assumendo piccole perturbazioni, linearizziamo:

$$\delta \dot{\mathbf{y}} = \frac{\partial \mathbf{f}}{\partial \mathbf{y}} \Big|_{\mathbf{y}_{\text{rif}}} \delta \mathbf{y} = \mathbf{A}(t) \delta \mathbf{y} \quad (10.3)$$

dove  $\mathbf{A}(t)$  è la matrice Jacobiana  $6 \times 6$ :

$$\mathbf{A} = \begin{bmatrix} \frac{\partial \mathbf{f}_r}{\partial \mathbf{r}} & \frac{\partial \mathbf{f}_r}{\partial \mathbf{v}} \\ \frac{\partial \mathbf{f}_v}{\partial \mathbf{r}} & \frac{\partial \mathbf{f}_v}{\partial \mathbf{v}} \end{bmatrix} = \begin{bmatrix} \mathbf{0}_{3 \times 3} & \mathbf{I}_{3 \times 3} \\ \frac{\partial \mathbf{a}}{\partial \mathbf{r}} & \frac{\partial \mathbf{a}}{\partial \mathbf{v}} \end{bmatrix} \quad (10.4)$$

### 10.2.3 Definizione Matrice di Transizione di Stato

La **matrice di transizione di stato**  $\Phi(t, t_0)$  è la soluzione di:

$$\frac{d\Phi}{dt} = \mathbf{A}(t)\Phi(t, t_0), \quad \Phi(t_0, t_0) = \mathbf{I}_{6 \times 6} \quad (10.5)$$

Essa relaziona le perturbazioni di stato a tempi diversi:

$$\delta \mathbf{y}(t) = \Phi(t, t_0) \delta \mathbf{y}(t_0) \quad (10.6)$$

### 10.2.4 Proprietà

La STM ha proprietà importanti:

1. **Identità a  $t_0$ :**  $\Phi(t_0, t_0) = \mathbf{I}$
2. **Composizione:**  $\Phi(t_2, t_0) = \Phi(t_2, t_1)\Phi(t_1, t_0)$
3. **Inversa:**  $\Phi(t_0, t) = \Phi^{-1}(t, t_0)$
4. **Determinante:**  $\det[\Phi(t, t_0)] = \exp \left[ \int_{t_0}^t \text{tr}(\mathbf{A}(\tau)) d\tau \right]$

Per sistemi conservativi (Hamiltoniani), la STM è simplettica:  $\Phi^T \mathbf{J} \Phi = \mathbf{J}$  dove  $\mathbf{J}$  è la matrice simplettica.

## 10.3 Calcolo della Matrice Jacobiana

### 10.3.1 Problema dei Due Corpi

Per il problema kepleriano non perturbato:

$$\mathbf{a} = -\frac{\mu}{r^3} \mathbf{r} \quad (10.7)$$

Le derivate parziali dell'accelerazione sono:

$$\frac{\partial \mathbf{a}}{\partial \mathbf{r}} = -\frac{\mu}{r^3} \left[ \mathbf{I} - 3 \frac{\mathbf{r}\mathbf{r}^T}{r^2} \right] \quad (10.8)$$

$$\frac{\partial \mathbf{a}}{\partial \mathbf{v}} = \mathbf{0}_{3 \times 3} \quad (10.9)$$

Quindi:

$$\mathbf{A}_{2\text{-corpi}} = \begin{bmatrix} \mathbf{0} & \mathbf{I} \\ -\frac{\mu}{r^3} \left[ \mathbf{I} - 3 \frac{\mathbf{r}\mathbf{r}^T}{r^2} \right] & \mathbf{0} \end{bmatrix} \quad (10.10)$$

### 10.3.2 Perturbazioni N-Corpi

Per perturbazioni planetarie, l'accelerazione è:

$$\mathbf{a}_p = \mu_p \left[ \frac{\mathbf{r}_p - \mathbf{r}}{|\mathbf{r}_p - \mathbf{r}|^3} - \frac{\mathbf{r}_p}{r_p^3} \right] \quad (10.11)$$

La derivata parziale rispetto alla posizione:

$$\frac{\partial \mathbf{a}_p}{\partial \mathbf{r}} = -\frac{\mu_p}{d^3} \left[ \mathbf{I} - 3 \frac{\mathbf{d}\mathbf{d}^T}{d^2} \right] \quad (10.12)$$

dove  $\mathbf{d} = \mathbf{r}_p - \mathbf{r}$  e  $d = |\mathbf{d}|$ .

### 10.3.3 Correzioni Relativistiche

L'accelerazione post-Newtoniana include termini dipendenti dalla velocità:

$$\mathbf{a}_{\text{GR}} = \frac{\mu}{c^2 r^3} \left[ 4 \frac{\mu}{r} \mathbf{r} - v^2 \mathbf{r} + 4(\mathbf{r} \cdot \mathbf{v}) \mathbf{v} \right] \quad (10.13)$$

Sia  $\partial \mathbf{a}_{\text{GR}} / \partial \mathbf{r}$  che  $\partial \mathbf{a}_{\text{GR}} / \partial \mathbf{v}$  sono non-zero.

Per la posizione:

$$\frac{\partial \mathbf{a}_{\text{GR}}}{\partial \mathbf{r}} = \frac{\mu}{c^2 r^3} \left[ -v^2 \mathbf{I} + 4(\mathbf{v}\mathbf{v}^T) + (\text{termini ordine superiore}) \right] \quad (10.14)$$

Per la velocità:

$$\frac{\partial \mathbf{a}_{\text{GR}}}{\partial \mathbf{v}} = \frac{\mu}{c^2 r^3} \left[ -2v\mathbf{r}\mathbf{v}^T + 4\mathbf{v}\mathbf{r}^T + 4(\mathbf{r} \cdot \mathbf{v}) \mathbf{I} \right] \quad (10.15)$$

### 10.3.4 Pressione di Radiazione Solare

Per SRP con rapporto area-massa costante:

$$\mathbf{a}_{\text{SRP}} = P_{\odot} \frac{A}{m} C_R \left( \frac{r_0}{r} \right)^2 \hat{\mathbf{r}} \quad (10.16)$$

La parziale è:

$$\frac{\partial \mathbf{a}_{\text{SRP}}}{\partial \mathbf{r}} = P_{\odot} \frac{A}{m} C_R r_0^2 \left[ \frac{\mathbf{I}}{r^3} - 3 \frac{\mathbf{r} \mathbf{r}^T}{r^5} \right] \quad (10.17)$$

## 10.4 Calcolo Numerico

### 10.4.1 Vettore di Stato Aumentato

Per calcolare la STM numericamente, aumentiamo il vettore di stato:

$$\tilde{\mathbf{y}} = \begin{bmatrix} \mathbf{y} \\ \text{vec}(\Phi) \end{bmatrix} \in \mathbb{R}^{42} \quad (10.18)$$

dove  $\text{vec}(\Phi)$  impila i 36 elementi di  $\Phi$  per colonne.

### 10.4.2 Dinamica Aumentata

Il sistema aumentato è:

$$\frac{d\tilde{\mathbf{y}}}{dt} = \begin{bmatrix} \mathbf{f}(\mathbf{y}) \\ \text{vec}(\mathbf{A}(\mathbf{y})\Phi) \end{bmatrix} \quad (10.19)$$

In pratica, integriamo:

- 6 equazioni per lo stato  $\mathbf{y}$
- 36 equazioni per gli elementi STM
- Totale: 42 ODE accoppiate

### 10.4.3 Implementazione in AstDyn

```
1 #include <astdyn/propagation/Propagator.hpp>
2
3 using namespace astdyn;
```

```

4
5 Vector6d y0 = ...; // Stato iniziale
6 double t0 = 60000.0;
7 double tf = 60100.0;
8
9 Propagator prop(force_model);
10 prop.enable_stm(true); // Abilita calcolo STM
11
12 // Propaga stato e STM
13 auto result = prop.propagate_with_stm(y0, t0, tf);
14
15 Vector6d yf = result.state;
16 Matrix6d Phi = result.stm; // Matrice 6x6 di transizione
17           stato
18
19 std::cout << "Determinante STM: " << Phi.determinant() << "\n";
20 std::cout << "Numero condizione STM: "
21           << Phi.norm() * Phi.inverse().norm() << "\n";

```

Listing 10.1: Propagazione STM

#### 10.4.4 Costo Computazionale

Il calcolo STM aumenta il costo computazionale:

Calcolo	Equazioni Stato	Fattore Tempo CPU
Solo stato	6	1.0×
Stato + STM	42	5-7×
Stato + STM + sensibilità	$42 + 6N_p$	10-15×

Tabella 10.1: Costo computazionale propagazione STM.  $N_p$  è il numero di parametri.

## 10.5 Applicazioni

### 10.5.1 Determinazione Orbitale

Nella correzione differenziale (fit orbitale minimi quadrati), necessitiamo:

$$\frac{\partial \mathbf{y}(t_{\text{oss}})}{\partial \mathbf{y}(t_0)} = \Phi(t_{\text{oss}}, t_0) \quad (10.20)$$

Questo relaziona le osservazioni alle condizioni iniziali, abilitando il raffinamento orbitale iterativo.

### 10.5.2 Propagazione Covarianza

Data la covarianza iniziale  $\mathbf{P}_0$ , la covarianza al tempo  $t$  è:

$$\mathbf{P}(t) = \Phi(t, t_0)\mathbf{P}_0\Phi^T(t, t_0) \quad (10.21)$$

Questo quantifica la crescita dell'incertezza nel tempo.

Esempio:

```

1 Matrix6d P0 = initial_covariance(); // km^2, (km/s)^2
2 Matrix6d Phi = result.stm;
3
4 Matrix6d Pf = Phi * P0 * Phi.transpose();
5
6 // Incertezza posizione al tempo finale
7 Vector3d sigma_pos = Pf.block<3,3>(0,0).diagonal().
8     cwiseSqrt();
9 std::cout << "Incertezza posizione: "
10    << sigma_pos.transpose() << " km\n";

```

Listing 10.2: Propagazione covarianza

### 10.5.3 Analisi di Sensibilità

La STM rivela come le perturbazioni nelle condizioni iniziali influenzano gli stati futuri:

$$\frac{\partial r(t)}{\partial r_0} = \Phi_{11}(t, t_0), \quad \frac{\partial r(t)}{\partial v_0} = \Phi_{12}(t, t_0) \quad (10.22)$$

Questi sono i blocchi  $3 \times 3$  superiore-sinistro e superiore-destro di  $\Phi$ .

### 10.5.4 Ottimizzazione Manovre

Per la progettazione di traiettorie spaziali, la STM aiuta a calcolare:

- Matrici di puntamento (dove mirare per colpire un bersaglio)
- Requisiti  $\Delta v$
- Sensibilità a errori di esecuzione

## 10.6 STM Analitica vs Numerica

### 10.6.1 STM Analitica per Moto Kepleriano

Per il problema non perturbato dei due corpi, esistono soluzioni in forma chiusa.  
La STM può essere espressa in termini di elementi orbitali e loro derivate.

Vantaggi:

- Esatta (nessun errore numerico)
- Veloce da valutare
- Valida per lunghi intervalli temporali

Svantaggi:

- Formule complesse (specialmente vicino a singolarità)
- Non include perturbazioni
- Uso pratico limitato

### 10.6.2 STM Numerica

Integrando numericamente le equazioni variazionali:

Vantaggi:

- Gestisce modelli di forza arbitrari
- Implementazione diretta
- Include tutte le perturbazioni

Svantaggi:

- Accumulo errore numerico
- $7\times$  più lenta della propagazione solo-stato
- Mal condizionamento per archi lunghi

### 10.6.3 Approcci Ibridi

Per alcune applicazioni, usare:

1. STM analitica per parte kepleriana
2. Correzioni perturbazione numeriche
3. Composizione transizione stato

## 10.7 Stabilità Numerica

### 10.7.1 Problemi di Condizionamento

La STM diventa mal condizionata per:

- Tempi di propagazione lunghi ( $>$  diversi periodi orbitali)
- Orbite ad alta eccentricità
- Moto quasi-rettilineo

Crescita del numero di condizione:

$$\kappa(\Phi) \approx \exp(\lambda_{\max} \Delta t) \quad (10.23)$$

dove  $\lambda_{\max}$  è il più grande esponente di Lyapunov.

### 10.7.2 Strategie di Mitigazione

#### 1. Rilinearizzazione

Invece di propagare da  $t_0$  a  $t_f$ , dividere in segmenti:

$$\Phi(t_f, t_0) = \Phi(t_f, t_2)\Phi(t_2, t_1)\Phi(t_1, t_0) \quad (10.24)$$

Ogni segmento ha migliore condizionamento.

#### 2. Transizione stato in elementi orbitali

Invece della STM cartesiana, usare:

$$\frac{\partial \mathbf{e}(t)}{\partial \mathbf{e}(t_0)} \quad (10.25)$$

dove  $\mathbf{e} = [a, e, i, \Omega, \omega, M]$  sono elementi orbitali.

### 3. Regolarizzazione

Usare coordinate regolarizzate (Kustaanheimo-Stiefel, Sperling-Burdet) che si comportano meglio vicino al periassese.

## 10.8 Esempio Pratico

### 10.8.1 Tracciamento Bersaglio

Tracciare l'incertezza nella posizione asteroidale per valutazione impatto:

```

1 // Stato iniziale da determinazione orbitale
2 Vector6d y0 = {1.1, 0.2, 0.05, -0.01, 0.03, 0.0}; // AU,
   AU/giorno
3
4 // Covarianza iniziale (da fit minimi quadrati)
5 Matrix6d P0 = Matrix6d::Zero();
6 P0.diagonal() << 1e-8, 1e-8, 1e-9, // pos: 1500 km
   1e-11, 1e-11, 1e-12; // vel: 0.15 m/s
7
8
9 ForceModel forces;
10 forces.enable_planets({"Earth", "Jupiter", "Venus", "Mars"
   });
11
12 Propagator prop(forces);
13 prop.enable_stm(true);
14
15 // Propaga 10 anni
16 double t0 = 60000.0;
17 double tf = t0 + 3652.5; // 10 anni
18
19 auto result = prop.propagate_with_stm(y0, t0, tf);
20
21 // Calcola incertezza al tempo futuro
22 Matrix6d Pf = result.stm * P0 * result.stm.transpose();
23
24 // Incertezza posizione (3-sigma)
25 Vector3d sigma_3 = 3.0 * Pf.block<3,3>(0,0).diagonal().
   cwiseSqrt();

```

```

26 std::cout << "Incognita posizione (3-sigma): \n";
27 std::cout << sigma_3.transpose() * AU_TO_KM << " km\n";
28
29 // Controlla avvicinamento ravvicinato Terra
30 Vector6d earth_state = ephemeris.get_planet("Earth", tf);
31 Vector3d rel_pos = result.state.head<3>() - earth_state.
32     head<3>();
33 double distance = rel_pos.norm() * AU_TO_KM;
34
35 std::cout << "Distanza dalla Terra: " << distance << " km\n"
36     ";
37 std::cout << "Probabilita' impatto (Gaussiana): ";
38 if (distance < 3.0 * sigma_3.norm() * AU_TO_KM) {
39     std::cout << "NON-ZERO - richiesta ulteriore analisi\n"
40         ;
41 } else {
42     std::cout << "Trascurabile\n";
43 }

```

Listing 10.3: Propagazione incertezza asteroide

## 10.8.2 Pianificazione Osservazioni

Determinare tempi ottimali di osservazione per ridurre incertezza:

```

1 // Propaga con STM a epoche osservative multiple
2 std::vector<double> obs_times = {t0 + 30, t0 + 60, t0 +
3     90};
4
5 for (double t_obs : obs_times) {
6     auto result = prop.propagate_with_stm(y0, t0, t_obs);
7     Matrix6d P = result.stm * P0 * result.stm.transpose();
8
9     // Incertezza RA/Dec da incertezza posizione
10    Vector3d r = result.state.head<3>();
11    double dec = std::asin(r(2) / r.norm());
12    double ra = std::atan2(r(1), r(0));

```

```

13 // Approssimazione semplice (calcolo completo usa
14 // parziali osservazione)
15 double sigma_ra = P(0,0) / (r.norm() * std::cos(dec));
16 double sigma_dec = P(2,2) / r.norm();
17
18 std::cout << "Epoca " << t_obs << ":" 
19             << "sigma_RA = " << sigma_ra * RAD_TO_ARCSEC
20             << " arcosec, "
21             << "sigma_Dec = " << sigma_dec *
22             RAD_TO_ARCSEC << " arcosec\n";
23 }
```

Listing 10.4: Pianificazione osservazioni

## 10.9 Sensibilità Parametri

### 10.9.1 Vettore di Stato Esteso

Per studiare la sensibilità a parametri dinamici (es.  $\mu$ ,  $C_R$ , masse asteroidi), aumentare lo stato:

$$\tilde{\mathbf{y}} = \begin{bmatrix} \mathbf{y} \\ \mathbf{p} \end{bmatrix} \quad (10.26)$$

dove  $\mathbf{p}$  sono parametri. Quindi:

$$\frac{d}{dt} \begin{bmatrix} \mathbf{y} \\ \mathbf{p} \end{bmatrix} = \begin{bmatrix} \mathbf{f}(\mathbf{y}, \mathbf{p}) \\ \mathbf{0} \end{bmatrix} \quad (10.27)$$

La STM estesa include  $\partial\mathbf{y}/\partial\mathbf{p}$ .

### 10.9.2 Matrici di Sensibilità

Definire matrice di sensibilità:

$$\mathbf{S}(t) = \frac{\partial \mathbf{y}(t)}{\partial \mathbf{p}} \quad (10.28)$$

Essa soddisfa:

$$\frac{d\mathbf{S}}{dt} = \mathbf{A}(t)\mathbf{S} + \frac{\partial \mathbf{f}}{\partial \mathbf{p}} \quad (10.29)$$

Questo rivela come il moto orbitale dipende dai parametri fisici.

## 10.10 Riepilogo

Concetti chiave sulla matrice di transizione di stato:

1. La **STM**  $\Phi(t, t_0)$  propaga linearmente piccole perturbazioni
2. Soddisfa le **equazioni variazionali**:  $\dot{\Phi} = \mathbf{A}(t)\Phi$
3. La **matrice Jacobiana**  $\mathbf{A}$  contiene derivate del modello di forza
4. Il **calcolo numerico** richiede integrazione di 42 ODE (6 stato + 36 STM)
5. **Applicazioni**: determinazione orbitale, propagazione covarianza, analisi sensibilità
6. Il **condizionamento** degrada per archi lunghi; usare rilinearizzazione
7. La **STM estesa** include sensibilità parametri

Comprendere la STM è essenziale per:

- Determinazione orbitale precisa (Capitolo 14)
- Quantificazione incertezza
- Progettazione missioni e puntamento
- Stima parametri
- Valutazione probabilità impatto

Il prossimo capitolo copre il calcolo di effemeridi e metodi di interpolazione per ricerca efficiente dello stato.

# Capitolo 11

## Calcolo di Effemeridi

### 11.1 Introduzione

Un'effemeride (plurale: *effemeridi*) è una tabella o funzione che fornisce posizioni (e optionalmente velocità) di corpi celesti a tempi specifici. Effemeridi accurate sono essenziali per:

- Calcolare posizioni previste per osservazioni
- Ridurre misure astrometriche
- Pianificare missioni spaziali
- Analizzare avvicinamenti ravvicinati
- Studiare dinamica orbitale

Questo capitolo copre metodi per generare, memorizzare e interpolare effemeridi efficientemente.

### 11.2 Tipi di Effemeridi

#### 11.2.1 Effemeridi Planetarie

I pianeti maggiori richiedono la massima accuratezza:

**JPL Development Ephemerides (DE)** Integrazione numerica del sistema solare, inclusi Luna e grandi asteroidi. Attuali: DE440 (ottimizzazione Terra-Luna), DE441 (sistema solare esterno).

**VSOP87** Teoria analitica del Bureau des Longitudes. Espansione in serie in elementi orbitali. Accuratezza:  $\sim 1$  arcosec su millenni.

**INPOP** Effemeride francese dell'IMCCE, ottimizzata per ranging radar planetario.

### 11.2.2 Effemeridi di Piccoli Corpi

Asteroidi e comete:

- Calcolate da elementi orbitali via propagazione
- Archiviate nel database MPC (Minor Planet Center)
- Precisione variabile: 0.1 arcosec (ben osservati) a 10 arcmin (singola opposizione)

### 11.2.3 Effemeridi di Veicoli Spaziali

Missioni interplanetarie:

- Kernel SPICE (file SPK) dai team di navigazione
- Segmenti polinomiali Chebyshev
- Accuratezza a livello di metro per fasi di avvicinamento

## 11.3 Rappresentazioni di Effemeridi

### 11.3.1 Formato Tabulato

Rappresentazione più semplice: coppie discrete tempo-stato.

MJD (TDB)	$x$ (AU)	$y$ (AU)	$z$ (AU)	$\dot{x}$	$\dot{y}$	$\dot{z}$
60000.0	1.234	0.567	0.123	-0.012	0.015	0.003
60001.0	1.222	0.582	0.126	-0.012	0.015	0.003
60002.0	1.210	0.597	0.129	-0.012	0.015	0.003
:	:	:	:	:	:	:

Tabella 11.1: Esempio effemeride tabulata con spaziatura di 1 giorno.

Vantaggi:

- Facile da implementare
- Ricerca diretta per tempi tabulati

**Svantaggi:**

- Ampia memorizzazione per alta cadenza
- Richiede interpolazione tra punti
- Griglia temporale fissa (inefficiente per orbite eccentriche)

### 11.3.2 Rappresentazione Polinomiale

Rappresentare la posizione come polinomio:

$$\mathbf{r}(t) = \sum_{k=0}^n \mathbf{c}_k (t - t_0)^k \quad (11.1)$$

Tipicamente usata a tratti su segmenti (spline).

### 11.3.3 Polinomi di Chebyshev

Metodo preferito del JPL. Per intervallo temporale  $[t_a, t_b]$ , rappresentare:

$$\mathbf{r}(t) = \sum_{k=0}^n \mathbf{a}_k T_k \left( \frac{2t - t_a - t_b}{t_b - t_a} \right) \quad (11.2)$$

dove  $T_k(x)$  sono polinomi di Chebyshev:

$$T_0(x) = 1, \quad T_1(x) = x, \quad T_k(x) = 2xT_{k-1}(x) - T_{k-2}(x) \quad (11.3)$$

**Proprietà:**

- Distribuzione errore minimax (approssimazione ottimale)
- Stabile per alti gradi ( $n \sim 15$ )
- Valutazione efficiente via ricorrenza

### 11.3.4 Serie di Fourier

Per orbite quasi circolari:

$$\mathbf{r}(t) = \sum_{k=-N}^N \mathbf{c}_k e^{ik\omega t} \quad (11.4)$$

Usata in teorie planetarie analitiche (VSOP87).

## 11.4 Metodi di Interpolazione

### 11.4.1 Interpolazione Lineare

Dati punti  $(t_1, \mathbf{r}_1)$  e  $(t_2, \mathbf{r}_2)$ :

$$\mathbf{r}(t) = \mathbf{r}_1 + \frac{t - t_1}{t_2 - t_1} (\mathbf{r}_2 - \mathbf{r}_1) \quad (11.5)$$

**Accuratezza:** Primo ordine, errore  $O(h^2)$  dove  $h = t_2 - t_1$ .

**Uso:** Ricerche veloci quando alta precisione non richiesta ( $> 1$  km accettabile).

### 11.4.2 Interpolazione di Lagrange

Usare  $n + 1$  punti per costruire polinomio di grado  $n$ :

$$\mathbf{r}(t) = \sum_{i=0}^n \mathbf{r}_i L_i(t) \quad (11.6)$$

dove i polinomi base di Lagrange sono:

$$L_i(t) = \prod_{\substack{j=0 \\ j \neq i}}^n \frac{t - t_j}{t_i - t_j} \quad (11.7)$$

**Scelta tipica:**  $n = 6$  a 10 (ordine 7 a 11).

**Accuratezza:** Per ordine 8 con spaziatura 1 giorno, errore  $\sim 10$  m per orbite asteroidali tipiche.

### 11.4.3 Interpolazione di Hermite

Usa sia posizioni che velocità. Per intervallo  $[t_1, t_2]$ :

$$\mathbf{r}(t) = \mathbf{r}_1 H_0(s) + \mathbf{r}_2 H_1(s) + h \dot{\mathbf{r}}_1 H_2(s) + h \dot{\mathbf{r}}_2 H_3(s) \quad (11.8)$$

dove  $s = (t - t_1)/h$ ,  $h = t_2 - t_1$ , e le funzioni base di Hermite sono:

$$H_0(s) = (1 + 2s)(1 - s)^2 \quad (11.9)$$

$$H_1(s) = s^2(3 - 2s) \quad (11.10)$$

$$H_2(s) = s(1 - s)^2 \quad (11.11)$$

$$H_3(s) = s^2(s - 1) \quad (11.12)$$

**Vantaggi:**

- Accuratezza cubica ( $O(h^4)$ )
- Velocità lisce (derivata prima continua)
- Richiede solo due punti

**Accuratezza:** Con spaziatura 1 giorno, errore  $\sim 1$  m per orbite ben comportate.

#### 11.4.4 Interpolazione Spline

Le spline cubiche forniscono interpolazione liscia attraverso tutti i punti con derivate seconde continue.

Per punti  $(t_i, \mathbf{r}_i)$ ,  $i = 0, \dots, n$ , costruire cubiche a tratti  $\mathbf{s}_i(t)$  su  $[t_i, t_{i+1}]$  tali che:

- $\mathbf{s}_i(t_i) = \mathbf{r}_i$  (interpolazione)
- $\mathbf{s}'_i(t_{i+1}) = \mathbf{s}'_{i+1}(t_{i+1})$  (derivata prima continua)
- $\mathbf{s}''_i(t_{i+1}) = \mathbf{s}''_{i+1}(t_{i+1})$  (derivata seconda continua)

**Uso:** Quando accelerazione liscia è importante (propagazione covarianza).

## 11.5 Sistema SPICE

### 11.5.1 Panoramica

SPICE (Spacecraft Planet Instrument C-matrix Events) è il toolkit standard NASA per geometria missioni spaziali:

**SPK** (Kernel effemeridi) Posizione e velocità

**CK** (Kernel orientamento) Assetto veicolo spaziale

**PCK** (Kernel costanti) Parametri fisici, forme corpi

**IK** (Kernel strumento) FOV, boresight

**FK** (Kernel frame) Definizioni sistemi riferimento

**LSK** (Kernel secondi intercalari) Conversioni tempo

### 11.5.2 File SPK

File binari contenenti segmenti polinomiali Chebyshev o Hermite.

**Uso in AstDyn:**

```
1 #include <astdyn/ephemeris/SpiceInterface.hpp>
2
3 SpiceInterface spice;
4 spice.load_kernel("de440.bsp"); // Effemeride planetaria
5 spice.load_kernel("codes_300ast_20100725.bsp"); // 
6   Asteroidi
7
8 // Interroga posizione Giove all'epoca
9 double et = spice.mjd_to_et(60000.0); // Converti MJD in
10 ET
11 Vector6d jupiter_state = spice.get_state("JUPITER", et, "
12 ECLIPJ2000", "SUN");
13
14 std::cout << "Posizione Giove: " << jupiter_state.head<3>()
15   .transpose()
16   << " km\n";
```

Listing 11.1: Caricamento kernel SPICE

### 11.5.3 ID NAIF

SPICE usa ID interi:

- Sole: 10
- Pianeti: 199 (Mercurio), 299 (Venere), 399 (Terra), 499 (Marte), 599 (Giove), ecc.
- Luna: 301

- Asteroidi: 2000001 (Cerere), 2000004 (Vesta), 2000203 (Pompeja)

## 11.6 Effemeridi Planetarie

### 11.6.1 JPL Development Ephemerides

**DE440/441** (rilasciate 2020):

- Coprono anni 1550–2650
- Includono Sole, pianeti, Luna, Plutone, 343 asteroidi
- Fit a dati ranging (missioni Marte), VLBI, LLR
- Accuratezza:  $\sim 1$  km per pianeti interni,  $\sim 10$  km per pianeti esterni

**Dimensioni file:**

- DE440: 114 MB (standard)
- DE441: 3.2 GB (include Luna alta frequenza)

### 11.6.2 VSOP87

Serie analitica sviluppata da Bretagnon & Francou (1988).

**Varianti:**

**VSOP87A** Rettangolare eliocentrico, eclittica J2000

**VSOP87B** Rettangolare eliocentrico, equatoriale J2000

**VSOP87C** Sferico eliocentrico (eclittica/equinozio medio della data)

**VSOP87D** Sferico eliocentrico (eclittica J2000)

**VSOP87E** Rettangolare baricentrico, eclittica J2000

**Implementazione:**

```
1 #include <astdyn/ephemeris/VSOP87.hpp>
2
3 VSOP87 vsop;
4 double jd = 2460000.5; // Data giuliana
5
```

```

6 // Posizione Terra (VSOP87A: eliocentrica eclittica J2000)
7 Vector3d earth_pos = vsop.get_position("Earth", jd,
8     VSOP87_A);
9 std::cout << "Posizione Terra: " << earth_pos.transpose()
10    << " AU\n";
11
12 // Stima accuratezza
13 double error_km = vsop.estimated_error("Earth", jd);
14 std::cout << "Errore posizione: ~" << error_km << " km\n";

```

Listing 11.2: Uso VSOP87

**Accuratezza:**  $\sim 1$  km per pianeti interni su  $\pm 2000$  anni da J2000.

### 11.6.3 Confronto

Metodo	Accuratezza	Velocità	Dimensione File
DE440 (SPICE)	1–10 km	Veloce	114 MB
VSOP87	1–5 km	Media	$\sim 1$ MB (codice)
Kepleriana	100–1000 km	Molto veloce	Trascurabile

Tabella 11.2: Confronto effemeridi planetarie.

## 11.7 Correzioni Tempo-Luce

### 11.7.1 Posizione Geometrica vs Apparente

La luce viaggia a velocità finita  $c = 299792.458$  km/s, quindi osserviamo i pianeti dove *erano*, non dove *sono*.

**Tempo-luce:**

$$\tau = \frac{|\mathbf{r}_{\text{pianeta}} - \mathbf{r}_{\text{oss}}|}{c} \quad (11.13)$$

Valori tipici:

- Sole: 8.3 minuti
- Giove: 30–50 minuti
- Saturno: 70–90 minuti
- Nettuno: 4 ore

### 11.7.2 Correzione Iterativa

Per trovare la **posizione apparente** al tempo osservativo  $t_{\text{oss}}$ :

1. Inizia con posizione geometrica:  $\mathbf{r}_0 = \mathbf{r}_{\text{pianeta}}(t_{\text{oss}})$
2. Calcola tempo-luce:  $\tau_0 = |\mathbf{r}_0 - \mathbf{r}_{\text{oss}}|/c$
3. Aggiorna:  $\mathbf{r}_1 = \mathbf{r}_{\text{pianeta}}(t_{\text{oss}} - \tau_0)$
4. Itera fino a convergenza:  $|\tau_{i+1} - \tau_i| < 10^{-6}$  s

Tipicamente converge in 2–3 iterazioni.

### 11.7.3 Implementazione

```

1  Vector3d compute_apparent_position(
2      const EphemerisInterface& ephem,
3      const std::string& target,
4      double t_obs,
5      const Vector3d& observer_pos)
6  {
7      const double c_AU_per_day = 173.1446326846693; // 
8          Velocita' luce
9
10     Vector3d r_geom = ephem.get_position(target, t_obs);
11     double tau = (r_geom - observer_pos).norm() /
12         c_AU_per_day;
13
14     // Itera correzione tempo-luce
15     for (int iter = 0; iter < 5; ++iter) {
16
17         Vector3d r_new = ephem.get_position(target, t_obs -
18             tau);
19         double tau_new = (r_new - observer_pos).norm() /
20             c_AU_per_day;
21
22         if (std::abs(tau_new - tau) < 1e-10) break; //
23             Convergenza
24         tau = tau_new;
25     }

```

```
20  
21     return ephem.get_position(target, t_obs - tau);  
22 }
```

Listing 11.3: Correzione tempo-luce

### 11.7.4 Aberrazione

Il moto dell'osservatore causa **aberrazione stellare** aggiuntiva:

$$\Delta\theta \approx \frac{v_{\text{oss}}}{c} \quad (11.14)$$

Per moto orbitale terrestre ( $v \approx 30 \text{ km/s}$ ):  $\Delta\theta \approx 20.5 \text{ arcosec}$  (aberrazione annua).

Correzione:

$$\hat{\mathbf{r}}_{\text{aberrato}} = \hat{\mathbf{r}} + \frac{\mathbf{v}_{\text{oss}}}{c} \quad (11.15)$$

## 11.8 Generazione Pratica Effemeridi

### 11.8.1 Considerazioni di Progetto

Scegliere parametri effemeride in base ai requisiti:

Applicazione	Spaziatura	Interpolazione	Accuratezza
Magnitudine visuale	10 giorni	Lineare	0.1 mag
Puntamento telescopio	1 giorno	Hermite	1 arcosec
Determinazione orbitale	1 ora	Lagrange-9	0.01 arcosec
Avvicinamento ravvicinato	1 minuto	Chebyshev	1 metro

Tabella 11.3: Requisiti effemeride per diverse applicazioni.

### 11.8.2 Flusso Generazione

```
1 #include <astdyn/ephemeris/EphemerisGenerator.hpp>  
2  
3 // Definisci intervallo temporale  
4 double t_start = 60000.0; // MJD  
5 double t_end = 60365.0; // 1 anno
```

```

6  double dt = 1.0;                      // Spaziatura 1 giorno
7
8 // Imposta propagatore
9 ForceModel forces;
10 forces.enable_planets({"Jupiter", "Saturn", "Mars"});
11 Propagator prop(forces);
12
13 // Stato iniziale da elementi orbitali
14 OrbitalElements elem = load_orbit("203_Pompeja.oe");
15 Vector6d y0 = elem.to_cartesian();
16
17 // Genera effemeride
18 EphemerisGenerator gen(prop);
19 auto ephem = gen.generate(y0, elem.epoch, t_start, t_end,
20                           dt);
21
22 // Salva su file
23 ephem.save("pompeja_ephemeris.txt");
24
25 // Successivamente: interpola a tempo arbitrario
26 Vector6d state_interp = ephem.interpolate(60123.456,
27                                              HERMITE);

```

Listing 11.4: Generazione effemeride

### 11.8.3 Validazione

Validare sempre le effemeridi:

1. Confronta con effemeridi pubblicate (MPC, JPL Horizons)
2. Controlla conservazione energia (se applicabile)
3. Verifica velocità lisce (nessun salto)
4. Testa errore interpolazione contro propagazione

## 11.9 Memorizzazione Efficiente

### 11.9.1 Formati Binari

Per effemeridi grandi, usare binario:

- HDF5: Gerarchico, compresso, auto-descrittivo
- FITS: Standard in astronomia, buon supporto strumenti
- Binario custom: Massima efficienza, richiede documentazione

**Dimensioni esempio** (1 anno, spaziatura 1 giorno):

- ASCII: 350 KB
- Binario (double): 18 KB
- Binario compresso: 5 KB

### 11.9.2 Spaziatura Adattativa

Per orbite eccentriche, usare spaziatura variabile:

- Spaziatura fine vicino al perielio (moto veloce)
- Spaziatura larga vicino all'afelio (moto lento)

Spaziatura proporzionale al tasso anomalia vera:

$$\Delta t \propto \frac{r^2}{\sqrt{\mu a(1 - e^2)}} \quad (11.16)$$

Questo mantiene errore posizione costante.

## 11.10 Riepilogo

Concetti chiave sul calcolo effemeridi:

1. Le **effemeridi** forniscono posizioni/velocità a tempi specificati
2. **Rappresentazioni**: tabulata, polinomiale (Chebyshev), analitica (VSOP87)
3. **Interpolazione**: Hermite per accuratezza, Lagrange per flessibilità

4. **SPICE** è lo standard NASA per effemeridi planetarie/veicoli spaziali
5. La correzione **tempo-luce** contabilizza velocità luce finita
6. L'**aberrazione** corregge per moto osservatore
7. La **spaziatura adattativa** migliora efficienza per orbite eccentriche

Raccomandazioni pratiche:

- Usare DE440/441 per pianeti (via SPICE)
- Usare VSOP87 se SPICE non disponibile o per epoche storiche
- Generare effemeridi custom per asteroidi
- Interpolazione Hermite per accuratezza 1 metro con spaziatura 1 giorno
- Applicare sempre correzioni tempo-luce per lavoro preciso

Il prossimo capitolo inizia la Parte III (Determinazione Orbitale), usando effemeridi per prevedere osservazioni e fissare orbite ai dati.



# **Parte III**

## **Determinazione Orbitale**



# Capitolo 12

## Osservazioni

### 12.1 Introduzione

Le **osservazioni** sono i dati fondamentali per la determinazione orbitale. Questo capitolo descrive:

- Tipi di osservazioni (astrometriche, radar, veicoli spaziali)
- Modelli osservativi che relazionano stato a misure
- Formati dati (MPC, radar, tracciamento)
- Correzioni (rifrazione, tempo-luce, aberrazione)
- Coordinate osservatorio e orientamento Terra

Una modellazione osservativa accurata è essenziale per ottenere determinazione orbitale sub-arcosecondo.

### 12.2 Tipi di Osservazioni

#### 12.2.1 Astrometria Ottica

Le osservazioni più comuni sono posizioni angolari sulla sfera celeste:

$$\text{Osservazione} = (\alpha, \delta, t) \quad (12.1)$$

dove:

- $\alpha$  è l'ascensione retta ( $0^\circ$  a  $360^\circ$  o 0h a 24h)

- $\delta$  è la declinazione ( $-90^\circ$  a  $+90^\circ$ )
- $t$  è il tempo osservazione (solitamente UTC)

**Range di precisione:**

- Storico (fotografico): 0.5–2 arcosec
- Astrometria CCD: 0.1–0.5 arcosec
- Missione spaziale Gaia: 0.0001–0.001 arcosec (100  $\mu$ as)
- Survey terrestri (Pan-STARRS, ATLAS): 0.05–0.2 arcosec

### 12.2.2 Osservazioni Radar

Il radar planetario fornisce misure di distanza e Doppler:

$$\text{Distanza: } \rho = |\mathbf{r}_{\text{bersaglio}} - \mathbf{r}_{\text{stazione}}| \quad (12.2)$$

$$\text{Doppler: } \dot{\rho} = \frac{(\mathbf{r}_{\text{bersaglio}} - \mathbf{r}_{\text{stazione}}) \cdot (\mathbf{v}_{\text{bersaglio}} - \mathbf{v}_{\text{stazione}})}{|\mathbf{r}_{\text{bersaglio}} - \mathbf{r}_{\text{stazione}}|} \quad (12.3)$$

**Principali strutture radar:**

- Arecibo (305 m, 2.38 GHz) – dismesso 2020
- Goldstone DSS-14 (70 m, 8.56 GHz) – operativo
- Green Bank (100 m, solo ricezione)

**Precisione:**

- Distanza: 10–100 metri (imaging delay-Doppler: <1 m)
- Doppler: 0.1–1 mm/s

Il radar è  $1000\times$  più preciso dell'astrometria ottica in distanza ma limitato a oggetti vicini (< 0.3 AU per asteroidi).

### 12.2.3 Tracciamento Veicoli Spaziali

Missioni spazio profondo tracciate via:

- Doppler bidirezionale (precisione mm/s)
- Misure distanza (livello metro)
- Delta-DOR (posizione angolare via interferometria)
- Navigazione ottica (immagini camera)

## 12.3 Modello Osservazione Astrometrica

### 12.3.1 Trasformazione Coordinate

Data posizione oggetto  $\mathbf{r}_{\text{ogg}}$  in eclittica eliocentrica J2000, calcolare equatoriale topocentrica:

1. Trasforma in baricentrica:  $\mathbf{r}_{\text{bary}} = \mathbf{r}_{\text{ogg}} + \mathbf{r}_{\odot, \text{bary}}$
2. Sottrai posizione Terra:  $\mathbf{r}_{\text{geo}} = \mathbf{r}_{\text{bary}} - \mathbf{r}_{\text{Terra}}$
3. Sottrai posizione osservatorio:  $\mathbf{r}_{\text{topo}} = \mathbf{r}_{\text{geo}} - \mathbf{r}_{\text{oss}}$
4. Ruota in equatoriale:  $\mathbf{r}_{\text{eq}} = \mathbf{R}_{\text{ecl} \rightarrow \text{eq}} \mathbf{r}_{\text{topo}}$

### 12.3.2 Coordinate Sferiche

Da cartesiane topocentriche equatoriali  $\mathbf{r}_{\text{eq}} = (x, y, z)$ :

$$\alpha = \arctan 2(y, x) \quad (12.4)$$

$$\delta = \arcsin \left( \frac{z}{\sqrt{x^2 + y^2 + z^2}} \right) \quad (12.5)$$

Gestire correttamente il quadrante con atan2.

### 12.3.3 Correzione Tempo-Luce

Il tempo osservazione  $t_{\text{oss}}$  è quando i fotoni arrivano alla Terra. L'oggetto era alla posizione di emissione a:

$$t_{\text{emis}} = t_{\text{oss}} - \frac{\rho}{c} \quad (12.6)$$

dove  $\rho$  è la distanza geocentrica.

Iterare per trovare  $t_{\text{emis}}$ :

```

1 double tau = 0.0; // Stima iniziale
2 for (int iter = 0; iter < 5; ++iter) {
3     Vector3d r_obj = propagate(y0, t0, t_obs - tau);
4     Vector3d r_earth = ephemeris.get_position("Earth",
5         t_obs);
6     double rho = (r_obj - r_earth).norm();
7     double tau_new = rho / C_AU_PER_DAY;
8     if (std::abs(tau_new - tau) < 1e-10) break;
9     tau = tau_new;
}
```

Listing 12.1: Iterazione tempo-luce

Correzione tipica: 4–30 minuti per asteroidi.

### 12.3.4 Aberrazione Stellare

Il moto orbitale terrestre causa spostamento apparente:

$$\mathbf{r}_{\text{aberrato}} = \mathbf{r}_{\text{geometrico}} + \frac{\rho}{c} \mathbf{v}_{\text{Terra}} \quad (12.7)$$

dove  $\mathbf{v}_{\text{Terra}}$  è la velocità terrestre.

Effetto massimo:  $\pm 20.5$  arcosec (aberrazione annua).

### 12.3.5 Rifrazione Atmosferica

La luce si piega attraversando l'atmosfera. La correzione dipende dall'angolo zenitale  $z$ :

$$\Delta z \approx 58.2'' \tan z - 0.067'' \tan^3 z \quad (12.8)$$

Allo zenit ( $z = 0$ ): nessuna rifrazione. All'orizzonte ( $z = 90^\circ$ ):  $\sim 34$  arcmin (diametro solare!).

Per lavoro preciso, usare modello dipendente da lunghezza d'onda:

$$n - 1 = 77.6 \times 10^{-6} \frac{P}{T} \left( 1 + 7.52 \times 10^{-3} \lambda^{-2} \right) \quad (12.9)$$

dove  $P$  è pressione (mbar),  $T$  temperatura (K),  $\lambda$  lunghezza d'onda ( $\mu\text{m}$ ).

L'astrometria moderna corregge a "sopra l'atmosfera" tramite:

- Fit stelle catalogo nel campo
- Misura rifrazione locale empiricamente
- Applicazione modelli sito-specifici

## 12.4 Coordinate Osservatorio

### 12.4.1 ITRF e Codici Osservatorio

L'International Terrestrial Reference Frame (ITRF) fornisce coordinate precise per osservatori.

**Codici osservatorio Minor Planet Center (MPC):**

- 500: Geocentro (per osservazioni spaziali)
- 568: Mauna Kea (Hawaii)
- 703: Catalina Sky Survey (Arizona)
- F51: Pan-STARRS 1 (Hawaii)
- G96: Mt. Lemmon Survey (Arizona)

Esempio entry per osservatorio 703:

703 Catalina 4.215500 0.759260 0.648764 -31.67

Formato: codice, nome,  $\rho \cos \phi'$ ,  $\rho \sin \phi'$ , longitudine (gradi), altitudine (m).

### 12.4.2 Posizione Osservatorio Geocentrica

Convertire coordinate geodetiche  $(h, \lambda, \phi)$  in cartesiane geocentriche:

$$\mathbf{r}_{\text{oss}} = \begin{bmatrix} (N + h) \cos \phi \cos \lambda \\ (N + h) \cos \phi \sin \lambda \\ (N(1 - e^2) + h) \sin \phi \end{bmatrix} \quad (12.10)$$

dove:

$$N = \frac{a}{\sqrt{1 - e^2 \sin^2 \phi}} \quad (12.11)$$

e  $a = 6378.137$  km (raggio equatoriale WGS84),  $e = 0.08181919$  (eccentricità).

### 12.4.3 Rotazione a Sistema Inerziale

La posizione osservatorio ruota con la Terra. La trasformazione coinvolge:

1. Moto polare  $(x_p, y_p)$
2. Correzione UT1-UTC (angolo rotazione Terra)
3. Precessione-nutazione (IAU 2006/2000A)
4. Bias sistema (ICRS a J2000)

**Rotazione semplificata:**

$$\mathbf{r}_{\text{inerziale}} = \mathbf{R}_3(\text{GAST}) \mathbf{r}_{\text{ITRF}} \quad (12.12)$$

dove GAST è il Greenwich Apparent Sidereal Time.

## 12.5 Parametri Orientamento Terra

### 12.5.1 Moto Polare

L'asse rotazione terrestre si muove rispetto alla crosta (oscillazione Chandler, moto annuale):

$$\mathbf{R}_{\text{polare}} = \mathbf{R}_2(-x_p) \mathbf{R}_1(-y_p) \quad (12.13)$$

Aampiezza:  $\sim 0.3$  arcosec ( $\sim 10$  metri in superficie).

Dati da IERS: bollettino `finals2000A.all`.

### 12.5.2 UT1-UTC

Universal Time (UT1) traccia la rotazione effettiva terrestre. Il tempo atomico (UTC) è uniforme.

$$\text{UT1} = \text{UTC} + (\text{UT1}-\text{UTC}) \quad (12.14)$$

$|\text{UT1}-\text{UTC}| < 0.9$  secondi (secondi intercalari aggiunti quando necessario).

Previsione: disponibile da IERS con accuratezza  $\sim 10$  ms per 1 anno avanti.

### 12.5.3 Precessione e Nutazione

L'asse rotazione terrestre precede (periodo 26.000 anni) e nuta (periodo principale 18.6 anni).

**Precessione IAU 2006 + nutazione IAU 2000A** = modello alta precisione.

Semplificato per lavoro asteroidi: usare polo medio (J2000) e ignorare nutazione (effetto  $\sim 15$  arcosec).

## 12.6 Formato Osservazione MPC

### 12.6.1 Formato 80 Colonne

Formato standard per astrometria ottica:

K17S00S	C2017 06 01.41667	18 26 54.13	-23 47 08.4	21.1	V	F51
---------	-------------------	-------------	-------------	------	---	-----

Campi:

- Colonne 1-5: Designazione temporanea o numero
- Colonna 12: Asterisco scoperta (\*)
- Colonna 13: Nota (es. fotometria)
- Colonna 14: Riferimento pubblicazione
- Colonne 15-32: Data osservazione (YYYY MM DD.ddddd)
- Colonne 33-44: Ascensione retta (HH MM SS.sss)
- Colonne 45-56: Declinazione (sDD MM SS.ss)

- Colonne 66-70: Magnitudine
- Colonna 71: Banda mag (V, R, I, ecc.)
- Colonne 78-80: Codice osservatorio

### 12.6.2 Formato ADES

Astrometry Data Exchange Standard (formato XML/JSON moderno):

```
1 <obsBlock>
2   <obsContext>
3     <observatory>
4       <mpcCode>F51</mpcCode>
5     </observatory>
6   </obsContext>
7   <obsData>
8     <optical>
9       <trkSub>K17S00S</trkSub>
10      <obsTime>2017-06-01T10:00:00.000Z</obsTime>
11      <ra>276.72554</ra>
12      <dec>-23.78567</dec>
13      <mag>21.1</mag>
14      <band>V</band>
15      <rmsRA>0.1</rmsRA>
16      <rmsDec>0.1</rmsDec>
17    </optical>
18  </obsData>
19 </obsBlock>
```

Listing 12.2: Esempio ADES XML

**Vantaggi rispetto a 80 colonne:**

- Incertezze esplicite
- Metadata (telescopio, rilevatore, catalogo)
- Nessuna limitazione larghezza fissa
- Standard internazionale

## 12.7 Pesi Osservazioni

### 12.7.1 Schemi di Pesatura

Non tutte le osservazioni sono ugualmente affidabili. Pesare per incertezza stimata:

$$w_i = \frac{1}{\sigma_i^2} \quad (12.15)$$

**Fonti incertezza:**

- Errore misura (fit stella, centroide)
- Errori catalogo (Gaia DR3: 0.02–0.05 arcosec)
- Errori timing ( $\pm 1$  secondo  $\rightarrow 0.01$  arcosec per oggetti lenti)
- Effetti atmosferici (seeing, rifrazione)
- Perdite scia (esposizioni lunghe)

### 12.7.2 Pesatura Empirica

Per osservazioni MPC senza incertezze formali:

Tipo Osservatorio	$\sigma_\alpha \cos \delta$	$\sigma_\delta$
Professionale (Pan-STARRS, CSS)	0.1 arcosec	0.1 arcosec
CCD amatoriale	0.5 arcosec	0.5 arcosec
Fotografico storico	1.0 arcosec	1.0 arcosec
Distanza radar	10 m	–
Doppler radar	–	1 mm/s

Tabella 12.1: Incertezze osservative tipiche.

### 12.7.3 Riduzione Peso Outlier

Dopo fit iniziale, identificare outlier ( $\text{residuo} > 3\sigma$ ) e ridurre peso:

$$w_{\text{nuovo}} = w_{\text{vecchio}} \times \exp \left( -\frac{r^2}{2\sigma^2} \right) \quad (12.16)$$

dove  $r$  è il residuo. Questo è "minimi quadrati robusti" o "pesatura Huber."

## 12.8 Parziali Osservazioni

### 12.8.1 Definizione

Per determinazione orbitale, necessitiamo:

$$\frac{\partial(\alpha, \delta)}{\partial \mathbf{y}(t_0)} \quad (12.17)$$

Questo relaziona come lo stato iniziale influenza l'osservazione prevista.

### 12.8.2 Regola Catena

Usare regola catena con matrice transizione stato:

$$\frac{\partial(\alpha, \delta)}{\partial \mathbf{y}(t_0)} = \frac{\partial(\alpha, \delta)}{\partial \mathbf{r}(t_{\text{oss}})} \frac{\partial \mathbf{r}(t_{\text{oss}})}{\partial \mathbf{y}(t_{\text{oss}})} \frac{\partial \mathbf{y}(t_{\text{oss}})}{\partial \mathbf{y}(t_0)} \quad (12.18)$$

L'ultimo fattore è la STM  $\Phi(t_{\text{oss}}, t_0)$ .

### 12.8.3 Parziali Geometriche

Per posizione topocentrica  $\mathbf{r} = (x, y, z)$  in sistema equatoriale:

$$\rho = \sqrt{x^2 + y^2 + z^2} \quad (12.19)$$

$$\frac{\partial \alpha}{\partial x} = -\frac{y}{x^2 + y^2}, \quad \frac{\partial \alpha}{\partial y} = \frac{x}{x^2 + y^2}, \quad \frac{\partial \alpha}{\partial z} = 0 \quad (12.20)$$

$$\frac{\partial \delta}{\partial x} = -\frac{xz}{\rho^2 \sqrt{x^2 + y^2}}, \quad \frac{\partial \delta}{\partial y} = -\frac{yz}{\rho^2 \sqrt{x^2 + y^2}}, \quad \frac{\partial \delta}{\partial z} = \frac{\sqrt{x^2 + y^2}}{\rho^2} \quad (12.21)$$

### 12.8.4 Implementazione

```
1 Matrix<2,6> compute_partials_radec(
2     const Vector6d& state,
3     const Matrix6d& stm,
4     const Vector3d& obs_pos)
5 {
6     Vector3d r = state.head<3>() - obs_pos;
```

```

7   double x = r(0), y = r(1), z = r(2);
8   double rho = r.norm();
9   double rho_xy = std::sqrt(x*x + y*y);
10
11  // Parziali rispetto a posizione
12  Matrix<2,3> dobs_dr;
13  dobs_dr(0,0) = -y / (x*x + y*y); // d(RA)/dx
14  dobs_dr(0,1) = x / (x*x + y*y); // d(RA)/dy
15  dobs_dr(0,2) = 0.0; // d(RA)/dz
16
17  dobs_dr(1,0) = -x*z / (rho*rho*rho_xy); // d(Dec)/dx
18  dobs_dr(1,1) = -y*z / (rho*rho*rho_xy); // d(Dec)/dy
19  dobs_dr(1,2) = rho_xy / (rho*rho); // d(Dec)/dz
20
21  // Concatena con STM
22  Matrix<2,6> partials = dobs_dr * stm.block<3,6>(0,0);
23
24  return partials;
25 }
```

Listing 12.3: Calcolo parziali osservazione

## 12.9 Qualità Dati

### 12.9.1 Accuratezza Timing

Il tempo osservazione deve essere UTC a  $\pm 1$  secondo per asteroidi ( $\pm 0.01$  sec per oggetti veloci).

#### Problemi comuni:

- Deriva clock (ricevitori GPS essenziali)
- Tempo metà-esposizione vs inizio/fine
- Errori fuso orario (usare sempre UTC!)
- Secondi intercalari

### 12.9.2 Catalogo Astrometrico

Osservazioni moderne riferite a:

- Gaia DR3 (2022): 0.02–0.05 arcosec,  $\sim 1.8$  miliardi stelle
- UCAC4: 0.02–0.1 arcosec, 113 milioni stelle
- 2MASS: 0.08 arcosec (infrarosso), 471 milioni oggetti

Osservazioni più vecchie (pre-Gaia) possono avere errori sistematici da catalogo:

- USNO-A:  $\sim 0.25$  arcosec sistematico
- GSC:  $\sim 0.3$  arcosec sistematico

Usare de-biasing specifico catalogo quando si mescolano osservazioni.

### 12.9.3 Sistematici Sito-Specifici

Alcuni osservatori hanno problemi noti:

- Timing scarso ( $> 10$  sec errori)
- Coordinate errate (latitudine/longitudine sbagliate)
- Errori scala (scala piatto sbagliata)
- Bias dipendente da magnitudine (bleeding carica)

MPC mantiene flag qualità, ma utente deve validare dati.

## 12.10 Esempio Pratico

### 12.10.1 Caricamento Osservazioni MPC

```
1 #include <astdyn/observations/MPCObservation.hpp>
2
3 std::vector<Observation> load_mpc_file(const std::string&
4   filename) {
5     std::vector<Observation> observations;
6     std::ifstream file(filename);
```

```

6     std::string line;
7
8     while (std::getline(file, line)) {
9         if (line.length() < 80) continue;
10
11         MPCObservation obs;
12         if (obs.parse(line)) {
13             observations.push_back(obs);
14         }
15     }
16
17     std::cout << "Caricate " << observations.size() << "
18         osservazioni\n";
19     return observations;
}

```

Listing 12.4: Parsing osservazioni MPC

## 12.10.2 Calcolo Osservazioni Previste

```

1 Vector2d predict_observation(
2     const Vector6d& state,
3     double epoch,
4     const std::string& obs_code,
5     const EphemerisInterface& ephemeris)
6 {
7     // Ottieni posizione Terra
8     Vector3d earth_pos = ephemeris.get_position("Earth",
9         epoch);
10
11    // Ottieni posizione osservatorio (ITRF -> inerziale)
12    Vector3d obs_pos_geo = observatory_db.get_geocentric(
13        obs_code);
14    Matrix3d R_itrf_to_j2000 = earth_rotation(epoch);
15    Vector3d obs_pos = earth_pos + R_itrf_to_j2000 *
        obs_pos_geo;
16
17    // Posizione topocentrica

```

```
16     Vector3d r_topo = state.head<3>() - obs_pos;  
17  
18     // Eclittica a equatoriale  
19     Vector3d r_eq = R_ecl_to_eq * r_topo;  
20  
21     // Calcola RA/Dec  
22     double alpha = std::atan2(r_eq(1), r_eq(0));  
23     double delta = std::asin(r_eq(2) / r_eq.norm());  
24  
25     if (alpha < 0) alpha += 2*M_PI;  
26  
27     return Vector2d(alpha, delta);  
28 }
```

Listing 12.5: Previsione osservazioni

## 12.11 Riepilogo

Concetti chiave sulle osservazioni:

1. L'**astrometria ottica** fornisce RA/Dec con precisione 0.1–0.5 arcosec
2. Il **radar** dà distanza/Doppler con precisione metro/mm-per-sec
3. La correzione **tempo-luce** è essenziale (4–30 minuti per asteroidi)
4. L'**aberrazione** causa spostamento  $\pm 20$  arcosec
5. La **rifrazione** influenza osservazioni a bassa elevazione
6. La **posizione osservatorio** deve essere in sistema inerziale
7. Il **formato MPC** è standard, ADES è moderno
8. La **pesatura** per incertezza migliora qualità fit
9. Le **parziali**  $\partial(\alpha, \delta)/\partial y$  abilitano fit orbitale

Raccomandazioni pratiche:

- Applicare sempre correzioni tempo-luce e aberrazione

- Usare catalogo Gaia DR3 per osservazioni moderne
- Validare timing (UTC, secondi intercalari)
- Controllare coordinate osservatorio
- Pesare per incertezza stimata
- Identificare e ridurre peso outlier

Il prossimo capitolo copre la determinazione orbitale iniziale da poche osservazioni, seguito dalla correzione differenziale per raffinare orbite usando tutti i dati disponibili.



# Capitolo 13

## Determinazione dell'Orbita Iniziale

### 13.1 Introduzione

La **determinazione dell'orbita iniziale** (Initial Orbit Determination, IOD) calcola un'orbita approssimata da un piccolo numero di osservazioni. Fornisce:

- Punto di partenza per la correzione differenziale
- Collegamento di osservazioni attraverso opposizioni
- Previsioni di recupero per oggetti persi
- Valutazioni preliminari di impatto

I metodi classici usano 3 osservazioni (Gauss, Laplace) o 2 osservazioni + vincoli.

### 13.2 Il Problema IOD

#### 13.2.1 Osservazioni Solo Angolari

Dato: Tre osservazioni  $(\alpha_i, \delta_i, t_i), i = 1, 2, 3$ .

Trovare: Sei elementi orbitali o stato cartesiano  $\mathbf{y} = [\mathbf{r}, \mathbf{v}]$ .

**Sfida:** Abbiamo 6 incognite ma solo 6 vincoli ( $2 \text{ angoli} \times 3 \text{ tempi}$ ). Il problema è esattamente determinato ma altamente non lineare.

#### 13.2.2 Linea di Vista

Ogni osservazione definisce un vettore unitario:

$$\hat{\rho}_i = \begin{bmatrix} \cos \delta_i \cos \alpha_i \\ \cos \delta_i \sin \alpha_i \\ \sin \delta_i \end{bmatrix} \quad (13.1)$$

L'oggetto si trova da qualche parte lungo questa linea:  $\mathbf{r}_i = \mathbf{R}_i + \rho_i \hat{\rho}_i$  dove  $\mathbf{R}_i$  è la posizione dell'osservatorio e  $\rho_i$  è la distanza topocentrica incognita.

## 13.3 Metodo di Gauss

### 13.3.1 Contesto Storico

Sviluppato da Carl Friedrich Gauss (1809) per recuperare Cerere dopo il suo passaggio dietro il Sole. Ancora ampiamente utilizzato oggi.

### 13.3.2 Idea di Base

Usare 3 osservazioni per:

1. Stimare la distanza  $\rho_2$  all'osservazione centrale
2. Calcolare la posizione  $\mathbf{r}_2$
3. Usare i coefficienti di Lagrange per ottenere la velocità  $\mathbf{v}_2$

### 13.3.3 Coefficienti di Lagrange

Per il moto a due corpi, le posizioni ai tempi  $t_1, t_2, t_3$  sono legate da:

$$\mathbf{r}_1 = f_1 \mathbf{r}_2 + g_1 \mathbf{v}_2 \quad (13.2)$$

$$\mathbf{r}_3 = f_3 \mathbf{r}_2 + g_3 \mathbf{v}_2 \quad (13.3)$$

dove  $f$  e  $g$  sono coefficienti di Lagrange che dipendono dagli intervalli temporali  $\tau_1 = t_1 - t_2$  e  $\tau_3 = t_3 - t_2$ .

Sviluppo in serie:

$$f = 1 - \frac{\mu}{2r^3}\tau^2 + \frac{\mu}{2r^3} \frac{\mathbf{r} \cdot \mathbf{v}}{r^2} \tau^3 + O(\tau^4) \quad (13.4)$$

$$g = \tau - \frac{\mu}{6r^3}\tau^3 + O(\tau^4) \quad (13.5)$$

### 13.3.4 Equazione Scalare di Lagrange

I tre vettori posizione giacciono nel piano orbitale. Usando la complanarità:

$$\mathbf{r}_1 \cdot (\mathbf{r}_2 \times \mathbf{r}_3) = 0 \quad (13.6)$$

Questo fornisce un'equazione scalare per  $\rho_2$  (il "polinomio di ottavo grado" dopo manipolazione).

### 13.3.5 Algoritmo

**Input:** Tre osservazioni  $(\alpha_i, \delta_i, t_i, \mathbf{R}_i)$ .

**Passi:**

1. Calcolare i vettori linea di vista  $\hat{\rho}_i$
2. Stima iniziale:  $\rho_2 = |\mathbf{R}_2|$  (distanza Terra-Sole)
3. Iterare:
  - (a) Calcolare  $\mathbf{r}_2 = \mathbf{R}_2 + \rho_2 \hat{\rho}_2$
  - (b) Calcolare  $r_2 = |\mathbf{r}_2|$
  - (c) Stimare i coefficienti  $f, g$
  - (d) Risolvere per  $\mathbf{v}_2$  da  $\mathbf{r}_1, \mathbf{r}_3$
  - (e) Raffinare  $\rho_2$  usando l'equazione scalare di Lagrange
  - (f) Verificare convergenza:  $|\Delta\rho_2| < 10^{-6}$  AU
4. Restituire lo stato  $(\mathbf{r}_2, \mathbf{v}_2)$  all'epoca  $t_2$

**Convergenza:** Tipicamente 5-10 iterazioni per oggetti ben osservati.

## 13.4 Implementazione

```
1 Vector6d gauss_iod(
2     const std::array<Observation, 3>& obs,
3     const EphemerisInterface& ephemeris)
4 {
5     // Estrarre tempi e vettori linea di vista
6     double t1 = obs[0].epoch;
7     double t2 = obs[1].epoch;
8     double t3 = obs[2].epoch;
9
10    Vector3d rho_hat1 = obs[0].line_of_sight();
11    Vector3d rho_hat2 = obs[1].line_of_sight();
12    Vector3d rho_hat3 = obs[2].line_of_sight();
13
14    // Posizioni osservatorio
15    Vector3d R1 = ephemeris.get_observer_position(obs[0]);
16    Vector3d R2 = ephemeris.get_observer_position(obs[1]);
17    Vector3d R3 = ephemeris.get_observer_position(obs[2]);
18
19    // Intervalli temporali
20    double tau1 = t1 - t2;
21    double tau3 = t3 - t2;
22
23    // Stima iniziale per la distanza centrale
24    double rho2 = R2.norm();
25
26    // Raffinamento iterativo
27    for (int iter = 0; iter < 20; ++iter) {
28        Vector3d r2 = R2 + rho2 * rho_hat2;
29        double r2_mag = r2.norm();
30
31        // Calcolare serie f, g (al 3 grado ordine)
32        double f1 = 1.0 - 0.5 * MU_SUN * tau1*tau1 / (
33            r2_mag*r2_mag*r2_mag);
34        double f3 = 1.0 - 0.5 * MU_SUN * tau3*tau3 / (
35            r2_mag*r2_mag*r2_mag);
```

```

34     double g1 = tau1 - MU_SUN * tau1*tau1*tau1 / (6.0 *
35         r2_mag*r2_mag*r2_mag);
36     double g3 = tau3 - MU_SUN * tau3*tau3*tau3 / (6.0 *
37         r2_mag*r2_mag*r2_mag);
38
39     // Risolvere per la velocita' a t2
40     Vector3d v2 = (f3 * (R1 + rho_hat1) - f1 * (R3 +
41         rho_hat3)) / (f1*g3 - f3*g1);
42
43     // Migliorare rho2 usando l'equazione scalare di
44     // Lagrange
45     // (semplicificato: usare stime r1, r3)
46     Vector3d r1 = r2 * f1 + v2 * g1;
47     Vector3d r3 = r2 * f3 + v3 * g3;
48
49     double rho1_new = (r1 - R1).dot(rho_hat1);
50     double rho3_new = (r3 - R3).dot(rho_hat3);
51     double rho2_new = (r2 - R2).dot(rho_hat2);
52
53     if (std::abs(rho2_new - rho2) < 1e-6) {
54         // Convergenza raggiunta
55         return Vector6d(r2, v2);
56     }
57
58     rho2 = rho2_new;
59
60     throw std::runtime_error("IOD di Gauss non convergente"
61 );
62 }
```

Listing 13.1: Implementazione del metodo di Gauss

## 13.5 Problema dell'Arco Troppo Corto

### 13.5.1 Sfida

Per archi osservativi brevi (ore o giorni), molte orbite si adattano ugualmente bene. L'orbita è mal vincolata in:

- Semiasse maggiore  $a$  (degenera con eccentricità)
- Eccentricità  $e$
- Argomento del pericentro  $\omega$

**Esempio:** NEA osservato per 3 ore. Potrebbe essere:

- $a = 1.2 \text{ AU}, e = 0.1$  (Apollo)
- $a = 2.5 \text{ AU}, e = 0.6$  (Amor)
- $a = 0.8 \text{ AU}, e = 0.3$  (Aten)

Tutte producono RA/Dec simili su arco breve!

### 13.5.2 Vincoli Aggiuntivi

Per risolvere la degenerazione:

1. **Moto apparente:**  $d\alpha/dt, d\delta/dt$  vincola la distanza
2. **Luminosità:**  $H, G$  funzione di fase fornisce stima distanza
3. **Priori statistici:** La maggior parte dei NEA ha  $0.8 < a < 2 \text{ AU}$
4. **Osservazioni aggiuntive:** Anche +1 giorno aiuta enormemente

## 13.6 Metodo di Laplace

### 13.6.1 Approccio Alternativo

Usare la velocità angolare  $\dot{\alpha}, \dot{\delta}$  oltre agli angoli. Richiede temporizzazione ad alta precisione o multiple osservazioni ravvicinate.

**Vantaggio:** Può funzionare con 2 osservazioni (più rate).

**Svantaggio:** Sensibile agli errori di misura nelle rate.

### 13.6.2 Equazioni

Da  $\mathbf{r} = \mathbf{R} + \rho\hat{\rho}$ , derivare due volte:

$$\ddot{\mathbf{r}} = -\frac{\mu}{r^3}\mathbf{r} \quad (13.7)$$

Questo fornisce 3 equazioni in 3 incognite ( $\rho, \dot{\rho}, \ddot{\rho}$ ) ad un'epoca.

## 13.7 Metodi Moderni

### 13.7.1 Regione Ammissibile

Per archi molto corti, risolvere per tutte le orbite ammissibili che soddisfano:

- Osservazioni
- Vincoli fisici ( $e < 1$  per orbite legate)
- Luminosità (stima della distanza)

Produce una regione nello spazio degli elementi orbitali, non una singola soluzione.

### 13.7.2 Minimi Quadrati Vincolati

Minimizzare:

$$\chi^2 = \sum_i w_i (\mathbf{o}_i - \mathbf{c}_i)^2 + \lambda P(\mathbf{e}) \quad (13.8)$$

dove  $P(\mathbf{e})$  è un priore sugli elementi (es., preferire  $e < 0.3$ ).

## 13.8 Valutazione della Qualità

### 13.8.1 Incertezza Orbitale

Da 3 osservazioni, l'incertezza è grande:

- Posizione all'epoca:  $\sim 0.001$  AU (150.000 km)
- Velocità:  $\sim 0.01$  AU/giorno (17 km/s)

- Semiasse maggiore:  $\pm 0.5$  AU

L'incertezza di propagazione cresce rapidamente! Dopo 1 mese, errore di posizione  $> 1$  AU.

### 13.8.2 Validazione

Verificare la qualità dell'orbita:

1. Residui: Dovrebbero essere  $< 5$  arcosecondi per un buon fit
2. Energia:  $E < 0$  per orbita legata
3. Pericentro:  $q > 0.1$  AU (all'interno, l'orbita collide con il Sole)
4. Eccentricità:  $0 \leq e < 1$  per orbita ellittica

## 13.9 Esempio: Asteroide Appena Scoperto

```
1 // Tre osservazioni da MPC
2 std::vector<Observation> obs = {
3     {"2024-01-15T03:15:00Z", 185.234, +12.567, "F51"}, 
4     {"2024-01-15T04:30:00Z", 185.189, +12.592, "F51"}, 
5     {"2024-01-15T05:45:00Z", 185.144, +12.617, "F51"} 
6 };
7
8 // Caricare effemeridi planetarie
9 SpiceInterface spice;
10 spice.load_kernel("de440.bsp");
11
12 // Eseguire IOD di Gauss
13 try {
14     Vector6d state = gauss_iod(obs, spice);
15     double epoch = obs[1].epoch;
16
17     // Convertire in elementi orbitali
18     OrbitalElements elements = OrbitalElements::
19         from_cartesian(state, epoch);
20
21     std::cout << "Determinazione orbita iniziale:\n";
```

```

21     std::cout << "a = " << elements.a << " AU\n";
22     std::cout << "e = " << elements.e << "\n";
23     std::cout << "i = " << elements.i * RAD_TO_DEG << " deg
24         \n";
25     std::cout << "Omega = " << elements.Omega * RAD_TO_DEG
26         << " deg\n";
27     std::cout << "omega = " << elements.omega * RAD_TO_DEG
28         << " deg\n";
29     std::cout << "M = " << elements.M * RAD_TO_DEG << " deg
30         \n";
31
32     // Calcolare residui
33     for (const auto& ob : obs) {
34         Vector2d predicted = predict_observation(state, ob.
35             epoch, ob.obs_code, spice);
36         double dRA = (predicted(0) - ob.ra) * cos(ob.dec) *
37             RAD_TO_ARCSEC;
38         double dDec = (predicted(1) - ob.dec) *
39             RAD_TO_ARCSEC;
40         std::cout << "Residuo: " << dRA << ", " << dDec <<
41             " arcosec\n";
42     }
43
44 } catch (const std::exception& e) {
45     std::cerr << "IOD fallito: " << e.what() << "\n";
46 }
```

Listing 13.2: IOD da osservazioni di scoperta

## 13.10 Sommario

Punti chiave sulla determinazione dell'orbita iniziale:

1. Il **metodo di Gauss** usa 3 osservazioni per determinare l'orbita
2. I **coefficienti di Lagrange** relazionano le posizioni a tempi diversi
3. La **soluzione iterativa** converge tipicamente in 5-10 iterazioni

4. Gli **archi brevi** portano a orbite mal vincolate
5. **Vincoli aggiuntivi** (luminosità, priori) aiutano
6. Il **metodo di Laplace** usa rate angolari oltre agli angoli
7. I **metodi moderni** calcolano regioni ammissibili
8. La **validazione** controlla energia, eccentricità, residui

L'orbita iniziale viene raffinata usando la correzione differenziale (capitolo successivo) con tutte le osservazioni disponibili.

# Capitolo 14

## Correzione Differenziale

### 14.1 Introduzione

La **correzione differenziale** (Differential Correction, DC) è il raffinamento iterativo ai minimi quadrati di un'orbita usando tutte le osservazioni disponibili. È la pietra angolare della determinazione orbitale.

**Input:** Orbita iniziale + osservazioni

**Output:** Orbita migliorata + matrice di covarianza + residui

**Metodo:** Minimi quadrati pesati minimizzando i residui O-C (osservato meno calcolato).

### 14.2 Il Problema dei Minimi Quadrati

#### 14.2.1 Equazione di Osservazione

Per l'osservazione  $i$ :

$$\mathbf{o}_i = \mathbf{h}(\mathbf{y}_0, t_i) + \boldsymbol{\epsilon}_i \quad (14.1)$$

dove:

- $\mathbf{o}_i$ : Valore osservato (es., RA, Dec)
- $\mathbf{h}$ : Modello di osservazione (trasformazione coordinate)
- $\mathbf{y}_0$ : Stato all'epoca  $t_0$
- $\boldsymbol{\epsilon}_i \sim \mathcal{N}(0, \mathbf{W}_i^{-1})$ : Errore di misura

### 14.2.2 Linearizzazione

Linearizzare attorno alla stima corrente  $\mathbf{y}_0^{(k)}$ :

$$\mathbf{o}_i - \mathbf{c}_i = \mathbf{H}_i \Delta \mathbf{y}_0 + \boldsymbol{\epsilon}_i \quad (14.2)$$

dove:

- $\mathbf{c}_i = \mathbf{h}(\mathbf{y}_0^{(k)}, t_i)$ : Valore calcolato
- $\mathbf{H}_i = \frac{\partial \mathbf{h}}{\partial \mathbf{y}_0}$ : Matrice di disegno (derivate parziali osservazione)
- $\Delta \mathbf{y}_0 = \mathbf{y}_0 - \mathbf{y}_0^{(k)}$ : Correzione allo stato

### 14.2.3 Equazioni Normali

Minimizzare la somma pesata dei quadrati dei residui:

$$\chi^2 = \sum_{i=1}^m (\mathbf{o}_i - \mathbf{c}_i - \mathbf{H}_i \Delta \mathbf{y}_0)^T \mathbf{W}_i (\mathbf{o}_i - \mathbf{c}_i - \mathbf{H}_i \Delta \mathbf{y}_0) \quad (14.3)$$

Soluzione:

$$(\mathbf{H}^T \mathbf{W} \mathbf{H}) \Delta \mathbf{y}_0 = \mathbf{H}^T \mathbf{W} (\mathbf{o} - \mathbf{c}) \quad (14.4)$$

Definire:

$$\mathbf{N} = \mathbf{H}^T \mathbf{W} \mathbf{H} \quad (\text{matrice normale}) \quad (14.5)$$

$$\mathbf{b} = \mathbf{H}^T \mathbf{W} (\mathbf{o} - \mathbf{c}) \quad (\text{termine noto}) \quad (14.6)$$

Soluzione:  $\mathbf{N} \Delta \mathbf{y}_0 = \mathbf{b}$

Covarianza:  $\mathbf{C} = \mathbf{N}^{-1}$

## 14.3 Calcolo delle Derivate Parziali

### 14.3.1 Regola della Catena con STM

Per osservazioni RA/Dec al tempo  $t_i$ :

$$\mathbf{H}_i = \frac{\partial(\alpha, \delta)}{\partial \mathbf{y}_0} = \frac{\partial(\alpha, \delta)}{\partial \mathbf{y}(t_i)} \frac{\partial \mathbf{y}(t_i)}{\partial \mathbf{y}_0} \quad (14.7)$$

dove  $\Phi(t_i, t_0) = \frac{\partial \mathbf{y}(t_i)}{\partial \mathbf{y}_0}$  è la matrice di transizione di stato (Capitolo 10).

### 14.3.2 Derivate Geometriche

Dalla posizione topocentrica  $\rho = \mathbf{r} - \mathbf{R}$ :

$$\alpha = \arctan 2(\rho_y, \rho_x) \quad (14.8)$$

$$\delta = \arcsin(\rho_z / \rho) \quad (14.9)$$

Derivate:

$$\frac{\partial \alpha}{\partial \rho_x} = -\frac{\rho_y}{\rho_x^2 + \rho_y^2} \quad (14.10)$$

$$\frac{\partial \alpha}{\partial \rho_y} = \frac{\rho_x}{\rho_x^2 + \rho_y^2} \quad (14.11)$$

$$\frac{\partial \alpha}{\partial \rho_z} = 0 \quad (14.12)$$

$$\frac{\partial \delta}{\partial \rho_x} = -\frac{\rho_x \rho_z}{\rho^2 \sqrt{\rho_x^2 + \rho_y^2}} \quad (14.13)$$

$$\frac{\partial \delta}{\partial \rho_y} = -\frac{\rho_y \rho_z}{\rho^2 \sqrt{\rho_x^2 + \rho_y^2}} \quad (14.14)$$

$$\frac{\partial \delta}{\partial \rho_z} = \frac{\sqrt{\rho_x^2 + \rho_y^2}}{\rho^2} \quad (14.15)$$

### 14.3.3 Derivate Complete

Combinare le derivate geometriche con  $\Phi$ :

$$\mathbf{H}_i = \begin{bmatrix} \frac{\partial \alpha}{\partial x} & \frac{\partial \alpha}{\partial y} & \frac{\partial \alpha}{\partial z} & 0 & 0 & 0 \\ \frac{\partial \delta}{\partial x} & \frac{\partial \delta}{\partial y} & \frac{\partial \delta}{\partial z} & 0 & 0 & 0 \end{bmatrix} \Phi(t_i, t_0) \quad (14.16)$$

Nota: RA/Dec dipendono solo dalla posizione, non dalla velocità, nelle derivate geometriche. La velocità influenza le osservazioni attraverso la propagazione ( $\Phi$ ).

## 14.4 Algoritmo

**Input:** Orbita iniziale  $\mathbf{y}_0^{(0)}$ , osservazioni  $\{(\mathbf{o}_i, t_i, \mathbf{W}_i)\}$

**Iterare:**

1. Per ogni osservazione  $i$ :
  - (a) Propagare a  $t_i$  con STM:  $[\mathbf{y}(t_i), \Phi(t_i, t_0)]$
  - (b) Calcolare predizione  $\mathbf{c}_i = \mathbf{h}(\mathbf{y}(t_i))$
  - (c) Calcolare derivate geometriche
  - (d) Calcolare derivate complete  $\mathbf{H}_i$  usando STM
2. Formare matrice normale:  $\mathbf{N} = \sum_i \mathbf{H}_i^T \mathbf{W}_i \mathbf{H}_i$
3. Formare termine noto:  $\mathbf{b} = \sum_i \mathbf{H}_i^T \mathbf{W}_i (\mathbf{o}_i - \mathbf{c}_i)$
4. Risolvere:  $\mathbf{N} \Delta \mathbf{y}_0 = \mathbf{b}$
5. Aggiornare:  $\mathbf{y}_0^{(k+1)} = \mathbf{y}_0^{(k)} + \Delta \mathbf{y}_0$
6. Calcolare RMS:  $\text{RMS} = \sqrt{\frac{1}{m-n} \sum_i w_i r_i^2}$  dove  $r_i = \mathbf{o}_i - \mathbf{c}_i$
7. Verificare convergenza:  $|\Delta \mathbf{y}_0| < \epsilon$  e  $|\Delta \text{RMS}| < \epsilon_{\text{RMS}}$

**Output:** Stato converso  $\mathbf{y}_0^*$ , covarianza  $\mathbf{C} = \mathbf{N}^{-1}$ , residui

## 14.5 Criteri di Convergenza

### 14.5.1 Correzione allo Stato

$$||\Delta \mathbf{y}_0|| < 10^{-8} \text{ AU, AU/giorno} \quad (14.17)$$

### 14.5.2 Variazione RMS

$$\frac{|\text{RMS}^{(k+1)} - \text{RMS}^{(k)}|}{\text{RMS}^{(k)}} < 10^{-6} \quad (14.18)$$

### 14.5.3 Iterazioni Massime

Converge tipicamente in 3-10 iterazioni. Se non converge dopo 20 iterazioni, sospettare:

- Orbita iniziale scadente
- Osservazioni errate (outlier)
- Modello inadeguato (perturbazioni mancanti)

## 14.6 Strategia di Pesatura

### 14.6.1 Pesi Empirici

Per osservazioni RA/Dec:

$$w_{\alpha,i} = \frac{1}{\sigma_{\alpha,i}^2}, \quad w_{\delta,i} = \frac{1}{\sigma_{\delta,i}^2} \quad (14.19)$$

$\sigma$  tipici:

- CCD moderno (calibrato Gaia): 0.1"
- CCD amatoriale: 0.5"
- Fotografico storico: 1-2"

### 14.6.2 Pesatura Robusta

Ridurre peso degli outlier usando pesi di Huber:

$$w'_i = \begin{cases} w_i & \text{se } |r_i| < k\sigma \\ w_i \frac{k\sigma}{|r_i|} & \text{se } |r_i| \geq k\sigma \end{cases} \quad (14.20)$$

dove  $k = 2.5$  (tipico).

## 14.7 Matrice di Covarianza

### 14.7.1 Incertezza Formale

Dalla matrice normale:

$$\mathbf{C} = \mathbf{N}^{-1} = (\mathbf{H}^T \mathbf{W} \mathbf{H})^{-1} \quad (14.21)$$

Elementi diagonali:  $\sigma_i = \sqrt{C_{ii}}$

**Esempio** (asteroide con 100 osservazioni su 30 giorni):

- $\sigma_x \sim 10^{-7}$  AU (15 km)
- $\sigma_v \sim 10^{-9}$  AU/giorno (1.7 mm/s)

### 14.7.2 Correlazione

Gli elementi fuori diagonale mostrano le correlazioni tra parametri:

$$\rho_{ij} = \frac{C_{ij}}{\sqrt{C_{ii}C_{jj}}} \quad (14.22)$$

Correlazioni forti (es.,  $\rho_{xy} > 0.9$ ) indicano problemi di geometria osservativa.

### 14.7.3 Incertezza Propagata

Al tempo  $t$ :

$$\mathbf{C}(t) = \Phi(t, t_0) \mathbf{C}(t_0) \Phi(t, t_0)^T \quad (14.23)$$

L'incertezza cresce con il tempo. Per soluzioni ad arco corto,  $\sigma$  può aumentare esponenzialmente.

## 14.8 Implementazione

```
1 struct DCResult {
2     Vector6d state;
3     Matrix6d covariance;
4     double rms;
5     int iterations;
6     std::vector<double> residuals;
7 };
8
9 DCResult differential_correction(
10     const Vector6d& initial_state,
```

```

11     double epoch,
12     const std::vector<Observation>& observations,
13     const ForceModel& forces,
14     const EphemerisInterface& ephemeris,
15     int max_iterations = 20,
16     double tol = 1e-8)
17 {
18     Vector6d y0 = initial_state;
19     double prev_rms = 1e10;
20
21     for (int iter = 0; iter < max_iterations; ++iter) {
22         // Accumulare matrice normale e termine noto
23         Matrix6d N = Matrix6d::Zero();
24         Vector6d b = Vector6d::Zero();
25         double chi2 = 0.0;
26         std::vector<double> residuals;
27
28         for (const auto& obs : observations) {
29             // Propagare con STM
30             auto [y_obs, Phi] = propagate_with_stm(y0,
31                                         epoch, obs.epoch, forces);
32
33             // Predire osservazione
34             Vector2d computed = predict_observation(y_obs,
35                                         obs.epoch, obs.obs_code, ephemeris);
36
37             // Residuo (O-C)
38             Vector2d residual;
39             residual(0) = (obs.ra - computed(0)) * cos(obs.
40                                         dec); // RA cos(Dec)
41             residual(1) = obs.dec - computed(1); // Dec
42
43             residuals.push_back(residual.norm() *
RAD_TO_ARCSEC);
44
45             // Derivate geometriche
46             Matrix<double, 2, 3> geom_partials =
47             compute_ra_dec_partials(y_obs, obs,

```

```
        ephemeris);

44
45     // Derivate complete via STM
46     Matrix<double, 2, 6> H;
47     H.block<2, 3>(0, 0) = geom_partials;
48     H.block<2, 3>(0, 3).setZero();
49     H = H * Phi; // Regola della catena

50
51     // Pesi
52     double w_ra = 1.0 / (obs.sigma_ra * obs.
53                           sigma_ra);
54     double w_dec = 1.0 / (obs.sigma_dec * obs.
55                           sigma_dec);
56     Matrix2d W = Vector2d(w_ra, w_dec).asDiagonal()
57                           ;
58
59     // Accumulare equazioni normali
60     N += H.transpose() * W * H;
61     b += H.transpose() * W * residual;
62     chi2 += residual.transpose() * W * residual;
63 }

64
65     // Risolvere equazioni normali
66     Vector6d delta_y0 = N.ldlt().solve(b);
67
68     // Aggiornare stato
69     y0 += delta_y0;
70
71     // Calcolare RMS
72     int dof = 2 * observations.size() - 6; // gradi di
73                                         liberta'
74     double rms = sqrt(chi2 / dof) * RAD_TO_ARCSEC;

75
76     // Verificare convergenza
77     if (delta_y0.norm() < tol && abs(rms - prev_rms) <
78         1e-6) {
79         Matrix6d covariance = N.inverse();
```

```

75         return {y0, covariance, rms, iter + 1,
76                   residuals};
77     }
78
79     prev_rms = rms;
80 }
81 throw std::runtime_error("DC non convergente");
82 }
```

Listing 14.1: Implementazione della correzione differenziale

## 14.9 Esempio: Asteroide 203 Pompeja

### 14.9.1 Definizione del Problema

- Oggetto: 203 Pompeja (astroide della Fascia Principale)
- Osservazioni: 100 misure RA/Dec
- Arco temporale: 60 giorni
- Osservatorio: 500 (geocentrico), F51 (Pan-STARRS)
- Orbita iniziale: Da JPL Horizons

### 14.9.2 Risultati

```

1 // Caricare osservazioni da file formato MPC
2 std::vector<Observation> obs = load_mpc_observations("pompeja.obs");
3 std::cout << "Caricate " << obs.size() << " osservazioni\n";
4
5 // Orbita iniziale da Horizons
6 Vector6d y0_initial = /* ... da JPL ... */;
7 double epoch = 2460000.5; // JD
8
9 // Modello di forze
```

```
10 auto forces = std::make_shared<ForceModel>();
11 forces->add_perturbation(std::make_shared<SunGravity>());
12 forces->add_perturbation(std::make_shared<
13     JupiterPerturbation>());
14 forces->add_perturbation(std::make_shared<
15     SaturnPerturbation>());

16 // Effemeridi
17 SpiceInterface spice;
18 spice.load_kernel("de440.bsp");

19 // Eseguire correzione differenziale
20 try {
21     auto result = differential_correction(y0_initial, epoch
22         , obs, *forces, spice);

23     std::cout << "Convergenza in " << result.iterations <<
24         " iterazioni\n";
25     std::cout << "RMS = " << result.rms << " arcosec\n";

26     // Stampare elementi orbitali
27     OrbitalElements elem = OrbitalElements::from_cartesian(
28         result.state, epoch);
29     std::cout << "\nOrbita migliorata:\n";
30     std::cout << "a = " << elem.a << " +/- " << sqrt(result
31         .covariance(0,0)) << " AU\n";
32     std::cout << "e = " << elem.e << " +/- " << sqrt(result
33         .covariance(1,1)) << "\n";
34     std::cout << "i = " << elem.i * RAD_TO_DEG << " deg\n";

35     // Residui maggiori
36     std::sort(result.residuals.begin(), result.residuals.
37         end(), std::greater<>());
38     std::cout << "\nTop 5 residui:\n";
39     for (int i = 0; i < 5; ++i) {
40         std::cout << i+1 << ". " << result.residuals[i] <<
41             " arcosec\n";
42     }
43 }
```

```

39
40 } catch (const std::exception& e) {
41     std::cerr << "Errore: " << e.what() << "\n";
42 }
```

Listing 14.2: Esecuzione DC su Pompeja

**Output tipico:**

Caricate 100 osservazioni  
 Convergenza in 5 iterazioni  
 RMS = 0.658 arcosec

Orbita migliorata:

$a = 2.7436 \pm 0.000001$  AU  
 $e = 0.0624 \pm 0.000005$   
 $i = 11.743$  deg

Top 5 residui:  
 1. 2.34 arcosec  
 2. 1.98 arcosec  
 3. 1.76 arcosec  
 4. 1.65 arcosec  
 5. 1.54 arcosec

**14.9.3 Interpretazione**

- **RMS = 0.658"**: Eccellente adattamento, coerente con precisione astrometria CCD
- **5 iterazioni**: Convergenza rapida indica buona orbita iniziale
- $\sigma_a = 10^{-6}$  AU: Semiasse maggiore determinato a 150 km
- **Residui maggiori <2.5"**: Nessun outlier ovvio
- **Covarianza**: Incertezza formale, propagare per errore effemeridi

## 14.10 Risoluzione Problemi

### 14.10.1 Non-Convergenza

**Sintomi:** RMS oscilla o aumenta.

**Cause:**

1. Orbita iniziale scadente (troppo lontana dalla verità)
2. Outlier che dominano il fit
3. Modello di forze inadeguato
4. Problemi numerici (matrice normale mal condizionata)

**Soluzioni:**

- Migliorare IOD
- Abilitare pesatura robusta
- Aggiungere perturbazioni mancanti
- Regolarizzare matrice normale

### 14.10.2 RMS Elevato

**Sintomi:** RMS  $> 2''$  per osservazioni moderne.

**Cause:**

- Errori sistematici nelle osservazioni
- Coordinate osservatorio errate
- Errori di temporizzazione
- Perturbazioni mancanti (es., incontro ravvicinato)

**Diagnosi:** Graficare residui vs. tempo, magnitudine, osservatorio.

### 14.10.3 Residui Piccoli ma Orbita Sbagliata

**Sintomi:** RMS < 0.5" ma predizioni effemeridi falliscono.

**Causa:** Arco corto + degenerazione. Molte orbite si adattano ugualmente bene su archi brevi.

**Soluzione:** Acquisire osservazioni su arco più lungo (>30 giorni per fascia principale, >7 giorni per NEA).

## 14.11 Sommario

Punti chiave sulla correzione differenziale:

1. I **minimi quadrati** minimizzano la somma pesata dei residui O-C al quadrato
2. Le **equazioni normali**  $\mathbf{N}\Delta\mathbf{y}_0 = \mathbf{b}$  vengono risolte iterativamente
3. Le **derivate parziali** vengono calcolate via regola della catena con STM
4. Le **derivate geometriche** relazionano RA/Dec alla posizione topocentrica
5. **Convergenza** tipicamente in 3-10 iterazioni
6. La **matrice di covarianza**  $\mathbf{C} = \mathbf{N}^{-1}$  fornisce l'incertezza formale
7. L'**RMS** indica qualità del fit; obiettivo <1" per CCD moderno
8. La **pesatura robusta** riduce il peso degli outlier
9. L'**esempio Pompeja** dimostra il workflow completo

Il prossimo capitolo copre l'analisi dei residui per valutazione qualità e rilevamento outlier.



# Capitolo 15

## Analisi dei Residui

### 15.1 Introduzione

L'**analisi dei residui** è l'esame delle differenze tra valori osservati e calcolati (O-C) per valutare la qualità dell'orbita e diagnosticare problemi.

**Obiettivi:**

- Validare la qualità dell'adattamento orbitale
- Identificare outlier ed errori sistematici
- Valutare i pesi delle osservazioni
- Rilevare inadeguatezze del modello di forze
- Stimare incertezze realistiche

### 15.2 Tipi di Residui

#### 15.2.1 Residui Post-Fit

Dopo la convergenza della correzione differenziale:

$$r_i = o_i - c_i(\mathbf{y}_0^*) \quad (15.1)$$

dove  $\mathbf{y}_0^*$  è l'orbita conversa.

Per RA/Dec:

$$\Delta\alpha_i = (\alpha_{\text{oss}} - \alpha_{\text{calc}}) \cos \delta_{\text{oss}} \quad (15.2)$$

$$\Delta\delta_i = \delta_{\text{oss}} - \delta_{\text{calc}} \quad (15.3)$$

Nota: Moltiplicare  $\Delta\alpha$  per  $\cos \delta$  per ottenere la separazione lineare.

### 15.2.2 Residui Normalizzati

Scalare per l'incertezza di osservazione:

$$\zeta_i = \frac{r_i}{\sigma_i} \quad (15.4)$$

Distribuzione attesa:  $\zeta_i \sim \mathcal{N}(0, 1)$  se i pesi sono corretti.

### 15.2.3 Residui Standardizzati

Tenere conto della correlazione nel fit:

$$\xi_i = \frac{r_i}{\sigma_i \sqrt{1 - h_{ii}}} \quad (15.5)$$

dove  $h_{ii}$  è l' $i$ -esimo elemento diagonale della matrice hat  $\mathbf{H}(\mathbf{H}^T \mathbf{W} \mathbf{H})^{-1} \mathbf{H}^T \mathbf{W}$ .

## 15.3 Metriche di Qualità

### 15.3.1 Radice Media Quadratica (RMS)

$$\text{RMS} = \sqrt{\frac{\sum_i w_i r_i^2}{\sum_i w_i}} \quad (15.6)$$

Per pesi uguali:

$$\text{RMS} = \sqrt{\frac{1}{m} \sum_i r_i^2} \quad (15.7)$$

**Interpretazione:**

- RMS < 0.5": Eccellente (CCD moderno con catalogo Gaia)
- RMS ~ 1": Buono (CCD tipico)

- RMS  $\sim 2"$ : Discreto (osservazioni amatoriali)
- RMS  $> 5"$ : Scarso (sospettare errori sistematici)

### 15.3.2 RMS Pesato

Per pesi disuguali:

$$\text{WRMS} = \sqrt{\frac{\chi^2}{m-n}} \quad (15.8)$$

dove  $m$  è il numero di osservazioni,  $n = 6$  è il numero di parametri.

### 15.3.3 Test Chi-Quadro

Sotto modello e pesi corretti:

$$\chi^2 = \sum_i w_i r_i^2 \sim \chi^2_{m-n} \quad (15.9)$$

Statistica di test:

$$\chi^2_{\text{rid}} = \frac{\chi^2}{m-n} \quad (15.10)$$

**Interpretazione:**

- $\chi^2_{\text{rid}} \approx 1$ : Pesi coerenti con errori
- $\chi^2_{\text{rid}} \gg 1$ : Incertezze sottostimate o errore del modello
- $\chi^2_{\text{rid}} \ll 1$ : Incertezze sovrastimate

### 15.3.4 Residuo Massimo

$$r_{\max} = \max_i |r_i| \quad (15.11)$$

Segnalare osservazioni con  $|r_i| > 3\sigma$  come potenziali outlier.

## 15.4 Grafici dei Residui

### 15.4.1 Residui vs. Tempo

Graficare  $r_i$  vs.  $t_i$ . Cercare:

- **Dispersione casuale:** Bene
- **Tendenze:** Errore sistematico (es., perturbazione mancante, bias catalogo)
- **Salti:** Cambio condizioni osservative o strumentazione
- **Variazione periodica:** Errore modello orbitale

#### 15.4.2 Residui vs. Osservatorio

Graficare  $r_i$  vs. codice osservatorio. Cercare:

- **Dispersione uniforme:** Bene
- **Bias per sito specifico:** Sistematico specifico del sito (temporizzazione, coordinate, catalogo)

#### 15.4.3 Residui vs. Magnitudine

Graficare  $r_i$  vs. magnitudine apparente. Cercare:

- **Nessuna tendenza:** Bene
- **Dispersione crescente con magnitudine:** Il rumore fotonico domina
- **Tendenza bias:** Errore equazione magnitudine in astrometria

#### 15.4.4 Residui RA vs. Dec

Graficare  $\Delta\alpha \cos \delta$  vs.  $\Delta\delta$ . Cercare:

- **Dispersione circolare:** Errori isotropi
- **Dispersione ellittica:** Errori correlati (es., errore tracking)
- **Pattern radiale:** Errore di distanza

#### 15.4.5 Grafico di Probabilità Normale

Graficare residui normalizzati ordinati  $\zeta_{(i)}$  vs. quantili normali attesi. Dovrebbe essere approssimativamente lineare se gli errori sono gaussiani.

## 15.5 Rilevamento Outlier

### 15.5.1 Metodo Soglia

Segnalare osservazione se:

$$|r_i| > k\sigma_i \quad (15.12)$$

Tipico  $k = 3$  (regola 3-sigma) o  $k = 2.5$  (più aggressivo).

### 15.5.2 Criterio di Chauvenet

Rifiutare osservazione se probabilità di deviazione maggiore è  $< 1/(2m)$ :

$$P(|\zeta| > |\zeta_i|) < \frac{1}{2m} \quad (15.13)$$

### 15.5.3 Deviazione Assoluta Mediana (MAD)

Alternativa robusta alla deviazione standard:

$$\text{MAD} = \text{mediana}(|r_i - \text{mediana}(r_i)|) \quad (15.14)$$

MAD scalato:  $\hat{\sigma} = 1.4826 \times \text{MAD}$

Segnalare se  $|r_i - \text{mediana}| > k\hat{\sigma}$ .

### 15.5.4 Rimozione Iterativa Outlier

1. Eseguire correzione differenziale
2. Identificare outlier (es.,  $|r_i| > 3\sigma$ )
3. Rimuovere o ridurre peso outlier
4. Ripetere finché non si trovano più outlier

**Attenzione:** Non rimuovere troppe osservazioni. Tipicamente rimuovere  $< 5\%$  del dataset.

## 15.6 Diagnosi Errori Sistematici

### 15.6.1 Errori di Temporizzazione

**Sintomo:** Residui correlati con direzione moto apparente.

**Test:** Calcolare residui lungo-traccia vs. croce-traccia:

$$r_{\parallel} = \Delta\alpha \cos \delta \cos \theta + \Delta\delta \sin \theta \quad (15.15)$$

$$r_{\perp} = -\Delta\alpha \cos \delta \sin \theta + \Delta\delta \cos \theta \quad (15.16)$$

dove  $\theta = \arctan 2(\dot{\delta}, \dot{\alpha} \cos \delta)$  è la direzione del moto.

Se  $|r_{\parallel}| \gg |r_{\perp}|$ , sospettare errore temporizzazione.

### 15.6.2 Bias Catalogo

**Sintomo:** Offset sistematico in tutti i residui da un catalogo.

**Test:** Confrontare risultati usando diversi cataloghi stellari (Gaia DR3, UCAC4, ecc.).

**Soluzione:** Usare Gaia DR3 (più accurato, 0.02-0.05" sistematico).

### 15.6.3 Errore Coordinate Osservatorio

**Sintomo:** Offset sistematico per un osservatorio, varia con posizione oggetto.

**Test:** Verificare coordinate osservatorio MPC vs. valori ITRF.

**Soluzione:** Aggiornare coordinate, specialmente per nuovi osservatori.

### 15.6.4 Correzione Light-Time

**Sintomo:** Residui mostrano tendenza quadratica su arco lungo.

**Test:** Verificare che la correzione light-time sia applicata.

**Soluzione:** Iterare light-time (Capitolo 12).

### 15.6.5 Inadeguatezza Modello Forze

**Sintomo:** Residui mostrano tendenza liscia correlata con posizioni planetarie.

**Test:** Aggiungere perturbazioni mancanti (Giove, Saturno, Terra, ecc.).

**Soluzione:** Includere tutti i pianeti con  $|a_{\text{pert}}/a_{\text{Sole}}| > 10^{-9}$ .

## 15.7 Esempio di Analisi

Struttura dati per l'analisi:

```

1 struct ResidualAnalysis {
2     double rms;
3     double wrms;
4     double chi2_red;
5     double max_residual;
6     std::vector<double> residuals;
7     std::vector<double> normalized_residuals;
8     std::vector<int> outlier_indices;
9 };

```

Listing 15.1: Struttura ResidualAnalysis

Funzione principale di analisi:

```

1 ResidualAnalysis analyze_residuals(
2     const std::vector<Observation>& obs,
3     const Vector6d& state, double epoch,
4     const ForceModel& forces,
5     const EphemerisInterface& ephemeris)
6 {
7     ResidualAnalysis result;
8     double chi2 = 0.0;
9
10    for (size_t i = 0; i < obs.size(); ++i) {
11        // Propagare e calcolare residuo
12        Vector6d y = propagate(state, epoch, obs[i].epoch,
13                                forces);
14        Vector2d computed = predict_observation(y, obs[i].
15                                                epoch,
16                                                obs[i].
17                                                obs_code,
18
19                                                ephemeris
20 );
21
22        double dRA = (obs[i].ra - computed(0)) * cos(obs[i].
23                                .dec)
24    }
25
26    result.rms = sqrt(chi2 / obs.size());
27    result.wrms = sqrt(chi2 / (obs.size() - 6));
28    result.chi2_red = chi2 / (obs.size() - 6);
29    result.max_residual = max_residual;
30    result.normalized_residuals = normalized_residuals;
31    result.outlier_indices = outlier_indices;
32
33    return result;
34 }

```

```
17         * RAD_TO_ARCSEC;
18     double dDec = (obs[i].dec - computed(1)) *
19                 RAD_TO_ARCSEC;
20     double residual = sqrt(dRA*dRA + dDec*dDec);
21
22     result.residuals.push_back(residual);
23
24     // Residuo normalizzato e outlier detection
25     double sigma = sqrt(obs[i].sigma_ra*obs[i].sigma_ra
26                          +
27                          obs[i].sigma_dec*obs[i].
28                          sigma_dec)
29                         * RAD_TO_ARCSEC;
30     double zeta = residual / sigma;
31     result.normalized_residuals.push_back(zeta);
32
33     chi2 += (residual/sigma) * (residual/sigma);
34
35     if (residual > result.max_residual)
36         result.max_residual = residual;
37
38     if (std::abs(zeta) > 3.0)
39         result.outlier_indices.push_back(i);
40 }
41
42 // Calcolare metriche finali
43 int dof = 2 * obs.size() - 6;
44 result.rms = sqrt(chi2 / obs.size());
45 result.wrms = sqrt(chi2 / dof);
46 result.chi2_red = chi2 / dof;
47
48 return result;
49 }
```

Listing 15.2: Calcolo residui e metriche

**Stampare report:**

```
1 void print_residual_report(const ResidualAnalysis& analysis
2 ) {
```

```

2     std::cout << "Report Analisi Residui\n";
3     std::cout << "=====\\n";
4     std::cout << "Numero osservazioni: "
5             << analysis.residuals.size() << "\\n";
6     std::cout << "RMS: " << analysis.rms << " arcsec\\n";
7     std::cout << "RMS pesato: " << analysis.wrms << "
8             arcsec\\n";
9     std::cout << "Chi-quadro ridotto: " << analysis.
10            chi2_red << "\\n";
11     std::cout << "Outlier (>3-sigma): "
12             << analysis.outlier_indices.size() << "\\n";
13
14     if (!analysis.outlier_indices.empty()) {
15         std::cout << "\\nIndici outlier:\\n";
16         for (int idx : analysis.outlier_indices) {
17             std::cout << " " << idx << ":" "
18                     << analysis.residuals[idx] << " arcsec
19                     \\n";
20     }
21 }

```

Listing 15.3: Report analisi residui

### 15.7.1 Output Esempio

```

Report Analisi Residui
=====
Numero osservazioni: 100
RMS: 0.658 arcsec
RMS pesato: 0.661 arcsec
Chi-quadro ridotto: 1.02
Residuo massimo: 2.34 arcsec
Outlier (>3-sigma): 2

```

Indici outlier:

```

34: 2.34 arcsec
78: 2.11 arcsec

```

**Interpretazione:**

- RMS  $\approx 0.66''$ : Adattamento eccellente
- $\chi^2_{\text{rid}} \approx 1$ : I pesi sono appropriati
- 2 outlier: Tipico per 100 osservazioni (2%)
- Distribuzione approssimativamente normale

## 15.8 Miglioramento Qualità Orbita

### 15.8.1 Quando RMS è Troppo Grande

**Azioni:**

1. Verificare outlier, rimuovere se  $> 3\sigma$
2. Verificare coordinate osservatorio
3. Verificare accuratezza temporizzazione
4. Aggiungere perturbazioni mancanti
5. Usare catalogo stellare migliore (Gaia DR3)
6. Considerare forze non gravitazionali (se cometa)

### 15.8.2 Quando $\chi^2_{\text{rid}} \gg 1$

**Cause:**

- Incertezze osservative sottostimate
- Errori sistematici non modellati
- Modello forze inadeguato

**Soluzioni:**

- Gonfiare incertezze per fattore  $\sqrt{\chi^2_{\text{rid}}}$
- Investigare errori sistematici
- Migliorare modello forze

### 15.8.3 Quando Poche Osservazioni Disponibili

Per  $m < 20$  osservazioni:

- Singolo outlier può dominare  $\chi^2$
- Usare metodi robusti (MAD, pesi Huber)
- Essere conservativi nel rifiutare dati
- Cercare osservazioni aggiuntive

## 15.9 Reporting Risultati

### 15.9.1 Statistiche Sommarie

Riportare sempre:

- Numero osservazioni
- Arco temporale
- Osservatori
- RMS o WRMS
- Numero outlier rifiutati

### 15.9.2 Interpretazione Covarianza

**Incertezza formale:** Da  $\mathbf{C} = \mathbf{N}^{-1}$ .

**Incertezza realistica:** Scalare per  $\sqrt{\chi_{\text{rid}}^2}$  se  $\chi_{\text{rid}}^2 > 1$ .

### 15.9.3 Valutazione Arco Orbitale

- **Arco corto** ( $< 10$  giorni): Orbita mal vincolata, grande incertezza estrapolazione
- **Arco medio** (10-60 giorni): Ragionevole per effemeridi su arco simile
- **Arco lungo** ( $> 1$  anno): Ben vincolata, estrapolazione affidabile

## 15.10 Sommario

Punti chiave sull'analisi dei residui:

1. I **residui post-fit**  $r_i = o_i - c_i$  valutano qualità fit
2. L'**RMS** misura fit complessivo; obiettivo  $<1''$  per osservazioni moderne
3. Il **test chi-quadro** valida pesi; aspettarsi  $\chi^2_{\text{rid}} \approx 1$
4. I **grafici residui** diagnosticano errori sistematici
5. Gli **outlier** vengono rilevati via soglia  $3\sigma$  o metodi robusti
6. Gli **errori sistematici** vengono identificati per correlazioni con tempo, osservatorio, magnitudine
7. Il **modello forze** viene validato esaminando tendenze residui
8. Le **incertezze realistiche** tengono conto di errori sistematici via  $\chi^2_{\text{rid}}$

Con la correzione differenziale e l'analisi dei residui, completiamo il workflow centrale di determinazione orbitale. I prossimi capitoli coprono l'implementazione software.

# **Parte IV**

## **Implementazione della Libreria AstDyn**



# **Capitolo 16**

## **Architettura della Libreria**

[Capitolo da tradurre]



# **Capitolo 17**

## **Moduli Core**

[Capitolo da tradurre]



# Capitolo 18

## Sistema Parser

### 18.1 Introduzione

AstDyn supporta molteplici formati di file per elementi orbitali attraverso un sistema di parser configurabile. Il design utilizza il **Pattern Strategy** con una factory per la creazione dei parser.

#### 18.1.1 Formati Supportati

- **OrbFit .eq1:** Elementi equinoziali (formato legacy)
- **OrbFit .eq0:** Elementi kepleriani
- **OrbFit .rwo:** Residui e pesi (futuro)
- **MPC:** Osservazioni in formato a 80 colonne
- **JSON:** Formato strutturato moderno (futuro)

### 18.2 Interfaccia Parser

#### 18.2.1 Classe Base IParser

```
1 namespace astdyn {  
2     namespace io {  
3           
4             class IParser {  
5                 public:
```

```
6     virtual ~IParser() = default;  
7  
8     // Analizza file e restituisce elementi orbitali  
9     virtual coordinates::OrbitalElements parse(  
10        const std::string& filename) = 0;  
11  
12    // Ottiene nome formato file  
13    virtual std::string format_name() const = 0;  
14  
15    // Verifica se il file puo' essere analizzato da questo  
16    // parser  
17    virtual bool can_parse(const std::string& filename)  
18        const = 0;  
19};  
}  
} // namespace
```

Listing 18.1: Interfaccia parser

### 18.2.2 Vantaggi del Design

1. **Estensibilità**: Aggiungere nuovi formati senza modificare codice esistente
2. **Testabilità**: Ogni parser testato indipendentemente
3. **Flessibilità**: Selezione formato a runtime
4. **Manutenibilità**: Chiara separazione delle responsabilità'

## 18.3 Parser OrbFit .eq1

### 18.3.1 Specifica del Formato

File elementi equinoziali OrbFit (.eq1):

```
! Object name  
ObjectName  
! Epoch (MJD)  
58000.0
```

```

! Equinoctial elements: h, k, p, q, lambda, a
0.01234
-0.00567
0.08901
-0.12345
2.34567
2.7681234

```

Gli elementi equinoziali evitano singolarita' a  $e = 0$  e  $i = 0$ :

$$h = e \sin(\omega + \Omega) \quad (18.1)$$

$$k = e \cos(\omega + \Omega) \quad (18.2)$$

$$p = \tan(i/2) \sin \Omega \quad (18.3)$$

$$q = \tan(i/2) \cos \Omega \quad (18.4)$$

$$\lambda = M + \omega + \Omega \quad (18.5)$$

$$a = \text{semiasse maggiore} \quad (18.6)$$

### 18.3.2 Implementazione

```

1  namespace astdyn {
2      namespace io {
3
4          class OrbFitEQ1Parser : public IParser {
5      public:
6          coordinates::OrbitalElements parse(const std::string&
7              filename) override {
8              std::ifstream file(filename);
9              if (!file) {
10                  throw std::runtime_error("Cannot open file: " +
11                      filename);
12              }
13
14              std::string line;
15
16              // Salta commento e leggi nome oggetto
17              std::getline(file, line); // "! Object name"
18              std::string object_name;

```

```
17     std::getline(file, object_name);

18

19     // Salta commento e leggi epoca
20     std::getline(file, line);    // "! Epoch (MJD)"
21     double mjd;
22     file >> mjd;
23     double epoch = mjd + 2400000.5;    // Converti a JD
24

25     // Salta commento e leggi elementi equinoziali
26     std::getline(file, line);    // newline
27     std::getline(file, line);    // "! Equinoctial...""
28

29     double h, k, p, q, lambda, a;
30     file >> h >> k >> p >> q >> lambda >> a;
31

32     // Converti equinoziali a kepleriani
33     double e = std::sqrt(h*h + k*k);
34     double i = 2.0 * std::atan(std::sqrt(p*p + q*q));
35

36     double Omega, omega_plus_Omega;
37     if (p != 0.0 || q != 0.0) {
38         Omega = std::atan2(p, q);
39     } else {
40         Omega = 0.0;
41     }

42     if (h != 0.0 || k != 0.0) {
43         omega_plus_Omega = std::atan2(h, k);
44     } else {
45         omega_plus_Omega = 0.0;
46     }

47     double omega = omega_plus_Omega - Omega;
48     double M = lambda - omega_plus_Omega;

49

50     // Normalizza angoli a [0, 2pi)
51     M = math::normalize_angle(M);
52     omega = math::normalize_angle(omega);
```

```

55     Omega = math::normalize_angle(Omega);
56
57     // Crea elementi kepleriani
58     coordinates::KeplerianElements elem;
59     elem.a = a;
60     elem.e = e;
61     elem.i = i;
62     elem.Omega = Omega;
63     elem.omega = omega;
64     elem.M = M;
65     elem.epoch = epoch;
66     elem.name = object_name;
67
68     return elem;
69 }
70
71 std::string format_name() const override {
72     return "OrbFit Equinoctial (.eq1)";
73 }
74
75 bool can_parse(const std::string& filename) const
76     override {
77     return filename.ends_with(".eq1");
78 }
79
80 } } // namespace

```

Listing 18.2: Implementazione OrbFitEQ1Parser

### 18.3.3 Utilizzo

```

1 #include <astdyn/io/parsers/OrbFitEQ1Parser.hpp>
2
3 using namespace astdyn;
4
5 io::OrbFitEQ1Parser parser;
6 auto elements = parser.parse("pompeja.eq1");

```

```
7 std::cout << "Oggetto: " << elements.name << "\n";
8 std::cout << "Epoca: " << elements.epoch << " JD\n";
9 std::cout << "a = " << elements.a << " AU\n";
10 std::cout << "e = " << elements.e << "\n";
```

## 18.4 Factory Parser

### 18.4.1 Pattern Factory

Selezione automatica del parser basata sull'estensione del file.

```
1 namespace astdyn {
2 namespace io {
3
4 class ParserFactory {
5 public:
6     // Registra un parser per estensioni specifiche
7     static void register_parser(
8         const std::string& extension,
9         std::function<std::unique_ptr<IParser>()> creator)
10    {
11
12        parsers_[extension] = creator;
13    }
14
15    // Crea parser per il filename dato
16    static std::unique_ptr<IParser> create(const std::
17        string& filename) {
18        // Estrai estensione
19        size_t dot = filename.find_last_of('.');
20        if (dot == std::string::npos) {
21            throw std::invalid_argument("No file extension
22                found");
23
24        std::string ext = filename.substr(dot);
```

```

24     // Cerca parser
25     auto it = parsers_.find(ext);
26     if (it == parsers_.end()) {
27         throw std::invalid_argument("No parser for
28             extension: " + ext);
29     }
30
31     return it->second();
32 }
33
34 // Elenca formati supportati
35 static std::vector<std::string> supported_formats() {
36     std::vector<std::string> formats;
37     for (const auto& [ext, _] : parsers_) {
38         formats.push_back(ext);
39     }
40     return formats;
41 }
42
43 private:
44     static std::map<std::string, std::function<std::unique_ptr<IParser>()>>
45         parsers_;
46 }
47
48 // Inizializza mappa statica
49 std::map<std::string, std::function<std::unique_ptr<IParser>()>>
50 ParserFactory::parsers_ = {
51     {".eq1", []() { return std::make_unique<OrbFitEQ1Parser>(); }},
52     {".eq0", []() { return std::make_unique<OrbFitEQ0Parser>(); }},
53 };
54 } // namespace

```

Listing 18.3: Classe ParserFactory

### 18.4.2 Utilizzo

```
1 #include <astdyn/io/ParserFactory.hpp>
2
3 using namespace astdyn;
4
5 // Selezione automatica parser
6 std::string filename = "asteroid.eq1";
7 auto parser = io::ParserFactory::create(filename);
8 auto elements = parser->parse(filename);
9
10 // Elenca formati supportati
11 std::cout << "Formati supportati:\n";
12 for (const auto& fmt : io::ParserFactory::supported_formats
13 () {
14     std::cout << "    " << fmt << "\n";
15 }
```

## 18.5 Parser Osservazioni MPC

### 18.5.1 Formato 80 Colonne

Formato standard del Minor Planet Center (come visto nel Capitolo 12).

**Esempio:**

203	C2024 01 15.13542 10 23 24.12 +12 34 05.6	18.2 V	F51
-----	---	--------	-----

Colonne:

- 1-5: Numero oggetto o designazione provvisoria
- 15-32: Data osservazione (YYYY MM DD.ddddd)
- 33-44: AR (HH MM SS.sss)
- 45-56: Dec (sDD MM SS.ss)
- 66-70: Magnitudine
- 71: Banda
- 78-80: Codice osservatorio

### 18.5.2 MPCObservationParser

```
33     int dec_m = std::stoi(line.substr(48, 2));
34     double dec_s = std::stod(line.substr(51, 5));
35     o.dec = (dec_d + dec_m/60.0 + dec_s/3600.0) *
36         DEG_TO_RAD;
37     if (dec_sign == '-') o.dec = -o.dec;
38
39     // Estrai magnitudine (colonne 66-70)
40     if (line.length() >= 70 && line[65] != ' ') {
41         o.magnitude = std::stod(line.substr(65, 5))
42             ;
43     }
44
45     // Estrai banda (colonna 71)
46     if (line.length() >= 71) {
47         o.band = line[70];
48     }
49
50     // Estrai codice osservatorio (colonne 78-80)
51     if (line.length() >= 80) {
52         o.obs_code = line.substr(77, 3);
53     }
54
55     obs.push_back(o);
56 }
57
58 return obs;
};
```

Listing 18.4: Parser osservazioni MPC

## 18.6 Parser Personalizzati

### 18.6.1 Creazione di un Nuovo Parser

Per aggiungere supporto per un nuovo formato:

#### 1. Ereditare da IParser

2. **Implementare parse()**: Logica parsing specifica del formato
3. **Implementare format\_name()**: Nome descrittivo
4. **Implementare can\_parse()**: Controllo estensione/contenuto
5. **Registrare nella Factory**

**Esempio:** Parser JSON per elementi orbitali moderni

```

1  class JSONOrbitalParser : public IParser {
2
3  public:
4      coordinates::OrbitalElements parse(const std::string&
5          filename) override {
6          std::ifstream file(filename);
7          // Usa libreria JSON (es. nlohmann/json)
8          json j;
9          file >> j;
10
11         coordinates::KeplerianElements elem;
12         elem.name = j["name"];
13         elem.epoch = j["epoch"];
14         elem.a = j["elements"]["a"];
15         elem.e = j["elements"]["e"];
16         elem.i = j["elements"]["i"] * DEG_TO_RAD;
17         elem.Omega = j["elements"]["Omega"] * DEG_TO_RAD;
18         elem.omega = j["elements"]["omega"] * DEG_TO_RAD;
19         elem.M = j["elements"]["M"] * DEG_TO_RAD;
20
21         return elem;
22     }
23
24     std::string format_name() const override {
25         return "JSON Orbital Elements";
26     }
27
28     bool can_parse(const std::string& filename) const
29     override {
30         return filename.ends_with(".json");
31     }

```

```
29 };  
30  
31 // Registra nella factory  
32 ParserFactory::register_parser(".json",  
33 []() { return std::make_unique<JSONOrbitalParser>(); })  
34 ;
```

Listing 18.5: Parser JSON personalizzato

## 18.6.2 Formato JSON Esempio

```
{  
    "name": "Pompeja",  
    "number": 203,  
    "epoch": 2458000.5,  
    "elements": {  
        "a": 2.7436,  
        "e": 0.0624,  
        "i": 11.74,  
        "Omega": 121.45,  
        "omega": 45.67,  
        "M": 234.56  
    },  
    "covariance": {  
        "sigma_a": 1.2e-8,  
        "sigma_e": 3.4e-7  
    }  
}
```

## 18.7 Gestione Errori

### 18.7.1 Categorie di Errori

1. **File non trovato:** std::runtime\_error
2. **Formato non valido:** std::invalid\_argument
3. **Dati corrotti:** std::runtime\_error

4. Parser non trovato: std::invalid\_argument

### 18.7.2 Gestione Robusta

```

1 try {
2     auto parser = io::ParserFactory::create(filename);
3     auto elements = parser->parse(filename);
4
5     // Usa elementi
6     std::cout << "Parsed: " << elements.name << "\n";
7
8 } catch (const std::invalid_argument& e) {
9     std::cerr << "Parser error: " << e.what() << "\n";
10    std::cerr << "Supported formats:\n";
11    for (const auto& fmt : io::ParserFactory::
12        supported_formats()) {
13        std::cerr << " " << fmt << "\n";
14    }
15 } catch (const std::runtime_error& e) {
16     std::cerr << "File error: " << e.what() << "\n";
17 } catch (const std::exception& e) {
18     std::cerr << "Unexpected error: " << e.what() << "\n";
}

```

### 18.7.3 Validazione

```

1 auto elements = parser->parse(filename);
2
3 // Valida elementi analizzati
4 if (!elements.is_valid()) {
5     std::cerr << "Warning: Invalid orbital elements\n";
6
7     if (elements.e < 0 || elements.e >= 1) {
8         std::cerr << " Eccentricita' fuori range: " <<
9             elements.e << "\n";
10    }
11
12    if (elements.a <= 0) {

```

```
12     std::cerr << "    Semiasse maggiore negativo: " <<
13         elements.a << "\n";
14 }
```

## 18.8 Testing

### 18.8.1 Unit Test

```
1 TEST(ParserTest, OrbFitEQ1_ValidFile) {
2     io::OrbFitEQ1Parser parser;
3     auto elem = parser.parse("test_data/pompeja.eq1");
4
5     EXPECT_EQ(elem.name, "Pompeja");
6     EXPECT_NEAR(elem.a, 2.7436, 1e-4);
7     EXPECT_NEAR(elem.e, 0.0624, 1e-4);
8     EXPECT_NEAR(elem.i * RAD_TO_DEG, 11.74, 0.01);
9 }
10
11 TEST(ParserTest, Factory_AutoSelect) {
12     auto parser = io::ParserFactory::create("test.eq1");
13     EXPECT_EQ(parser->format_name(), "OrbFit Equinoctial (.
14         eq1)");
15
16 TEST(MPCTest, ParseObservations) {
17     auto obs = io::MPCObservationParser::parse_file("pompeja.obs");
18     EXPECT_GT(obs.size(), 0);
19     EXPECT_EQ(obs[0].obs_code, "F51"); // Pan-STARRS
20 }
```

## 18.9 Sommario

Caratteristiche del sistema parser:

1. **Design basato su interfacce:** Classe base IParser

2. **Pattern factory:** Selezione automatica formato
3. **Estensibilità:** Facile aggiungere nuovi formati
4. **Formati multipli:** OrbFit, MPC, futuro JSON
5. **Gestione errori robusta:** Validazione ed eccezioni
6. **Ben testato:** Unit test per ogni parser

Il sistema separa con successo il codice specifico del formato dagli algoritmi core.



# Capitolo 19

## Riferimento API

### 19.1 Panoramica

Questo capitolo fornisce la documentazione di riferimento completa per l'API pubblica di AstDyn. Tutte le classi, metodi e funzioni sono documentati con parametri, valori di ritorno ed eccezioni.

#### 19.1.1 Organizzazione

API organizzata per namespace:

- `astdyn::constants`: Costanti fisiche e astronomiche
- `astdyn::math`: Utility matematiche
- `astdyn::time`: Sistemi temporali e conversioni
- `astdyn::coordinates`: Sistemi di coordinate e trasformazioni
- `astdyn::orbit`: Classi elementi orbitali
- `astdyn::propagation`: Propagazione orbitale
- `astdyn::observations`: Gestione osservazioni
- `astdyn::orbit_determination`: Algoritmi determinazione orbitale
- `astdyn::io`: Input/output e parser
- `astdyn::ephemeris`: Interfacce effemeridi

## 19.2 Costanti Core

### 19.2.1 astdyn::constants

```
1 namespace astdyn {
2     namespace constants {
3
4         // Costanti fondamentali
5         constexpr double C = 299792458.0;                                // Velocità
6                                         // luce (m/s)
6         constexpr double G = 6.67430e-11;                                 // Costante
7                                         // gravitazionale (SI)
7         constexpr double AU = 1.495978707e11;                            // Unità
8                                         // astronomica (m)
8
9         // Costanti temporali
10        constexpr double JD_J2000 = 2451545.0;                           // Epoca
11                                         // J2000.0
11        constexpr double DAYS_PER_CENTURY = 36525.0;                     // Secolo
12                                         // giuliano
12        constexpr double SECONDS_PER_DAY = 86400.0;                      // Secondi in
13                                         // un giorno
13
14         // Conversioni angolari
15        constexpr double DEG_TO_RAD = M_PI / 180.0;
16        constexpr double RAD_TO_DEG = 180.0 / M_PI;
17        constexpr double ARCSEC_TO_RAD = DEG_TO_RAD / 3600.0;
18        constexpr double RAD_TO_ARCSEC = 3600.0 * RAD_TO_DEG;
18
20         // Masse sistema solare (valori GM in AU^3/day^2)
21        constexpr double GM_SUN = 0.2959122082855911e-3;
22        constexpr double GM_MERCURY = 0.4912547451450812e-10;
23        constexpr double GM_VENUS = 0.7243452486162703e-9;
24        constexpr double GM_EARTH = 0.8887692390113509e-9;
25        constexpr double GM_MARS = 0.9549535105779258e-10;
26        constexpr double GM_JUPITER = 0.2825345909524226e-6;
27        constexpr double GM_SATURN = 0.8459715185680659e-7;
28        constexpr double GM_URANUS = 0.1292024916781969e-7;
```

```

29 constexpr double GM_NEPTUNE = 0.1524358900784276e-7;
30
31 } // namespace

```

## 19.3 Utility Matematiche

### 19.3.1 astdyn::math

#### normalize\_angle

```

1 double normalize_angle(double angle, double center = 0.0);

```

**Scopo:** Normalizza angolo nell'intervallo  $[center - \pi, center + \pi]$ .

**Parametri:**

- **angle:** Angolo in input (radiani)
- **center:** Centro dell'intervallo (default 0.0)

**Ritorna:** Angolo normalizzato

**Esempio:**

```

1 double angle = 7.0; // > 2*pi
2 double norm = math::normalize_angle(angle); // Ritorna
      0.716...

```

#### cross\_product

```

1 Vector3d cross_product(const Vector3d& a, const Vector3d& b
);

```

**Scopo:** Calcola prodotto vettoriale  $\mathbf{a} \times \mathbf{b}$ .

**Parametri:**

- **a:** Primo vettore
- **b:** Secondo vettore

**Ritorna:** Vettore prodotto vettoriale

### rotation\_matrix

```
1 Matrix3d rotation_matrix(double angle, int axis);
```

**Scopo:** Crea matrice di rotazione attorno ad asse coordinato.

**Parametri:**

- `angle`: Angolo di rotazione (radiani)
- `axis`: Indice asse (0=x, 1=y, 2=z)

**Ritorna:** Matrice di rotazione  $3 \times 3$

## 19.4 Sistemi Temporali

### 19.4.1 astdyn::time::TimeConverter

#### utc\_to\_tt

```
1 static double utc_to_tt(double jd_utc);
```

**Scopo:** Converte UTC a Terrestrial Time (TT).

**Parametri:**

- `jd_utc`: Giorno Giuliano in UTC

**Ritorna:** Giorno Giuliano in TT

**Nota:** Applica secondi intercalari e offset TT-TAI di 32.184s.

#### tt\_to\_tdb

```
1 static double tt_to_tdb(double jd_tt);
```

**Scopo:** Converte Terrestrial Time a Barycentric Dynamical Time.

**Parametri:**

- `jd_tt`: Giorno Giuliano in TT

**Ritorna:** Giorno Giuliano in TDB

**Nota:** Usa approssimazione periodica con accuratezza  $\pm 2\text{ms}$ .

## 19.5 Elementi Orbitali

### 19.5.1 astdyn::orbit::KeplerianElements

#### Definizione Classe

```

1  class KeplerianElements {
2
3     public:
4
5         double a;           // Semiasse maggiore (AU)
6         double e;           // Eccentricita'
7         double i;           // Inclinazione (rad)
8         double Omega;        // Nodo ascendente (rad)
9         double omega;        // Argomento perielio (rad)
10        double M;           // Anomalia media (rad)
11        double epoch;        // Epoca (JD)
12        std::string name;   // Nome oggetto
13
14        // Costruttori
15        KeplerianElements();
16        KeplerianElements(double a, double e, double i,
17                            double Omega, double omega, double M,
18                            double epoch);
19
20        // Conversioni
21        static KeplerianElements from_cartesian(
22            const Vector3d& pos, const Vector3d& vel,
23            double epoch, double mu = GM_SUN);
24
25        CartesianState to_cartesian(double mu = GM_SUN) const;
26
27        // Quantita' derivate
28        double period() const;           // Periodo orbitale
29                                (giorni)
30        double mean_motion() const;      // Moto medio (rad/
31                                giorno)
32        double perihelion_distance() const; // q = a(1-e)
33        double aphelion_distance() const; // Q = a(1+e)
34        double eccentric_anomaly() const; // E da M

```

```
31     double true_anomaly() const;           // f da E  
32  
33     // Validazione  
34     bool is_valid() const;  
35 };
```

## 19.6 Propagazione Orbitale

### 19.6.1 astdyn::propagation::OrbitPropagator

#### Definizione Classe

```
1 class OrbitPropagator {  
2 public:  
3     // Costruttore  
4     OrbitPropagator(std::shared_ptr<IIIntegrator> integrator  
5  
6         ,  
7             std::shared_ptr<ForceModel> forces);  
8  
9     // Propaga da epoca iniziale a finale  
10    Vector6d propagate(  
11        const Vector6d& initial_state,  
12        double t_initial,  
13        double t_final);  
14  
15    // Propaga a epoca singola  
16    Vector6d propagate_to_epoch(  
17        const KeplerianElements& elements,  
18        double target_epoch);  
19  
20    // Propaga con STM  
21    std::pair<Vector6d, Matrix6d> propagate_with_stm(  
22        const Vector6d& initial_state,  
23        double t_initial,  
24        double t_final);  
25  
26    // Configurazione
```

```

25     void set_tolerance(double tol);
26     void set_step_size(double h);
27     void enable_variational_equations(bool enable);
28 };

```

## 19.7 Osservazioni

### 19.7.1 astdyn::observations::Observation

```

1 struct Observation {
2     double epoch;           // Epoca osservazione (JD)
3     double ra;              // Ascensione retta (rad)
4     double dec;             // Declinazione (rad)
5     double sigma_ra;        // Errore AR (rad)
6     double sigma_dec;       // Errore Dec (rad)
7     std::string obs_code;   // Codice osservatorio MPC
8     double magnitude;      // Magnitudine apparente
9     char band;              // Banda fotometrica
10    std::string object_id; // ID oggetto
11 };

```

## 19.8 Determinazione Orbitale

### 19.8.1 astdyn::orbit\_determination::DifferentialCorrector

#### Metodo correct

```

1 DifferentialCorrection correct(
2     const KeplerianElements& initial_guess,
3     const std::vector<Observation>& observations,
4     const DifferentialCorrectionOptions& options);

```

**Scopo:** Esegue correzione differenziale per migliorare elementi orbitali.

**Parametri:**

- `initial_guess`: Elementi orbitali iniziali
- `observations`: Vettore osservazioni

- options: Opzioni correzione (tolleranza, iterazioni max)

**Ritorna:** Struttura DifferentialCorrection con:

- elements: Elementi corretti
- covariance: Matrice covarianza
- rms: RMS residui
- iterations: Numero iterazioni
- converged: Flag convergenza

## 19.9 Parser I/O

### 19.9.1 astdyn::io::ParserFactory

**create**

```
1 static std::unique_ptr<IParser> create(const std::string&
   filename);
```

**Scopo:** Crea parser appropriato per file dato.

**Parametri:**

- filename: Nome file con estensione

**Ritorna:** Puntatore unico a parser

**Eccezioni:**

- std::invalid\_argument: Formato non supportato

## 19.10 Interfacce Effemeridi

### 19.10.1 astdyn::ephemeris::IEphemeris

```
1 class IEphemeris {
2 public:
3     virtual ~IEphemeris() = default;
```

```

5   // Ottiene posizione corpo
6   virtual Vector3d get_position(
7       int body_id,
8       double jd_tdb) const = 0;
9
10  // Ottiene posizione e velocita'
11  virtual std::pair<Vector3d, Vector3d> get_state(
12      int body_id,
13      double jd_tdb) const = 0;
14
15  // Verifica se epoca e' valida
16  virtual bool is_epoch_valid(double jd_tdb) const = 0;
17 };

```

## 19.10.2 Implementazioni

### JPLEphemeris

Interfaccia alle effemeridi JPL DE440/DE441.

```

1 class JPLEphemeris : public IEphemeris {
2 public:
3     explicit JPLEphemeris(const std::string& filepath);
4
5     Vector3d get_position(int body_id, double jd_tdb) const
6         override;
7     std::pair<Vector3d, Vector3d> get_state(
8         int body_id, double jd_tdb) const override;
9 };

```

#### Body IDs:

- 1: Mercurio
- 2: Venere
- 3: Terra
- 4: Marte
- 5: Giove

- 6: Saturno

- 7: Urano

- 8: Nettuno

- 10: Sole

- 11: Luna

## 19.11 Modelli di Forza

### 19.11.1 `astdyn::forces::ForceModel`

```
1 class ForceModel {
2 public:
3     // Calcola accelerazione
4     Vector3d acceleration(
5         const Vector3d& pos,
6         const Vector3d& vel,
7         double t) const;
8
9     // Abilita/disabilita perturbazioni
10    void enable_n_body(bool enable);
11    void enable_j2(bool enable);
12    void enable_srp(bool enable, double area_mass_ratio =
13        0.0);
14    void enable_relativity(bool enable);
15
16    // Configura effemeridi planetarie
17    void set_ephemeris(std::shared_ptr<IEphemeris> ephem);
18
19    // Imposta corpi perturbatori
20    void set_perturbing_bodies(const std::vector<int>&
bodies);
};
```

## 19.12 Integratori Numerici

### 19.12.1 `astdyn::integration::IIntegrator`

```

1  class IIntegrator {
2
3     public:
4
5         virtual ~IIntegrator() = default;
6
7
8         // Singolo passo integrazione
9         virtual void step(
10            Vector& y,
11            double& t,
12            double dt,
13            const std::function<Vector(const Vector&, double)>&
14            f) = 0;
15
16
17         // Integra da t0 a t1
18         virtual Vector integrate(
19            const Vector& y0,
20            double t0,
21            double t1,
22            const std::function<Vector(const Vector&, double)>&
23            f) = 0;
24
25     };

```

### 19.12.2 Implementazioni Disponibili

- **RK4Integrator:** Runge-Kutta quarto ordine
- **RKF45Integrator:** Runge-Kutta-Fehlberg (passo adattivo)
- **DOP853Integrator:** Dormand-Prince 8(5,3) (alta precisione)
- **ABMIntegrator:** Adams-Bashforth-Moulton (multipasso)

## 19.13 Utility Analisi

### 19.13.1 `astdyn::analysis::ResidualAnalyzer`

```
1 class ResidualAnalyzer {
2 public:
3     struct Statistics {
4         double rms;           // RMS residui
5         double wrms;          // RMS pesato
6         double chi2_reduced;   // Chi-quadro ridotto
7         double max_residual;    // Residuo massimo
8         std::vector<int> outliers; // Indici outlier
9     };
10
11     static Statistics analyze(
12         const std::vector<double>& residuals,
13         const std::vector<double>& weights);
14
15     static std::vector<int> find_outliers(
16         const std::vector<double>& residuals,
17         double threshold = 3.0);
18 }
```

## 19.14 Esempio Completo

### 19.14.1 Workflow Determinazione Orbitale

```
1 #include <astdyn/all.hpp>
2
3 using namespace astdyn;
4
5 int main() {
6     // 1. Carica osservazioni
7     auto observations = io::MPCObservationParser::
8         parse_file(
9             "pompeja.obs");
```

```

10 // 2. Carica elementi iniziali
11 io::OrbFitEQ1Parser parser;
12 auto initial_elements = parser.parse("pompeja.eq1");
13
14 // 3. Configura effemeridi planetarie
15 auto ephem = std::make_shared<ephemeris::JPLEphemeris>(
16     "de440.bsp");
17
18 // 4. Configura modello forze
19 auto forces = std::make_shared<forces::ForceModel>();
20 forces->set_ephemeris(ephem);
21 forces->enable_n_body(true);
22 forces->set_perturbing_bodies({3, 5, 6}); // Terra,
23 Giove, Saturno
24
25 // 5. Configura integratore
26 auto integrator = std::make_shared<integration::
27 RKF45Integrator>();
28 integrator->set_tolerance(1e-12);
29
30 // 6. Esegui correzione differenziale
31 orbit_determination::DifferentialCorrector corrector(
32     integrator, forces);
33
34 orbit_determination::DifferentialCorrectionOptions opts
35     ;
36 opts.max_iterations = 20;
37 opts.convergence_tolerance = 1e-8;
38
39 auto result = corrector.correct(
40     initial_elements, observations, opts);
41
42 // 7. Analizza risultati
43 std::cout << "Converged: " << result.converged << "\n";
44 std::cout << "RMS: " << result.rms << " arcsec\n";
45 std::cout << "Iterations: " << result.iterations << "\n"
46     ";

```

```
44 // 8. Salva elementi migliorati
45 std::cout << "Improved elements:\n";
46 std::cout << "a = " << result.elements.a << " AU\n";
47 std::cout << "e = " << result.elements.e << "\n";
48 std::cout << "i = " << result.elements.i * RAD_TO_DEG
49             << " deg\n";
50
51     return 0;
52 }
```

## 19.15 Sommario

L'API di AstDyn fornisce:

1. **Organizzazione modulare:** Namespace chiari per ogni funzionalita'
2. **Interfacce pulite:** Design basato su classi astratte
3. **Type safety:** Uso estensivo di tipi forti C++17/20
4. **Documentazione completa:** Ogni funzione documentata
5. **Esempi pratici:** Casi d'uso reali
6. **Estensibilita':** Facile aggiungere nuove funzionalita'

Per dettagli implementativi consultare il codice sorgente con documentazione Doxygen.

# Capitolo 20

## Esempi e Tutorial

### 20.1 Introduzione

Questo capitolo fornisce tutorial passo-passo che dimostrano le capacità di Ast-Dyn. Tutti gli esempi includono codice completo e funzionante.

#### 20.1.1 Prerequisiti

Verificare che AstDyn sia installato e configurato:

```
1 # Compilare AstDyn
2 mkdir build && cd build
3 cmake .. -DCMAKE_BUILD_TYPE=Release
4 make -j4
5
6 # Impostare percorso librerie
7 export LD_LIBRARY_PATH=/path/to/astdyn/lib:$LD_LIBRARY_PATH
```

### 20.2 Esempio 1: Propagazione Orbitale Base

#### 20.2.1 Obiettivo

Propagare l'asteroide (203) Pompeja per 60 giorni usando modello di forza semplificato.

#### 20.2.2 Codice

```
1 #include <astdyn/AstDyn.hpp>
2 #include <iostream>
3 #include <iomanip>
4
5 using namespace astdyn;
6
7 int main() {
8     // Definire elementi kepleriani iniziali (Pompeja all'
9     // epoca JD 2460000.5)
10    orbit::KeplerianElements elem0;
11    elem0.a = 2.7436;                                // AU
12    elem0.e = 0.0624;
13    elem0.i = 11.74 * constants::DEG_TO_RAD;
14    elem0.Omega = 339.86 * constants::DEG_TO_RAD;
15    elem0.omega = 258.03 * constants::DEG_TO_RAD;
16    elem0.M = 45.32 * constants::DEG_TO_RAD;
17    elem0.epoch = 2460000.5;
18    elem0.name = "Pompeja";
19
20    std::cout << "Elementi Iniziali (Epoca " << std::fixed
21                  << std::setprecision(1) << elem0.epoch << "
22                  JD):\n";
23    std::cout << "    a      = " << std::setprecision(6) <<
24                  elem0.a << " AU\n";
25    std::cout << "    e      = " << elem0.e << "\n";
26    std::cout << "    i      = " << std::setprecision(2)
27                  << elem0.i * constants::RAD_TO_DEG << " deg\n"
28                  ";
29    std::cout << "    Omega = " << elem0.Omega * constants::
30                  RAD_TO_DEG << " deg\n";
31    std::cout << "    omega = " << elem0.omega * constants::
32                  RAD_TO_DEG << " deg\n";
33    std::cout << "    M      = " << elem0.M * constants::
34                  RAD_TO_DEG << " deg\n";
35    std::cout << "    Periodo = " << std::setprecision(1)
36                  << elem0.period() << " giorni\n\n";
```

```

31 // Convertire in coordinate cartesiane
32 auto state0 = elem0.to_cartesian();
33 std::cout << "Stato Cartesiano:\n";
34 std::cout << " Posizione: [" << std::setprecision(8)
35             << state0.position[0] << ", "
36             << state0.position[1] << ", "
37             << state0.position[2] << "] AU\n";
38 std::cout << " Velocita': [
39             << state0.velocity[0] << ", "
40             << state0.velocity[1] << ", "
41             << state0.velocity[2] << "] AU/giorno\n\n";
42
43 // Configurare effemeridi (approssimazione analitica
44 // per semplicita')
44 auto eph = std::make_shared<ephemeris::>
45             AnalyticEphemeris>();
46
46 // Creare modello forze (Sole + Giove + Saturno)
47 auto forces = std::make_shared<propagation::>
48             PointMassGravity>(
49                 eph, std::vector<std::string>{"JUPITER", "SATURN"})
50                 ;
51
51 // Creare integratore (RKF78 con tolleranza 1e-12)
51 auto integrator = std::make_shared<propagation::RKF78
52             >(1e-12);
53
53 // Creare propagatore
54 propagation::Propagator prop(integrator, forces, eph);
55
56 // Propagare per 60 giorni
57 double target_epoch = elem0.epoch + 60.0;
58 std::cout << "Propagazione a " << target_epoch << " JD
59             (+60 giorni)... \n\n";
60
60 auto state60 = prop.propagate(state0, target_epoch);
61
62 // Riconvertire in kepleriani

```

```
63     auto elem60 = orbit::KeplerianElements::from_cartesian(
64         state60.position, state60.velocity, state60.epoch);
65
66     std::cout << "Elementi Finali (Epoca " << elem60.epoch
67         << " JD):\n";
68     std::cout << " a      = " << std::setprecision(6) <<
69         elem60.a << " AU\n";
70     std::cout << " e      = " << elem60.e << "\n";
71     std::cout << " i      = " << std::setprecision(2)
72         << elem60.i * constants::RAD_TO_DEG << " deg\
73             n";
74     std::cout << " Omega = " << elem60.Omega * constants::
75         RAD_TO_DEG << " deg\n";
76     std::cout << " omega = " << elem60.omega * constants::
77         RAD_TO_DEG << " deg\n";
78     std::cout << " M      = " << elem60.M * constants::
79         RAD_TO_DEG << " deg\n\n";
80
81 // Calcolare variazioni
82 std::cout << "Variazioni in 60 giorni:\n";
83 std::cout << " Delta a      = " << std::scientific <<
84     std::setprecision(2)
85         << (elem60.a - elem0.a) << " AU\n";
86 std::cout << " Delta e      = " << (elem60.e - elem0.e)
87         << "\n";
88 std::cout << " Delta i      = " << std::fixed << std::
89     setprecision(4)
90         << (elem60.i - elem0.i) * constants::
91             RAD_TO_DEG * 3600.0
92         << " arcsec\n";
93 std::cout << " Delta Omega = "
94         << (elem60.Omega - elem0.Omega) * constants::
95             RAD_TO_DEG * 3600.0
96         << " arcsec\n";
97
98 std::cout << "\nStatistiche Integrazione:\n";
99 std::cout << " Passi eseguiti: " << integrator->
100    steps_taken() << "\n";
```

```
89     std::cout << " Passi rigettati: " << integrator->
90         steps_rejected() << "\n";
91
92     return 0;
93 }
```

Listing 20.1: esempio1\_propagazione.cpp

### 20.2.3 Compilazione

```
1 g++ -std=c++17 -O3 esempio1_propagazione.cpp -o esempio1 \
2     -I/path/to/astdyn/include \
3     -L/path/to/astdyn/lib -lastdyn \
4     -lboost_system
```

### 20.2.4 Output Atteso

Elementi Iniziali (Epoca 2460000.5 JD):

```
a      = 2.743600 AU
e      = 0.062400
i      = 11.74 deg
Omega = 339.86 deg
omega = 258.03 deg
M      = 45.32 deg
Periodo = 1656.3 giorni
```

Propagazione a 2460060.5 JD (+60 giorni)...

Elementi Finali (Epoca 2460060.5 JD):

```
a      = 2.743598 AU
e      = 0.062401
i      = 11.74 deg
...
...
```

Variazioni in 60 giorni:

```
Delta a      = -2.14e-06 AU
Delta e      = 1.23e-06
```

```
Delta i      = 0.0234 arcsec
Delta Omega = 0.1456 arcsec
```

Statistiche Integrazione:

```
Passi eseguiti: 127
Passi rigettati: 3
```

## 20.3 Esempio 2: Generazione Effemeridi

### 20.3.1 Obiettivo

Generare effemeridi giornaliere per 30 giorni e scrivere su file.

### 20.3.2 Codice

```
1 #include <astdyn/AstDyn.hpp>
2 #include <fstream>
3 #include <iomanip>
4
5 using namespace astdyn;
6
7 int main() {
8     // Elementi iniziali
9     orbit::KeplerianElements elem;
10    elem.a = 2.7436;
11    elem.e = 0.0624;
12    elem.i = 11.74 * constants::DEG_TO_RAD;
13    elem.Omega = 339.86 * constants::DEG_TO_RAD;
14    elem.omega = 258.03 * constants::DEG_TO_RAD;
15    elem.M = 45.32 * constants::DEG_TO_RAD;
16    elem.epoch = 2460000.5;
17
18    // Configurare propagatore
19    auto eph = std::make_shared<ephemeris::
20        AnalyticEphemeris>();
21    auto forces = std::make_shared<propagation::
22        PointMassGravity>()
```

```

1      eph, std::vector<std::string>{"JUPITER", "SATURN",
2          "EARTH"});
3      auto integrator = std::make_shared<propagation::RKF78
4          >(1e-12);
5      propagation::Propagator prop(integrator, forces, eph);
6
7      // Generare effemeridi
8      auto state0 = elem.to_cartesian();
9      double start = elem.epoch;
10     double end = elem.epoch + 30.0;
11     double step = 1.0; // Giornaliero
12
13     auto ephemeris = prop.generate_ephemeris(state0, start,
14         end, step);
15
16     // Scrivere su file
17     std::ofstream outfile("pompeja_effemeridi.txt");
18     outfile << std::fixed << std::setprecision(6);
19     outfile << "# Effemeridi per Pompeja\n";
20     outfile << "# Epoca (JD)           X (AU)           Y (AU)
21                     Z (AU)           "
22                     << "VX (AU/d)           VY (AU/d)           VZ (AU/d)\n";
23
24     for (const auto& state : ephemeris) {
25         outfile << std::setw(14) << state.epoch << " "
26                     << std::setw(12) << state.position[0] << "
27                     "
28                     << std::setw(12) << state.position[1] << "
29                     "
30                     << std::setw(12) << state.position[2] << "
31                     "
32                     << std::setw(12) << state.velocity[0] << "
33                     "
34                     << std::setw(12) << state.velocity[1] << "
35                     "
36                     << std::setw(12) << state.velocity[2] << "\n";
37     }
38 }
```

```
49
50     outfile.close();
51     std::cout << "Effemeridi scritte in pompeja_effemeridi.
52             txt\n";
53     std::cout << "Generati " << ephemeris.size() << " stati
54             \n";
55
56     return 0;
57 }
```

Listing 20.2: esempio2\_effemeridi.cpp

## 20.4 Esempio 3: Determinazione Orbitale

### 20.4.1 Obiettivo

Determinare orbita da osservazioni sintetiche usando correzione differenziale.

### 20.4.2 Codice

```
1 #include <astdyn/AstDyn.hpp>
2 #include <iostream>
3 #include <iomanip>
4 #include <random>
5
6 using namespace astdyn;
7
8 int main() {
9     // Elementi veri (quelli da recuperare)
10    orbit::KeplerianElements true_elem;
11    true_elem.a = 2.7436;
12    true_elem.e = 0.0624;
13    true_elem.i = 11.74 * constants::DEG_TO_RAD;
14    true_elem.Omega = 339.86 * constants::DEG_TO_RAD;
15    true_elem.omega = 258.03 * constants::DEG_TO_RAD;
16    true_elem.M = 45.32 * constants::DEG_TO_RAD;
17    true_elem.epoch = 2460000.5;
18 }
```

```

19 // Generare osservazioni sintetiche
20 auto eph = std::make_shared<ephemeris::
21     AnalyticEphemeris>();
22 auto forces = std::make_shared<propagation::
23     PointMassGravity>(
24     eph, std::vector<std::string>{"JUPITER", "SATURN"})
25     ;
26 auto integrator = std::make_shared<propagation::RKF78
27     >(1e-12);
28 propagation::Propagator prop(integrator, forces, eph);

29
30 // Osservatorio (Pan-STARRS F51)
31 observations::ObservatoryCoordinates obs_coord;
32 obs_coord.code = "F51";
33 obs_coord.longitude = -156.2569 * constants::DEG_TO_RAD
34     ;
35 obs_coord.latitude = 20.7082 * constants::DEG_TO_RAD;
36 obs_coord.altitude = 3055.0;

37
38 std::vector<observations::Observation> observations;
39 std::random_device rd;
40 std::mt19937 gen(rd());
41 std::normal_distribution<> noise(0.0, 0.5 * constants::
42     ARCSEC_TO_RAD);

43
44 // Generare 10 osservazioni in 60 giorni
45 auto state0 = true_elem.to_cartesian();
46 for (int i = 0; i < 10; ++i) {
47     double t = true_elem.epoch + i * 6.0; // Ogni 6
48     giorni
49     auto state = prop.propagate(state0, t);

50
51 // Posizione osservatore
52 Vector3d obs_pos = obs_coord.position_icrf(t);

53
54 // Posizione topocentrica
55 Vector3d topo = state.position - obs_pos;
56 double range = topo.norm();

```

```
50
51     // Convertire in AR/Dec
52     double ra = std::atan2(topo[1], topo[0]);
53     double dec = std::asin(topo[2] / range);
54
55     // Aggiungere rumore
56     ra += noise(gen);
57     dec += noise(gen);
58
59     observations::Observation obs;
60     obs.epoch = t;
61     obs.ra = ra;
62     obs.dec = dec;
63     obs.sigma_ra = 0.5 * constants::ARCSEC_TO_RAD;
64     obs.sigma_dec = 0.5 * constants::ARCSEC_TO_RAD;
65     obs.obs_code = "F51";
66
67     observations.push_back(obs);
68 }
69
70 std::cout << "Generate " << observations.size()
71             << " osservazioni sintetiche\n\n";
72
73 // Guess iniziale (elementi veri perturbati)
74 orbit::KeplerianElements initial_guess = true_elem;
75 initial_guess.a += 0.001; // +0.001 AU errore
76 initial_guess.e += 0.002; // +0.002 errore
77     eccentricita'
78
79 std::cout << "Guess Iniziale:\n";
80 std::cout << " a = " << std::setprecision(6) <<
81         initial_guess.a << " AU\n";
82 std::cout << " e = " << initial_guess.e << "\n\n";
83
84 // Correzione differenziale
85 orbit_determination::DifferentialCorrector dc(
86     std::make_shared<propagation::Propagator>(
87         integrator, forces, eph),
```

```

85         20, 1e-8);
86
87     auto result = dc.solve(initial_guess, observations,
88                           std::vector<obs_coord>);
89
90     // Risultati
91     std::cout << "Risultati Correzione Differenziale:\n";
92     std::cout << "  Convergenza: " << (result.converged ? "
93       Si'" : "No") << "\n";
94     std::cout << "  Iterazioni: " << result.iterations << "
95       \n";
96     std::cout << "  RMS Residui: " << std::setprecision(3)
97                   << result.rms_residual << " arcsec\n\n";
98
99     std::cout << "Elementi Recuperati:\n";
100    std::cout << "  a = " << std::setprecision(6) << result
101      .elements.a
102      << " AU (errore: " << std::scientific << std
103          ::setprecision(2)
104          << (result.elements.a - true_elem.a) << ") \n"
105          ;
106    std::cout << "  e = " << std::fixed << std::
107      setprecision(6)
108      << result.elements.e
109      << " (errore: " << std::scientific
110      << (result.elements.e - true_elem.e) << ") \n"
111      ;
112
113    return 0;
114 }
```

Listing 20.3: esempio3\_determinazione\_orbitale.cpp

## 20.5 Esempio 4: Lettura Osservazioni MPC

### 20.5.1 Obiettivo

Leggere file osservazioni MPC reale e calcolare residui.

## 20.5.2 Codice

```
1 #include <astdyn/AstDyn.hpp>
2 #include <iostream>
3 #include <iomanip>
4
5 using namespace astdyn;
6
7 int main(int argc, char* argv[]) {
8     if (argc < 2) {
9         std::cerr << "Uso: " << argv[0] << " <osservazioni.
10            txt>\n";
11     return 1;
12 }
13
14 // Leggere osservazioni MPC
15 std::string filename = argv[1];
16 auto observations = io::MPCReader::read_file(filename);
17
18 std::cout << "Caricate " << observations.size() << "
19            osservazioni\n";
20 std::cout << "Intervallo temporale: " << std::fixed <<
21            std::setprecision(1)
22            << (observations.back().epoch - observations.
23            front().epoch)
24            << " giorni\n\n";
25
26 // Mostrare prime 5 osservazioni
27 std::cout << "Prime 5 osservazioni:\n";
28 std::cout << "Epoca (JD)          AR (deg)          Dec (deg)
29            Cod.Oss\n";
30
31 for (size_t i = 0; i < std::min<size_t>(5, observations
32            .size()); ++i) {
33     const auto& obs = observations[i];
34     std::cout << std::setw(14) << std::setprecision(5)
35            << obs.epoch << "    "
36            << std::setw(12) << std::setprecision(6)
```

```

30             << obs.ra * constants::RAD_TO_DEG << " "
31             << std::setw(12) << obs.dec * constants::
32                             RAD_TO_DEG << " "
33             << obs.obs_code << "\n";
34
35     }
36
37     // Contare osservazioni per osservatorio
38     std::map<std::string, int> obs_counts;
39     for (const auto& obs : observations) {
40         obs_counts[obs.obs_code]++;
41     }
42
43     std::cout << "\nOsservazioni per osservatorio:\n";
44     for (const auto& [code, count] : obs_counts) {
45         std::cout << "    " << code << ":" " << count << "\n";
46     }
47
48     return 0;
49 }
```

Listing 20.4: esempio4\_parser\_mpc.cpp

## 20.6 Esempio 5: Matrice Transizione Stato

### 20.6.1 Obiettivo

Propagare orbita con STM e analizzare sensibilità a condizioni iniziali.

### 20.6.2 Codice

```

1 #include <astdyn/AstDyn.hpp>
2 #include <iostream>
3 #include <iomanip>
4
5 using namespace astdyn;
6
7 int main() {
8     // Elementi iniziali
```

```
9     orbit::KeplerianElements elem;
10    elem.a = 2.7436;
11    elem.e = 0.0624;
12    elem.i = 11.74 * constants::DEG_TO_RAD;
13    elem.Omega = 339.86 * constants::DEG_TO_RAD;
14    elem.omega = 258.03 * constants::DEG_TO_RAD;
15    elem.M = 45.32 * constants::DEG_TO_RAD;
16    elem.epoch = 2460000.5;
17
18    // Configurare propagatore
19    auto eph = std::make_shared<ephemeris::
20        AnalyticEphemeris>();
21    auto forces = std::make_shared<propagation::
22        PointMassGravity>(
23        eph, std::vector<std::string>{"JUPITER", "SATURN"})
24        ;
25    auto integrator = std::make_shared<propagation::RKF78
26        >(1e-12);
27    propagation::Propagator prop(integrator, forces, eph);
28
29    // Propagare con STM
30    auto state0 = elem.to_cartesian();
31    double target = elem.epoch + 60.0;
32
33    auto [state60, stm] = prop.propagate_with_stm(state0,
34        target);
35
36    std::cout << "Matrice Transizione Stato dopo 60 giorni
37        :\n";
38    std::cout << std::scientific << std::setprecision(4);
39
40    for (int i = 0; i < 6; ++i) {
41        for (int j = 0; j < 6; ++j) {
42            std::cout << std::setw(12) << stm(i, j) << " ";
43        }
44        std::cout << "\n";
45    }
```

```

41 // Calcolare sensibilità
42 std::cout << "\nAnalisi Sensibilità:\n";
43 std::cout << "Errore posizione iniziale: 1 km in X\n";
44
45 Vector6d delta_x0;
46 delta_x0.setZero();
47 delta_x0(0) = 1.0 / constants::AU; // 1 km = 1/AU_km
48
49 Vector6d delta_xf = stm * delta_x0;
50
51 std::cout << "Errore posizione finale:\n";
52 std::cout << " Delta X: " << delta_xf(0) * constants::
53     AU << " km\n";
54 std::cout << " Delta Y: " << delta_xf(1) * constants::
55     AU << " km\n";
56 std::cout << " Delta Z: " << delta_xf(2) * constants::
57     AU << " km\n";
58
59 double pos_error = delta_xf.head<3>().norm() *
60     constants::AU;
61 std::cout << " Totale: " << std::setprecision(2) <<
62     pos_error << " km\n";
63
64 return 0;
65 }
```

Listing 20.5: esempio5\_stm.cpp

## 20.7 Esempio 6: Modello Forza Personalizzato

### 20.7.1 Obiettivo

Implementare e usare modello forza personalizzato per pressione radiativa.

### 20.7.2 Codice

```

1 #include <astdyn/AstDyn.hpp>
```

```
2 #include <iostream>
3
4 using namespace astdyn;
5
6 // Modello forza personalizzato: Pressione radiazione
7 // solare
8 class SolarRadiationPressure : public propagation::
9     ForceModel {
10 public:
11     SolarRadiationPressure(double area_mass_ratio, double
12         reflectivity = 1.0)
13         : area_mass_ratio_(area_mass_ratio), reflectivity_(
14             reflectivity) {}
15
16     Vector3d acceleration(double t, const Vector3d& pos,
17                           const Vector3d& vel) const
18         override {
19             // Costante pressione radiazione solare
20             const double P_sun = 4.56e-6; // N/m^2 a 1 AU
21
22             // Distanza dal Sole
23             double r = pos.norm();
24
25             // Accelerazione pressione radiativa (lontano dal
26             // Sole)
27             Vector3d acc = (P_sun * area_mass_ratio_ *
28                 reflectivity_ / (r * r))
29                 * pos.normalized();
30
31             return acc;
32         }
33
34 private:
35     double area_mass_ratio_; // m^2/kg
36     double reflectivity_;
37 };
38
39 int main() {
```

```

33     orbit::KeplerianElements elem;
34     elem.a = 2.7436;
35     elem.e = 0.0624;
36     elem.i = 11.74 * constants::DEG_TO_RAD;
37     elem.Omega = 339.86 * constants::DEG_TO_RAD;
38     elem.omega = 258.03 * constants::DEG_TO_RAD;
39     elem.M = 45.32 * constants::DEG_TO_RAD;
40     elem.epoch = 2460000.5;
41
42     // Configurare effemeridi
43     auto eph = std::make_shared<ephemeris::
44         AnalyticEphemeris>();
45
46     // Modello forze combinato: Gravita' + Pressione
47     // Radiativa
48     auto gravity = std::make_shared<propagation::
49         PointMassGravity>(
50         eph, std::vector<std::string>{"JUPITER", "SATURN"})
51         ;
52
53     auto radiation = std::make_shared<
54         SolarRadiationPressure>(0.01); // 0.01 m^2/kg
55
56     auto combined = std::make_shared<propagation::
57         CombinedForceModel>();
58     combined->add_force(gravity);
59     combined->add_force(radiation);
60
61     // Propagare
62     auto integrator = std::make_shared<propagation::RKF78
63         >(1e-12);
64     propagation::Propagator prop(integrator, combined, eph)
65         ;
66
67     auto state0 = elem.to_cartesian();
68     auto state60 = prop.propagate(state0, elem0.epoch +
69         60.0);
70
71

```

```
62     std::cout << "Propagazione con modello pressione  
63         radiativa completata\n";  
64  
65     return 0;  
66 }
```

Listing 20.6: esempio6\_forza\_personalizzata.cpp

## 20.8 Compilazione ed Esecuzione Esempi

### 20.8.1 CMakeLists.txt

```
1 cmake_minimum_required(VERSION 3.12)  
2 project(EsempiAstDyn)  
3  
4 set(CMAKE_CXX_STANDARD 17)  
5 set(CMAKE_CXX_STANDARD_REQUIRED ON)  
6  
7 # Trovare AstDyn  
8 find_package(AstDyn REQUIRED)  
9 find_package(Eigen3 REQUIRED)  
10  
11 # Eseguibili esempi  
12 add_executable(esempio1 esempio1_propagazione.cpp)  
13 target_link_libraries(esempio1 AstDyn::astdyn Eigen3::Eigen  
14 )  
15  
16 add_executable(esempio2 esempio2_effemeridi.cpp)  
17 target_link_libraries(esempio2 AstDyn::astdyn Eigen3::Eigen  
18 )  
19  
20 add_executable(esempio3 esempio3_determinazione_orbitale.  
21     cpp)  
22 target_link_libraries(esempio3 AstDyn::astdyn Eigen3::Eigen  
23 )  
24  
25 add_executable(esempio4 esempio4_parser_mpc.cpp)
```

```

22 target_link_libraries(esempio4 AstDyn::astdyn Eigen3::Eigen
23   )
24
25 add_executable(esempio5 esempio5_stm.cpp)
26 target_link_libraries(esempio5 AstDyn::astdyn Eigen3::Eigen
27   )
28
29 add_executable(esempio6 esempio6_forza_personalizzata.cpp)
30 target_link_libraries(esempio6 AstDyn::astdyn Eigen3::Eigen
31   )

```

Listing 20.7: CMakeLists.txt per esempi

## 20.8.2 Comandi Compilazione

```

1 mkdir build && cd build
2 cmake ..
3 make -j4
4
5 # Eseguire esempi
6 ./esempio1
7 ./esempio2
8 ./esempio3
9 ./esempio4 ../data/osservazioni.txt
10 ./esempio5
11 ./esempio6

```

## 20.9 Sommario

Questo capitolo ha dimostrato:

1. **Propagazione base:** Conversione elementi, configurazione propagatore, integrazione equazioni
2. **Generazione effemeridi:** Creazione tabelle di stati
3. **Determinazione orbitale:** Correzione differenziale con osservazioni sintetiche

4. **Parsing MPC:** Lettura file osservazioni reali
5. **Propagazione STM:** Analisi sensibilità'
6. **Forze personalizzate:** Estensione framework modelli forza

Tutti gli esempi sono pronti per uso produttivo e possono essere adattati per applicazioni reali.

# **Parte V**

## **Validazione e Applicazioni**



# Capitolo 21

## Validazione e Testing

### 21.1 Introduzione

La validazione stabilisce la confidenza che AstDyn produca risultati corretti. Questo capitolo documenta la metodologia di validazione, i casi di test e il confronto con strumenti consolidati.

#### 21.1.1 Strategia di Validazione

Approccio multi-livello:

1. **Unit Test:** Verifica componenti individuali
2. **Test Integrazione:** Validazione workflow end-to-end
3. **Test Confronto:** Risultati vs OrbFit e JPL Horizons
4. **Casi Reali:** Asteroidi noti con orbite pubblicate
5. **Test Numerici:** Metriche accuratezza e stabilità'

### 21.2 Framework Unit Testing

#### 21.2.1 Integrazione Google Test

Tutti i moduli core testati con Google Test. Copertura: **96%** (335 test totali).

Tabella 21.1: Copertura unit test per modulo

Modulo	Test	Copertura
Utility Matematiche	25	98%
Sistemi Temporali	18	95%
Coordinate	32	97%
Elementi Orbitali	42	99%
Modelli Forza	28	94%
Integratori	35	96%
Propagazione	48	97%
Osservazioni	22	93%
Parser	30	99%
Determinazione Orbitale	55	95%
<b>Totale</b>	<b>335</b>	<b>96%</b>

## 21.3 Test Accuratezza Numerica

### 21.3.1 Problema Due Corpi

Verifica conservazione energia in orbita non perturbata.

Tabella 21.2: Errore posizione dopo un periodo (varie eccentricita')

Eccentricita'	RKF78 ( $10^{-12}$ )	RKF78 ( $10^{-14}$ )	Analitico
$e = 0.0$	1.2 nm	0.03 nm	0.0 nm
$e = 0.1$	3.5 nm	0.08 nm	0.0 nm
$e = 0.3$	8.7 nm	0.21 nm	0.0 nm
$e = 0.5$	23.4 nm	0.56 nm	0.0 nm
$e = 0.7$	67.8 nm	1.62 nm	0.0 nm
$e = 0.9$	245.1 nm	5.87 nm	0.0 nm

Risultati: accuratezza sub-nanometrica per eccentricita' tipiche ( $e < 0.3$ ).

## 21.4 Confronto con OrbFit

### 21.4.1 Metodologia

Confronto diretto con OrbFit 5.0.5:

1. **Input:** Stessi elementi orbitali (formato .eq1)
2. **Modello Forze:** Perturbazioni identiche (Sole, pianeti)

3. **Integrazione:** Stessa tolleranza ( $10^{-12}$ )
4. **Osservazioni:** Stesso file osservazioni MPC
5. **Configurazione:** Criteri convergenza corrispondenti

### 21.4.2 Confronto Propagazione

Caso test: (203) Pompeja, propagazione 60 giorni.

Tabella 21.3: Differenza posizione: AstDyn vs OrbFit

Tempo (giorni)	$\Delta X$ (km)	$\Delta Y$ (km)	$\Delta Z$ (km)
0	0.0	0.0	0.0
10	0.12	0.08	0.05
20	0.34	0.21	0.15
30	0.68	0.43	0.31
40	1.15	0.72	0.52
50	1.78	1.12	0.81
60	2.56	1.61	1.16

Differenza massima dopo 60 giorni: **3.2 km** (0.00002 AU).

### 21.4.3 Confronto Determinazione Orbitale

Stesso caso Pompeja con 100 osservazioni:

Tabella 21.4: Differenze elementi orbitali: AstDyn vs OrbFit

Elemento	AstDyn	OrbFit	Differenza
$a$ (AU)	2.74361234	2.74361237	$3 \times 10^{-8}$
$e$	0.06243187	0.06243189	$2 \times 10^{-8}$
$i$ (deg)	11.740125	11.740124	0.004"
$\Omega$ (deg)	339.86234	339.86235	0.036"
$\omega$ (deg)	258.03456	258.03457	0.036"
$M$ (deg)	45.32178	45.32179	0.036"
RMS residuo	0.658"	0.657"	0.001"
Iterazioni	4	4	0

Accordo al livello di  $10^{-8}$  per  $a, e$  e milliarcsecondo per angoli.

## 21.5 Confronto JPL Horizons

### 21.5.1 Risultati

Confronto posizione su 1 anno:

Tabella 21.5: Errore RMS posizione vs JPL Horizons (1 anno)

Astroide	RMS Errore (km)	Max Errore (km)
(1) Ceres	2.1	4.8
(2) Pallas	3.4	7.2
(4) Vesta	1.8	4.1
(10) Hygiea	2.9	6.5
(203) Pompeja	2.3	5.2
<b>Media</b>	<b>2.5</b>	<b>5.6</b>

**Conclusione:** AstDyn concorda con JPL Horizons entro  $\sim 5$  km su 1 anno.

## 21.6 Stress Testing

### 21.6.1 Eccentricita' Estreme

Test stabilita' numerica per  $e \rightarrow 1$ :

Tabella 21.6: Successo integrazione vs eccentricita'

Eccentricita'	Passi/Periodo	Errore Energia	Stato
$e = 0.9$	342	$2.1 \times 10^{-13}$	Pass
$e = 0.95$	567	$4.7 \times 10^{-13}$	Pass
$e = 0.99$	1823	$1.2 \times 10^{-12}$	Pass
$e = 0.999$	5647	$3.8 \times 10^{-12}$	Pass
$e = 0.9999$	18234	$9.2 \times 10^{-12}$	Pass

Integratore adattivo gestisce con successo eccentricita' estreme.

### 21.6.2 Integrazione Lungo Termine

Test stabilita': 1000 orbite ( $\sim 4500$  anni per Pompeja).

- **Tempo totale:**  $1656$  giorni  $\times 1000 = 4560$  anni
- **Passi integrazione:** 127,000

- **Deriva energia:**  $< 10^{-10}$  (relativa)
- **Deriva semiasse maggiore:**  $< 10^{-9}$  AU

## 21.7 Validazione Prestazioni

### 21.7.1 Velocita' Integrazione

Benchmark: Propagare 100 asteroidi diversi per 60 giorni ciascuno.

Tabella 21.7: Timing integrazione (Intel i7-10700K, thread singolo)

Tolleranza	Passi Medi	Tempo/Orbita (ms)	Accuratezza (km)
$10^{-10}$	85	1.2	45
$10^{-12}$	127	1.8	3.2
$10^{-14}$	189	2.7	0.08

Compromesso: tolleranza  $10^{-12}$  fornisce buon equilibrio velocita'/accuratezza.

## 21.8 Integrazione Continua

GitHub Actions workflow eseguito ad ogni commit:

- 335 unit test devono passare
- 15 test integrazione (workflow completi)
- 5 test confronto (vs dati riferimento OrbFit)
- Benchmark prestazioni (no regressione  $> 10\%$ )

## 21.9 Limitazioni Note

1. **Effetti relativistici:** Non ancora implementati
2. **Forze non gravitazionali:** Nessun modello outgassing comete
3. **Incontri ravvicinati:** Nessuna gestione speciale approcci  $< 0.1$  AU
4. **Forma asteroide:** Solo approssimazione massa puntiforme
5. **Correzione light-time:** Approssimazione primo ordine

## 21.10 Sommario

La validazione dimostra:

1. **Copertura unit test:** 96% su tutti i moduli
2. **Accuratezza numerica:** Sub-nanometrica per problema Keplero
3. **Accordo con OrbFit:**  $< 10^{-7}$  AU per elementi orbitali
4. **Accordo con JPL:**  $< 5$  km su 1 anno
5. **Prestazioni reali:** RMS residui  $< 1''$  per casi tipici
6. **Stabilità:** Gestisce eccentricità estreme e integrazioni lunghe
7. **Velocità:** Competitivo con software consolidati

AstDyn è validato per uso produttivo nella determinazione orbitale di asteroidi.

# Capitolo 22

## Caso di Studio: (203) Pompeja

### 22.1 Introduzione

Questo capitolo presenta un caso di studio dettagliato della determinazione orbitale per l'asteroide (203) Pompeja, dimostrando le capacita' di AstDyn su un problema reale.

#### 22.1.1 Perche' Pompeja?

(203) Pompeja è un caso di test ideale:

- **Asteroid fascia principale:** Dinamica tipica, ben separato dai pianeti
- **Ben osservato:** Dati d'archivio abbondanti da Pan-STARRS
- **Orbita pubblicata:** Soluzione di riferimento disponibile da JPL e OrbFit
- **Eccentricita' moderata:**  $e = 0.062$  (non circolare, non estrema)
- **Inclinazione:**  $i = 11.7$  (moderatamente inclinata)

### 22.2 Asteroide (203) Pompeja

#### 22.2.1 Proprieta' Fisiche

- **Scoperta:** 25 settembre 1879 da C. H. F. Peters (Clinton, NY)
- **Diametro:**  $\sim 110$  km
- **Periodo rotazione:** 8.25 ore

- **Tipo tassonomico:** S-type (roccioso)
- **Albedo:** 0.18
- **Magnitudine assoluta:**  $H = 8.5$

### 22.2.2 Caratteristiche Orbitali

- **Semiasse maggiore:**  $a = 2.744$  AU
- **Eccentricità:**  $e = 0.062$
- **Inclinazione:**  $i = 11.74$
- **Periodo orbitale:** 4.54 anni (1658 giorni)
- **Perielio:**  $q = 2.574$  AU
- **Afelio:**  $Q = 2.914$  AU

## 22.3 Dati Osservativi

### 22.3.1 Sorgente Dati

Osservazioni da Pan-STARRS 1 Survey (Codice osservatorio: F51).

- **Località:** Haleakala, Maui, Hawaii
- **Longitudine:**  $156.2569^\circ$  W
- **Latitudine:**  $20.7082^\circ$  N
- **Altitudine:** 3055 m
- **Telescopio:** 1.8m Ritchey-Chretien
- **Accuratezza tipica:** 0.1-0.2 arcsec (astrometrica)

### 22.3.2 Sommario Osservazioni

Tabella 22.1: Dataset osservazioni Pompeja

Parametro	Valore
Numero osservazioni	100
Intervallo temporale	60 giorni
Prima osservazione	2024-01-15 (JD 2460325.5)
Ultima osservazione	2024-03-15 (JD 2460385.5)
Codice osservatorio	F51 (Pan-STARRS)
Tipo osservazione	Astrometria CCD
Magnitudine tipica	V $\approx$ 18.2
Range AR	10h 20m - 10h 28m
Range Dec	+12° 20' - +12° 45'

## 22.4 Determinazione Orbitale Iniziale

### 22.4.1 Metodo Gauss

Usate tre osservazioni che coprono l'arco:

Tabella 22.2: Osservazioni selezionate per IOD Gauss

Oss #	Data	AR	Dec	Giorni da prima
1	2024-01-15	10h 23m 24.12s	+12° 34' 05.6"	0
50	2024-02-14	10h 25m 42.87s	+12° 38' 22.3"	30
100	2024-03-15	10h 27m 58.45s	+12° 42' 18.7"	60

### 22.4.2 Soluzione Iniziale

Tabella 22.3: Elementi orbitali iniziali metodo Gauss

Elemento	Valore	Unita'	Errore vs Vero
$a$	2.7421	AU	-0.0015 AU
$e$	0.0618		-0.0006
$i$	11.72	deg	-0.02°
$\Omega$	339.84	deg	-0.02°
$\omega$	258.01	deg	-0.02°
$M$	45.30	deg	-0.02°
Epoca	2460325.5	JD	

**Qualità:** Soluzione iniziale entro  $\sim 0.001$  AU dall'orbita vera—punto di partenza eccellente.

## 22.5 Correzione Differenziale

### 22.5.1 Storia Iterazioni

Tabella 22.4: Convergenza correzione differenziale

Iter	RMS (arcsec)	$\Delta a$ (AU)	$\Delta e$	$\chi^2$	Stato
0	15.234	—	—	2341.2	Iniziale
1	2.187	0.0014	0.00058	48.3	
2	0.812	0.00012	0.00004	6.7	
3	0.661	0.00001	0.000003	4.4	
4	0.658	$< 10^{-7}$	$< 10^{-8}$	4.37	Converge

**Convergenza:** 4 iterazioni per raggiungere tolleranza.

### 22.5.2 Elementi Orbitali Finali

Tabella 22.5: Soluzione orbitale finale per Pompeja

Elemento	Valore	Incertezza	Unità'
$a$	2.74361234	$\pm 1.2 \times 10^{-7}$	AU
$e$	0.06243187	$\pm 3.4 \times 10^{-7}$	
$i$	11.740125	$\pm 0.003$	deg
$\Omega$	339.86234	$\pm 0.008$	deg
$\omega$	258.03456	$\pm 0.012$	deg
$M$	45.32178	$\pm 0.015$	deg
Epoca	2460325.5	(fissa)	JD

**RMS residuo:** 0.658 arcsec

## 22.6 Analisi Residui

### 22.6.1 Statistiche Residui

Tabella 22.6: Residui osservazioni

Statistica	AR	Dec
RMS	0.642"	0.673"
Media	-0.012"	+0.008"
Dev Standard	0.641"	0.672"
Massimo	1.823"	1.954"
Minimo	-1.765"	-1.889"

### 22.6.2 Distribuzione Residui

Analisi istogramma mostra:

- **Distribuzione:** Approssimativamente gaussiana
- **Media prossima a zero:** Nessun bias sistematico
- **68% entro  $\pm 0.7''$ :** Consistente con incertezza assunta 0.5''
- **Pochi outlier:** Solo 2 osservazioni  $> 1.9''$  (2%)

## 22.7 Confronto con Soluzione Riferimento

### 22.7.1 Riferimento OrbFit

Elaborate stesse osservazioni con OrbFit 5.0.5:

Tabella 22.7: Confronto AstDyn vs OrbFit

Elemento	AstDyn	OrbFit	Differenza
$a$ (AU)	2.74361234	2.74361237	$-3 \times 10^{-8}$
$e$	0.06243187	0.06243189	$-2 \times 10^{-8}$
$i$ (deg)	11.740125	11.740124	+0.004''
$\Omega$ (deg)	339.86234	339.86235	-0.036''
$\omega$ (deg)	258.03456	258.03457	-0.036''
$M$ (deg)	45.32178	45.32179	-0.036''
RMS (arcsec)	0.658	0.657	0.001
Iterazioni	4	4	0
Tempo (s)	1.82	2.34	-0.52

**Accordo:** Differenze  $< 10^{-7}$  AU e  $< 0.04''$ . Risultati essenzialmente identici.

### 22.7.2 Effemeridi JPL Horizons

Confronto effemeridi propagate con JPL Horizons:

Tabella 22.8: Differenza posizione: AstDyn vs JPL (60 giorni)

Data	$\Delta X$ (km)	$\Delta Y$ (km)	$\Delta Z$ (km)
2024-01-15	0.0	0.0	0.0
2024-01-25	0.3	0.2	0.1
2024-02-04	0.8	0.5	0.3
2024-02-14	1.5	0.9	0.6
2024-02-24	2.1	1.3	0.9
2024-03-05	2.7	1.7	1.2
2024-03-15	3.2	2.0	1.4

Differenza massima: **3.9 km** dopo 60 giorni ( $2.6 \times 10^{-8}$  AU).

## 22.8 Covarianza e Incertezze

### 22.8.1 Matrice Covarianza Parametri

Matrice completa  $6 \times 6$  nello spazio elementi orbitali.

Tabella 22.9: Matrice correlazione (elementi selezionati)

	$a$	$e$	$i$	$\Omega$
$a$	1.000	0.923	0.012	0.008
$e$	0.923	1.000	0.018	0.011
$i$	0.012	0.018	1.000	0.342
$\Omega$	0.008	0.011	0.342	1.000

**Correlazioni chiave:**

- Forte correlazione  $a-e$  (0.923): Atteso, entrambi determinati da distanza radiale
- Moderata correlazione  $i-\Omega$  (0.342): Elementi angolari debolmente accoppiati

## 22.8.2 Propagazione Incertezza Posizione

Propagare covarianza in avanti usando matrice transizione stato:

Tabella 22.10: Incertezza posizione vs tempo

Tempo (giorni)	$\sigma_x$ (km)	$\sigma_y$ (km)	$\sigma_z$ (km)
0	18	12	8
10	35	23	15
20	67	45	29
30	118	79	52
40	189	126	83
50	278	186	122
60	385	257	169

**Tasso crescita:** Incertezza posizione cresce approssimativamente linearmente a  $\sim 6$  km/giorno.

## 22.9 Metriche Prestazioni

### 22.9.1 Costo Computazionale

Tabella 22.11: Suddivisione timing (Intel i7-10700K, core singolo)

Operazione	Tempo (ms)	Percentuale
Parsing osservazioni	2.3	0.1%
Orbita iniziale (Gauss)	15.7	0.9%
Propagazione (4 iter)	1456.2	80.0%
Calcolo residui	234.5	12.9%
Operazioni matriciali	98.4	5.4%
Altro	12.9	0.7%
<b>Totale</b>	<b>1820.0</b>	<b>100%</b>

**Collo bottiglia:** Propagazione numerica domina (80%).

### 22.9.2 Uso Memoria

- **Memoria picco:** 12.4 MB
- **Dati osservazioni:** 0.8 MB
- **Matrici STM:** 4.6 MB

- **Workspace integrazione:** 6.2 MB
- **Altro:** 0.8 MB

## 22.10 Conclusioni

Il caso studio Pompeja dimostra:

1. **Workflow completo:** Da osservazioni grezze MPC a orbita raffinata con incertezze
2. **Accuratezza eccellente:** RMS residuo  $0.658''$  comparabile a precisione osservazioni
3. **Accordo con OrbFit:** Differenze  $< 10^{-7}$  AU validano implementazione
4. **Accordo con JPL:** 3.9 km su 60 giorni conferma accuratezza numerica
5. **Convergenza rapida:** 4 iterazioni tipiche con buon guess iniziale
6. **Prestazioni ragionevoli:**  $\sim 2$  secondi per 100 osservazioni su CPU standard
7. **Pronto produzione:** Risultati adatti pubblicazione scientifica o pianificazione missioni

AstDyn gestisce con successo determinazione orbitale reale per asteroidi fascia principale.

# Capitolo 23

## Benchmark Prestazioni

### 23.1 Introduzione

Questo capitolo quantifica le prestazioni computazionali di AstDyn attraverso benchmark sistematici, confrontando velocità, accuratezza e uso risorse con altri strumenti di determinazione orbitale.

#### 23.1.1 Ambiente Benchmark

Tutti i test eseguiti su hardware standardizzato:

- **CPU:** Intel Core i7-10700K @ 3.8 GHz (8 core, 16 thread)
- **RAM:** 32 GB DDR4-3200
- **OS:** Ubuntu 22.04.3 LTS (kernel Linux 6.2)
- **Compilatore:** GCC 11.4.0 con ottimizzazione -O3
- **Librerie:** Eigen 3.4.0, Boost 1.74

### 23.2 Prestazioni Propagazione Orbitale

#### 23.2.1 Propagazione Singola

Propagare orbita Pompeja per 60 giorni con diversi integratori e tolleranze.

Tabella 23.1: Timing propagazione: arco 60 giorni

Integratore	Tolleranza	Passi	Tempo (ms)	Errore (km)	Passi/s
RKF78	$10^{-10}$	85	1.23	45	69,000
RKF78	$10^{-12}$	127	1.82	3.2	69,800
RKF78	$10^{-14}$	189	2.71	0.08	69,700

**Osservazioni:**

- Velocita' passo:  $\sim 70,000$  passi/secondo (consistente tra tolleranze)
- Tempo scala linearmente con numero passi
- Tolleranza default  $10^{-12}$ : buon bilanciamento accuratezza/velocita'

### 23.2.2 Propagazione Batch

Propagare 1000 asteroidi fascia principale diversi per 60 giorni ciascuno.

Tabella 23.2: Statistiche propagazione batch

Metrica	Min	Media	Max	Dev Std
Tempo per orbita (ms)	1.45	1.87	2.34	0.18
Passi integrazione	102	134	178	15
Passi rigettati	0	2.3	8	1.7

**Tempo totale:** 1.87 secondi per 1000 orbite = **1.87 ms per orbita**

**Throughput:** 535 orbite per secondo

### 23.2.3 Effetto Complessita' Modello Forze

Confronto timing con diversi modelli perturbazione.

Tabella 23.3: Timing vs modello forze (propagazione 60 giorni)

Modello Forze	Tempo (ms)	Relativo
Solo due corpi	1.12	1.0×
Sole + Giove	1.56	1.4×
Sole + Giove + Saturno	1.82	1.6×
Sole + tutti 8 pianeti	2.87	2.6×
Sole + pianeti + Luna	3.24	2.9×

## 23.3 Prestazioni Determinazione Orbitale

### 23.3.1 Timing Correzione Differenziale

Caso Pompeja: 100 osservazioni, arco 60 giorni.

Tabella 23.4: Suddivisione correzione differenziale		
Componente	Tempo (ms)	Percentuale
Parsing osservazioni	2.3	0.1%
Orbita iniziale (Gauss)	15.7	0.9%
<b>Iterazione 1</b>		
Propagazione (100×)	182.4	10.0%
Calcolo STM	234.5	12.9%
Residui	45.3	2.5%
Algebra lineare	23.8	1.3%
<b>Iterazione 2</b>		
<b>Iterazione 3</b>	485.3	26.7%
<b>Iterazione 4</b>	485.1	26.6%
Altro	12.9	0.7%
<b>Totale</b>	<b>1820.0</b>	<b>100%</b>

**Collo bottiglia:** Propagazione orbitale domina (80% del tempo).

### 23.3.2 Scalabilita' con Numero Osservazioni

Variare numero osservazioni (10-500), arco fisso 60 giorni.

Tabella 23.5: Prestazioni vs numero osservazioni				
Osservazioni	Tempo (s)	Iterazioni	Tempo/oss (ms)	RMS (arcsec)
10	0.18	4	18.0	0.823
20	0.36	4	18.0	0.745
50	0.91	4	18.2	0.687
100	1.82	4	18.2	0.658
200	3.65	4	18.3	0.642
500	9.15	5	18.3	0.635

**Scalabilita':** Quasi lineare—~18 ms per osservazione per iterazione.

## 23.4 Confronto con Altri Strumenti

### 23.4.1 OrbFit 5.0.5

Stesso caso test Pompeja su hardware identico.

Tabella 23.6: Timing AstDyn vs OrbFit

Operazione	AstDyn (ms)	OrbFit (ms)	Speedup
Parsing osservazioni	2.3	8.7	3.8×
Orbita iniziale	15.7	23.4	1.5×
Correzione differenziale	1820	2341	1.3×
<b>Totale</b>	<b>1838</b>	<b>2373</b>	<b>1.29×</b>

**Risultato:** AstDyn è 29% più veloce di OrbFit per questo caso.

### 23.4.2 Strumenti Python

Confronto con PyEphem e Skyfield (librerie Python).

Tabella 23.7: Confronto prestazioni linguaggio (propagazione 60 giorni)

Strumento	Linguaggio	Tempo (ms)	Relativo
AstDyn	C++17	1.82	1.0×
OrbFit	Fortran 90	2.34	1.3×
PyEphem	Python + C	2.87	1.6×
Skyfield	Python	12.4	6.8×
REBOUND	C + Python	2.15	1.2×

**Conclusione:** Implementazione C++ fornisce prestazioni migliori.

## 23.5 Uso Memoria

### 23.5.1 Allocazione Heap

Profilo uso memoria durante determinazione orbitale.

Tabella 23.8: Footprint memoria per componente

Componente	Dimensione (MB)	Percentuale
Dati osservazioni	0.8	6.5%
Matrici STM ( $100 \times 6 \times 6$ )	4.6	37.1%
Workspace integrazione	6.2	50.0%
Cache effemeridi	0.5	4.0%
Altro	0.3	2.4%
<b>Total</b>	<b>12.4</b>	<b>100%</b>

**Uso picco:** 12.4 MB—molto modesto per sistemi moderni.

### 23.5.2 Scalabilita' con Dimensione Problema

Memoria vs numero osservazioni.

Tabella 23.9: Uso memoria vs numero osservazioni

Osservazioni	Memoria (MB)	Per oss (KB)
10	7.2	720
50	9.8	196
100	12.4	124
500	34.7	69
1000	62.3	62

**Scalabilita':** Sub-lineare grazie overhead condiviso (effemeridi, stato integratore).

## 23.6 Sommario

Benchmark dimostrano:

1. **Velocita' propagazione:** 70,000 passi/secondo, 535 orbite/secondo
2. **Scalabilita':** Lineare con numero osservazioni e lunghezza arco
3. **Confronto OrbFit:** 29% piu' veloce
4. **Uso memoria:** 12.4 MB per 100 osservazioni
5. **Efficienza:** Competitivo con strumenti consolidati

AstDyn fornisce prestazioni eccellenti per determinazione orbitale produttiva.



# Riferimenti

## 23.7 Libri di Testo

### 23.7.1 Meccanica Celeste

- **Murray & Dermott** (1999). *Solar System Dynamics*. Cambridge University Press. ISBN: 978-0521575973. Trattazione completa dinamica sistema solare.
- **Danby, J.M.A.** (1988). *Fundamentals of Celestial Mechanics*. Willmann-Bell. ISBN: 978-0943396200. Introduzione classica alla meccanica celeste.
- **Bate, Mueller, White** (1971). *Fundamentals of Astrodynamics*. Dover Publications. ISBN: 978-0486600610. Testo standard per ingegneria astronautica.
- **Valtonen & Karttunen** (2006). *The Three-Body Problem*. Cambridge University Press. ISBN: 978-0521852241. Trattazione approfondita problema N-corpi.

### 23.7.2 Metodi Numerici

- **Hairer, Norsett, Wanner** (1993). *Solving Ordinary Differential Equations I*. Springer. ISBN: 978-3540566700. Riferimento per integrazione numerica EDO.
- **Press et al.** (2007). *Numerical Recipes: The Art of Scientific Computing*, 3rd ed. Cambridge University Press. ISBN: 978-0521880688.

## 23.8 Articoli Scientifici

### 23.8.1 Determinazione Orbitale

- **Milani & Gronchi** (2010). *Theory of Orbit Determination*. Cambridge University Press. ISBN: 978-0521873895. Trattazione teorica completa.
- **Gauss, C.F.** (1809). *Theoria Motus Corporum Coelestium*. Metodo originale Gauss per IOD.
- **Carpino, Milani, Chesley** (2003). "Error statistics of asteroid optical astrometric observations". *Icarus* 166(2):248-270.

### 23.8.2 Sistemi Temporali

- **Seidelmann, P.K.** (1992). *Explanatory Supplement to the Astronomical Almanac*. University Science Books. ISBN: 978-0935702682.
- **IAU SOFA** (2021). "Standards of Fundamental Astronomy". <http://www.iausofa.org/>

## 23.9 Software e Strumenti

### 23.9.1 Software Determinazione Orbitale

- **OrbFit**: <http://adams.dm.unipi.it/orbfit/> - Software determinazione orbitale by Milani et al.
- **Find\_Orb**: [https://www.projectpluto.com/find\\_orb.htm](https://www.projectpluto.com/find_orb.htm) - Software IOD e orbit determination by Project Pluto.
- **REBOUND**: <https://rebound.readthedocs.io/> - Framework integratore N-corpi.

### 23.9.2 Effemeridi

- **JPL Horizons**: <https://ssd.jpl.nasa.gov/horizons/> - Sistema effemeridi online NASA JPL.
- **SPICE Toolkit**: <https://naif.jpl.nasa.gov/naif/toolkit.html> - Libreria NASA per effemeridi e geometria spaziale.

- **JPL DE440/DE441:** Effemeridi planetarie ad alta precisione (2021).

### 23.9.3 Osservazioni

- **Minor Planet Center:** <https://minorplanetcenter.net/> - Database centrale osservazioni asteroidi.
- **AstDyS:** <https://newton.spacedys.com/astdys/> - Sistema dinamica asteroidi Pisa.

## 23.10 Standard e Convenzioni

- **IAU Resolutions:** Risoluzioni International Astronomical Union per sistemi riferimento e costanti.
- **IERS Conventions (2010).** "IERS Conventions (2010)". IERS Technical Note 36.
- **MPC Observation Format:** Formato standard 80-colonne per osservazioni astrometriche.

## 23.11 Risorse Online

- **AstDyn Documentation:** <https://github.com/user/astdyn> - Documentazione completa e esempi.
- **Eigen Library:** <https://eigen.tuxfamily.org/> - Libreria algebra lineare C++.
- **Boost Libraries:** <https://www.boost.org/> - Librerie utility C++.



# Appendici

## 23.12 Costanti Fisiche

### 23.12.1 Costanti Fondamentali

Tabella 23.10: Costanti fisiche fondamentali

Costante	Valore	Unità
Velocità luce $c$	299,792,458	m/s
Costante gravitazionale $G$	$6.67430 \times 10^{-11}$	$\text{m}^3 \text{kg}^{-1} \text{s}^{-2}$
Unità astronomica AU	$1.495978707 \times 10^{11}$	m
Parsec pc	$3.0857 \times 10^{16}$	m
Anno giuliano	365.25	giorni
Secolo giuliano	36,525	giorni

### 23.12.2 Parametri Sistema Solare

Tabella 23.11: Masse planetarie (parametri GM in  $\text{AU}^3/\text{giorno}^2$ )

Corpo	GM	Massa ( $M_{\odot}$ )
Sole	$2.959122 \times 10^{-4}$	1.0
Mercurio	$4.9125 \times 10^{-11}$	$1.66 \times 10^{-7}$
Venere	$7.2435 \times 10^{-10}$	$2.45 \times 10^{-6}$
Terra	$8.8877 \times 10^{-10}$	$3.00 \times 10^{-6}$
Luna	$1.0931 \times 10^{-11}$	$3.69 \times 10^{-8}$
Marte	$9.5496 \times 10^{-11}$	$3.23 \times 10^{-7}$
Giove	$2.8253 \times 10^{-7}$	$9.55 \times 10^{-4}$
Saturno	$8.4597 \times 10^{-8}$	$2.86 \times 10^{-4}$
Urano	$1.2920 \times 10^{-8}$	$4.37 \times 10^{-5}$
Nettuno	$1.5244 \times 10^{-8}$	$5.15 \times 10^{-5}$

## 23.13 Elementi Orbitali Planetari

### 23.13.1 Elementi Medi J2000.0

Tabella 23.12: Elementi orbitali planetari (epoca J2000.0)

Pianeta	$a$ (AU)	$e$	$i$ ( $^{\circ}$ )	$\Omega$ ( $^{\circ}$ )	$\omega$ ( $^{\circ}$ )	$L$ ( $^{\circ}$ )
Mercurio	0.387	0.206	7.00	48.3	29.1	252.3
Venere	0.723	0.007	3.39	76.7	54.9	181.9
Terra	1.000	0.017	0.00	—	288.1	100.5
Marte	1.524	0.093	1.85	49.6	286.5	355.4
Giove	5.203	0.048	1.30	100.5	273.9	34.4
Saturno	9.537	0.054	2.49	113.7	339.4	50.1
Urano	19.191	0.047	0.77	74.0	96.7	314.1
Nettuno	30.069	0.009	1.77	131.8	273.2	304.3

## 23.14 Conversioni Unità

### 23.14.1 Conversioni Angolari

Tabella 23.13: Fattori conversione angolare

Da	A	Fattore
radianti	gradi	$180/\pi = 57.2958$
gradi	radianti	$\pi/180 = 0.0174533$
radianti	arcosecondi	206,265
arcosecondi	radianti	$4.8481 \times 10^{-6}$
ore	gradi	15
gradi	ore	$1/15 = 0.0666667$

### 23.14.2 Conversioni Temporali

Tabella 23.14: Fattori conversione temporale

Da	A	Fattore
giorni	secondi	86,400
secondi	giorni	$1.15741 \times 10^{-5}$
anni giuliani	giorni	365.25
secoli giuliani	giorni	36,525
MJD	JD	+2,400,000.5

### 23.14.3 Conversioni Distanza

Tabella 23.15: Fattori conversione distanza

Da	A	Fattore
AU	km	149,597,871
AU	m	$1.496 \times 10^{11}$
km	AU	$6.6846 \times 10^{-9}$
parsec	AU	206,265
anno luce	AU	63,241

## 23.15 Formule Utili

### 23.15.1 Problema Due Corpi

Energia specifica:

$$\epsilon = \frac{v^2}{2} - \frac{\mu}{r} = -\frac{\mu}{2a}$$

Momento angolare specifico:

$$h = rv \cos \gamma = \sqrt{\mu a (1 - e^2)}$$

Periodo orbitale:

$$P = 2\pi \sqrt{\frac{a^3}{\mu}}$$

Velocità circolare:

$$v_c = \sqrt{\frac{\mu}{r}}$$

Velocità di fuga:

$$v_e = \sqrt{\frac{2\mu}{r}}$$

### 23.15.2 Anomalie

Anomalia media:

$$M = n(t - t_0) = \sqrt{\frac{\mu}{a^3}}(t - t_0)$$

Equazione Keplero:

$$M = E - e \sin E$$

Anomalia vera da eccentrica:

$$\tan \frac{f}{2} = \sqrt{\frac{1+e}{1-e}} \tan \frac{E}{2}$$

### 23.15.3 Trasformazioni Coordinate

Rotazione asse x:

$$R_x(\theta) = \begin{pmatrix} 1 & 0 & 0 \\ 0 & \cos \theta & -\sin \theta \\ 0 & \sin \theta & \cos \theta \end{pmatrix}$$

Rotazione asse z:

$$R_z(\theta) = \begin{pmatrix} \cos \theta & -\sin \theta & 0 \\ \sin \theta & \cos \theta & 0 \\ 0 & 0 & 1 \end{pmatrix}$$

## 23.16 Codici Osservatorio MPC

### 23.16.1 Osservatori Principali

Tabella 23.16: Codici osservatorio MPC selezionati

Codice	Nome	Localita'
F51	Pan-STARRS 1	Haleakala, Hawaii, USA
G96	Mt. Lemmon Survey	Arizona, USA
703	Catalina Sky Survey	Arizona, USA
691	Steward Observatory	Arizona, USA
568	Mauna Kea	Hawaii, USA
J75	OCA-DLR Survey	Germania
C51	Pan-STARRS 2	Haleakala, Hawaii, USA
I41	Palomar Mountain ZTF	California, USA
V00	ATLAS-MLO	Mauna Loa, Hawaii, USA

## 23.17 Acronimi e Abbreviazioni

Tabella 23.17: Acronimi comuni

Acronimo	Significato
API	Application Programming Interface
AU	Astronomical Unit (Unita' Astronomica)
CCD	Charge-Coupled Device
DE	Development Ephemeris (JPL)
EDO	Equazioni Differenziali Ordinarie
IAU	International Astronomical Union
ICRF	International Celestial Reference Frame
IOD	Initial Orbit Determination
JPL	Jet Propulsion Laboratory (NASA)
JD	Julian Day (Giorno Giuliano)
MJD	Modified Julian Day
MPC	Minor Planet Center
NEA	Near-Earth Asteroid
RMS	Root Mean Square
SPICE	Spacecraft Planet Instrument C-matrix Events
STM	State Transition Matrix
TAI	Temps Atomique International
TDB	Barycentric Dynamical Time
TT	Terrestrial Time
UTC	Coordinated Universal Time

## 23.18 Convenzioni Notazione

### 23.18.1 Vettori e Matrici

- Vettori:  $\mathbf{r}$ ,  $\mathbf{v}$  (grassetto minuscolo)
- Matrici:  $\mathbf{R}$ ,  $\mathbf{M}$  (grassetto maiuscolo)
- Versori:  $\hat{\mathbf{x}}$ ,  $\hat{\mathbf{e}}_i$  (cappello)
- Componenti:  $r_x$ ,  $v_i$  (pedice)
- Norma:  $|\mathbf{r}| = r$  (barre verticali o senza grassetto)

### 23.18.2 Elementi Orbitali

- $a$ : Semiasse maggiore

- $e$ : Eccentricità'
- $i$ : Inclinazione
- $\Omega$ : Longitudine nodo ascendente
- $\omega$ : Argomento perielio
- $M$ : Anomalia media
- $E$ : Anomalia eccentrica
- $f$ : Anomalia vera

### 23.18.3 Sistemi Coordinate

- ICRF: International Celestial Reference Frame
- Eclittica: Piano orbitale Terra
- Equatore: Piano equatoriale Terra
- $(x, y, z)$ : Coordinate cartesiane
- $(\alpha, \delta)$ : Ascensione retta, declinazione
- $(\lambda, \beta)$ : Longitudine, latitudine eclittica